

**PERFORMANSI VIDEO STREAMING PADA JARINGAN
HIGH SPEED DOWNLINK PACKET ACCESS (HSDPA)
MENGGUNAKAN IPv6**

SKRIPSI

KONSENTRASI TEKNIK TELEKOMUNIKASI

Diajukan untuk memenuhi persyaratan
memperoleh gelar Sarjana Teknik



Disusun Oleh :

SIRTUFILLAILA

NIM: 0610630103 - 63

KEMENTERIAN PENDIDIKAN NASIONAL

UNIVERSITAS BRAWIJAYA

FAKULTAS TEKNIK

MALANG

2010

LEMBAR PERSETUJUAN

PERFORMANSI VIDEO STREAMING PADA JARINGAN *HIGH SPEED DOWNLINK PACKET ACCESS (HSDPA)*
MENGGUNAKAN IPv6

SKRIPSI

KONSENTRASI TEKNIK TELEKOMUNIKASI

Diajukan untuk memenuhi persyaratan
memperoleh gelar sarjana teknik



Disusun Oleh :

SIRTUFILLAILA

NIM: 0610630103 – 63

Telah diperiksa dan disetujui oleh

Dosen Pembimbing

Ir. Wahyu Adi Priyono, MSc.
NIP. 19600518 198802 1 001

Asri Wulandari, ST., MT.
NIP. 19750301 199903 2 001

LEMBAR PENGESAHAN

**PERFORMANSI VIDEO STREAMING PADA JARINGAN HIGH
SPEED DOWNLINK PACKET ACCESS (HSDPA)
MENGGUNAKAN IPv6**

Disusun Oleh :

SIRTUFILLAILA

NIM: 0610630103 – 63

Skripsi ini telah diuji dan dinyatakan lulus

pada tanggal **21 Desember 2010**

Majelis Penguji :

Ir. Endah Budi P., MT.
NIP 19621116 198903 2 002

Dr. Ir. Sholeh Hadi P., MS.
NIP. 19580728 198701 1 001

Ali Mutofa, ST., MT.
NIP. 19710601 200003 1 001

Mengetahui :
Ketua Jurusan Teknik Elektro

Rudy Yuwono, ST., MSc.
NIP. 19710615 199802 1 003

PENGANTAR

Alhamdulillah, segenap puji dan syukur penulis panjatkan kepada Allah SWT yang telah melimpahkan rahmat, hidayah, dan karunia-Nya sehingga penulis dapat menyelesaikan skripsi dengan judul “Performansi Video Streaming pada Jaringan *High Speed Downlink Packet Access (HSDPA)* yang Menggunakan IPv6” yang diajukan untuk memenuhi sebagian persyaratan memperoleh gelar Sarjana Teknik. Tidak lupa pula shalawat serta salam selalu penulis sampaikan kepada junjungan besar Nabi Muhammad SAW yang telah membawa kita menuju ke jalan yang terang.

Penulis ingin mengucapkan terima kasih yang sebesar-besarnya kepada berbagai pihak yang telah membantu dan mendukung dalam penyelesaian skripsi ini, yaitu :

1. Keluarga tercinta, Ibunda Sri Andayani, kakakku Yanurisma Sugianto, serta adikku Robby Firdaus dan Feby Puspita yang selalu memberikan doa, kasih sayang, semangat, dukungan dan kepercayaan yang tiada akhir hingga hari ini.
2. Bapak Ir. Wahyu Adi Priyono., MSc. dan Ibu Asri Wulandari, ST., MT. selaku dosen pembimbing skripsi yang banyak memberikan saran, konsultasi, kesabaran, dan waktu.
3. Bapak Rudy Yuwono, ST., MSc. selaku Ketua Jurusan Teknik Elektro dan Bapak M. Aziz Muslim, ST. MT., Ph.D, selaku sekretaris Jurusan Teknik Elektro.
4. Bapak dan Ibu dosen serta segenap staf dan karyawan Jurusan Teknik Elektro.
5. Sahabat-sahabat terbaikku tujuh kurcaci Sekar, Intan, Riris, Asih, Yulita, Widya, Nurul, Teteceh Eka, Ravi, Rayi, Widya, Rheny serta keluarga besar Angkatan 2006 (Ge-Force) terima kasih atas persahabatan, semangat, dan untuk segalanya.
6. Rekan-rekan asisten Laboratorium Transmisi dan Gelombang Mikro Kartika, Rizcky, dan Rendy atas nasehat, saran, serta kerjasamanya selama ini.
7. Dan untuk semua pihak yang tidak dapat penulis sebutkan satu-persatu.

Dalam penulisan skripsi ini, penulis menyadari adanya kekurangan dan ketidak sempurnaan. Oleh karena itu, penulis sangat mengharapkan kritik dan saran yang membangun untuk kelengkapan dan kesempurnaan skripsi ini. Penulis berharap semoga skripsi ini dapat bermanfaat khususnya bagi rekan-rekan mahasiswa.

Malang, Desember 2010

Penulis



DAFTAR ISI

	halaman
PENGANTAR	i
DAFTAR ISI.....	ii
DAFTAR GAMBAR.....	v
DAFTAR TABEL	vii
DAFTAR LAMPIRAN.....	ix
ABSTRAK	x
BAB I PENDAHULUAN.....	1
1.1 Latar Belakang	1
1.2 Rumusan Masalah.....	3
1.3 Ruang Lingkup	3
1.4 Tujuan	4
1.5 Kontribusi	4
1.6 Sistematika Penulisan	4
BAB II TINJAUAN PUSTAKA	6
2.1 Umum	6
2.2 Video Streaming	6
2.2.1 CODEC (Coder/DECoder)	8
2.2.2 Kualitas Video	10
2.3 High Speed Downlink Packet Access (HSDPA).....	11
2.3.1 Shared Channel Transmission	12
2.3.2 Adaptive Modulation Coding (AMC).....	14
2.3.3 Transmissions Time Interval (TTI).....	16
2.3.4 Fast Link Adaptation	17
2.3.5 Fast Scheduling.....	17
2.3.6 Fast Hybrid Automatic Repeat and Request (HARQ).....	17
2.3.7 Konfigurasi Jaringan HSDPA.....	18
2.3.8 Protokol Stack HSDPA.....	21



2.4	Internet Protocol versi 6 (IPv6)	22
2.4.1	Format Header IPv6.....	24
2.4.2	Perbandingan Header IPv4 dan IPv6	25
2.5	The Performance of Video Streaming Application	27
2.5.1	Paket Data Aplikasi Video Streaming	27
2.5.2	Bandwidth Aplikasi Video Streaming	28
2.5.3	Delay End-to-End Aplikasi Video Streaming	29
2.5.3.1	Delay End-to-End pada Jaringan HSDPA	29
2.5.4	Probabilitas Packet Loss pada Aplikasi Video Streaming.....	45
2.5.4.1	Probabilitas Packet Loss pada Server	46
2.5.4.1	Probabilitas Packet Loss pada Jaringan HSDPA	46
2.5.5	Throughput.....	48
BAB III METODOLOGI PENELITIAN		51
3.1	Jenis dan Cara Pengambilan Data.....	51
3.2	Variabel dan Cara Analisis Data.....	51
3.2.1	Variabel Data	51
3.2.2	Cara Analisis Data	52
3.3	Kerangka Solusi Permasalahan	56
BAB IV HASIL DAN PEMBAHASAN		61
4.1	Umum	61
4.2	Spesifikasi Video Streaming.....	61
4.3	Spesifikasi HSDPA.....	61
4.4	Analisis Bandwidth Video Streaming.....	62
4.5	Analisis Delay End-to-End Aplikasi Video Streaming	66
4.5.1	Delay CODEC	67
4.5.2	Delay Jaringan High Speed Downlink Packet Access (HSDPA).....	67
4.5.2.1	Delay Proses	68
4.5.2.2	Delay Transmisi.....	84
4.5.2.3	Delay Propagasi	86
4.5.2.4	Delay Antrian.....	88
4.5.2.5	Delay End to End	92



4.6	Analisis Perhitungan Probabilitas Packet Loss.....	96
4.6.1	Probabilitas Packet Loss pada Server	96
4.6.2	Probabilitas Packet Loss pada Jaringan HSDPA	97
4.6.3	Probabilitas Packet Loss Total.....	99
4.7	Analisis Throughput	102
BAB V PENUTUP		108
5.1	Kesimpulan	108
5.2	Saran	109
DAFTAR PUSTAKA.....		110
LAMPIRAN.....		113



DAFTAR GAMBAR

	halaman	
Gambar 2.1	Proses <i>streaming</i> video melalui jaringan	9
Gambar 2.2	Format Gambar	10
Gambar 2.3	Struktur Frame HS-PDSCH.....	12
Gambar 2.4	Struktur Frame HS-SCCH	13
Gambar 2.5	Struktur Frame HS-DPCCH	13
Gambar 2.6	Skema Modulasi QPSK dan 16QAM	14
Gambar 2.7	Blok Diagram Modulator Q-PSK	14
Gambar 2.8	Blok Diagram Modulator 16-QAM	15
Gambar 2.9	Arsitektur Jaringan HSDPA.....	18
Gambar 2.10	Protokol Stack UTRAN HSDPA.....	22
Gambar 2.11	Protocol Stack jaringan HSDPA.....	22
Gambar 2.12	Format <i>header</i> IPv6	25
Gambar 2.13	<i>Delay End-to-End</i> pada HSDPA.....	30
Gambar 2.14	Batasan <i>Delay</i> setiap Aplikasi Multimedia.....	31
Gambar 2.15	Model antrian M/M/1.....	43
Gambar 3.1	Diagram Alir Proses Analisis <i>Bandwidth Video Streaming</i>	53
Gambar 3.2	Diagram Alir Proses Analisis <i>Delay End-to-end</i>	54
Gambar 3.3	Diagram Alir Proses Analisis Probabilitas <i>Packet Loss</i>	55
Gambar 3.4	Diagram Alir Proses Analisis <i>Throughput</i>	56
Gambar 3.5	Diagram Alir Perhitungan <i>Bandwidth Video Streaming</i>	57
Gambar 3.6	Diagram Alir Perhitungan <i>Delay End-to-End</i>	58
Gambar 3.7	Diagram Alir Perhitungan Probabilitas <i>Packet Loss</i>	59
Gambar 3.8	Diagram Alir Perhitungan <i>Throughput</i>	60
Gambar 4.1	Hubungan Bandwidth Aplikasi Video Streaming dengan Bit Rate CODEC Video yang Berubah-ubah.....	65
Gambar 4.2	Hubungan Bandwidth Aplikasi Video Streaming dengan Bit Rate CODEC Audio yang Berubah-ubah	66
Gambar 4.3	Analisis <i>delay end-to-end</i> pada jaringan HSDPA.....	67
Gambar 4.4	Analisis <i>delay</i> enkapsulasi dan dekapsulasi pada Jaringan HSDPA	68
Gambar 4.5	Format segmentasi <i>datagram</i> IP	69

Gambar 4.6	Format Paket Data pada GGSN	70
Gambar 4.7	Format Paket Data pada SGSN	73
Gambar 4.8	Format Frame AAL5	74
Gambar 4.9	Format Paket Data pada RNC	76
Gambar 4.10	Format Frame PDCP	77
Gambar 4.11	Format Frame FP	78
Gambar 4.12	Format Frame AAL2	79
Gambar 4.13	Format Paket Data pada UE	82
Gambar 4.14	Hubungan antara Faktor Utilitas terhadap Banyaknya User dalam Sistem Antrian	90
Gambar 4.15	Hubungan <i>Delay End to End</i> terhadap Faktor Utilitas dengan Bit Rate CODEC Video yang Berubah-ubah	94
Gambar 4.16	Hubungan <i>Delay End to End</i> terhadap Faktor Utilitas dengan Bit Rate CODEC Audio yang Berubah-ubah	95
Gambar 4.17	Hubungan Probabilitas <i>Packet Loss</i> terhadap Bit Rate CODEC Video	100
Gambar 4.18	Hubungan Probabilitas <i>Packet Loss</i> terhadap Bit Rate CODEC Audio	101
Gambar 4.19	Hubungan <i>Throughput</i> terhadap Faktor Utilitas dengan Bit Rate CODEC Video yang Berubah-ubah	104
Gambar 4.20	Hubungan <i>Throughput</i> terhadap Probabilitas <i>Packet Loss</i> dengan Bit Rate CODEC Video yang Berubah-ubah	105
Gambar 4.21	Hubungan <i>Throughput</i> terhadap Faktor Utilitas dengan Bit Rate CODEC Audio yang Berubah-ubah	106
Gambar 4.22	Hubungan <i>Throughput</i> terhadap Probabilitas <i>Packet Loss</i> dengan Bit Rate CODEC Audio yang Berubah-ubah	106



DAFTAR TABEL

	halaman
Tabel 2.1 Jenis-jenis Video Streaming	7
Tabel 2.2 Jenis CODEC Video dan Audio	10
Tabel 2.3 Kategori <i>User Equipment</i> (UE) HSDPA	20
Tabel 2.4 Perbedaan <i>header</i> IPv6 dengan IPv4	25
Tabel 2.5 Jarak tiap <i>node</i> pada HSDPA.....	43
Tabel 4.1 Spesifikasi CODEC	61
Tabel 4.2 <i>Downlink Link Budget</i> HSDPA	62
Tabel 4.3 Hasil Analisis Bandwidth Aplikasi Video Streaming dengan Bit Rate CODEC Video yang Berubah-ubah	64
Tabel 4.4 Hasil Analisis Bandwidth Aplikasi Video Streaming dengan Bit Rate CODEC Audio yang Berubah-ubah.....	65
Tabel 4.5 Hasil Analisis <i>Delay</i> Enkapsulasi pada Server	70
Tabel 4.6 Hasil Analisis <i>Delay</i> Enkasulasi dan Dekapsulasi pada GGSN	72
Tabel 4.7 Hasil Analisis <i>Delay</i> Enkasulasi dan Dekapsulasi pada SGSN	75
Tabel 4.8 Hasil Analisis <i>Delay</i> Enkasulasi dan Dekapsulasi pada RNC	81
Tabel 4.9 Hasil Analisis <i>Delay</i> Enkasulasi dan Dekapsulasi pada Node B	82
Tabel 4.10 Hasil Analisis <i>Delay</i> Dekapsulasi pada UE.....	83
Tabel 4.11 Hasil Analisis <i>Delay</i> Proses pada Jaringan HSDPA.....	84
Tabel 4.12 Hasil Analisis <i>Delay</i> Transmisi pada Jaringan HSDPA yang Berbasis IPv6	86
Tabel 4.13 Hasil Analisis <i>Delay</i> Propagasi pada Jaringan HSDPA yang Berbasis IPv6	88
Tabel 4.14 Hasil Analisis <i>Delay</i> Antrian pada Jaringan HSDPA yang Berbasis IPv6.....	92
Tabel 4.15 Hasil Analisis <i>Delay End to End</i> Aplikasi Video Streaming pada Jaringan HSDPA yang Berbasis IPv6 dengan Bit Rate CODEC Video yang Berubah-ubah	93
Tabel 4.16 Hasil Analisis <i>Delay End to End</i> Aplikasi Video Streaming pada Jaringan HSDPA yang Berbasis IPv6 dengan Bit Rate CODEC Audio yang Berubah-ubah	94



Tabel 4.17	Hasil Analisis Probabilitas <i>Packet Loss</i> pada Server.....	97
Tabel 4.18	Hasil Analisis Probabilitas <i>Packet Loss</i> Aplikasi Video <i>Streaming</i> pada Jaringan HSDPA yang Berbasis IPv6 dengan Bit Rate CODEC Video yang Berubah-ubah	100
Tabel 4.19	Hasil Analisis Probabilitas <i>Packet Loss</i> Aplikasi Video <i>Streaming</i> pada Jaringan HSDPA yang Berbasis IPv6 dengan Bit Rate CODEC Audio yang Berubah-ubah	101
Tabel 4.20	Hasil Analisis <i>Throughput</i> Aplikasi Video <i>Streaming</i> pada Jaringan HSDPA yang Berbasis IPv6 dengan Bit Rate CODEC Video yang Berubah-ubah.....	104
Tabel 4.21	Hasil Analisis <i>Throughput</i> Aplikasi Video <i>Streaming</i> pada Jaringan HSDPA yang Berbasis IPv6 dengan Bit Rate CODEC Audio yang Berubah-ubah.....	105



DAFTAR LAMPIRAN

halaman

Lampiran 1	<i>Listing Program Matlab Menghitung Bandwidth Aplikasi Video Streaming</i>	113
Lampiran 2	<i>Listing Program Matlab Menghitung Delay End-to-End Aplikasi Video Streaming</i>	115
Lampiran 3	<i>Listing Program Matlab Menghitung Probabilitas Packet Loss Aplikasi Video Streaming.....</i>	121
Lampiran 4	<i>Listing Program Matlab Menghitung Throughput Aplikasi Video Streaming</i>	123



ABSTRAK

SIRTUFILLAILA, Jurusan Teknik Elektro, Fakultas Teknik Universitas Brawijaya, Desember 2010, Performansi Video *Streaming* pada Jaringan *High Speed Downlink Packet Access* (HSDPA) yang Menggunakan IPv6, Dosen Pembimbing : Ir. Wahyu Adi Priyono., MSc. dan Asri Wulandari, ST., MT.

Video *streaming* adalah sebuah teknologi untuk memainkan file video secara langsung ataupun dengan pre-recorder dari sebuah mesin server (web server). Salah satu jaringan yang mendukung layanan video *streaming* adalah jaringan HSDPA. HSDPA (*High Speed Downlink Packet Access*) atau yang biasa dikenal dengan teknologi 3.5 G merupakan suatu teknologi telekomunikasi bergerak yang dikeluarkan oleh 3GPP *Release 5* dan merupakan pengembangan dari WCDMA.

Pada skripsi ini, jenis CODEC yang digunakan adalah AMR WB+ untuk audio dan H.264/AVC untuk video. Sedangkan jaringan HSDPA yang dipergunakan adalah jaringan HSDPA yang merupakan *Release 5* standard 3GPP. Terminal UE (*User Equipment*) yang digunakan adalah terminal kategori 5, dimana jenis modulasi yang digunakan adalah 16-QAM, maksimum TBS (*Transport Block Size*) sebesar 7298 bit, dan maksimum *data rate* dari UE adalah 3,6 Mbps.

Penulisan skripsi ini bertujuan untuk mengetahui bagaimana performansi video *streaming* pada jaringan HSDPA (*High Speed Downlink Packet Access*) menggunakan IPv6 yang meliputi konsumsi *bandwidth*, *delay end-to-end*, probabilitas *packet loss*, dan *throughput*.

Hasil perhitungan dan analisis membuktikan bahwa penggunaan bit *rate* CODEC mempengaruhi performansi video *streaming*. Pada bit *rate* CODEC video sebesar 384 kbps dan bit *rate* CODEC audio sebesar 48 kbps diperoleh *bandwidth* aplikasi video *streaming* terbesar, yaitu 566,2879 kbps. Nilai *delay end-to-end* aplikasi video *streaming* pada jaringan HSDPA yang menggunakan IPv6 masih memenuhi standar ITU.T G.1010 untuk layanan video *streaming*, yaitu <10 s. Nilai probabilitas *packet loss* yang didapatkan juga masih dapat diterima karena tidak melebihi 1% sesuai standar ITU.T G.1010. Besar *throughput* terbesar adalah 3598,1258 kbps yang terjadi saat menggunakan bit *rate* CODEC video 256 kbps dan bit *rate* CODEC audio sebesar 48 kbps dengan faktor utilisasi sebesar 0,1.

Kata Kunci: Video *Streaming*, HSDPA, IPv6, Bit Rate CODEC, *Bandwidth*, *Delay End-to-end*, *Packet Loss*, *Throughput*



BAB I

PENDAHULUAN

1.1 LATAR BELAKANG

Teknologi telekomunikasi mengalami perkembangan yang pesat seiring dengan meningkatnya kebutuhan masyarakat akan sarana telekomunikasi secara *real-time* dan praktis. Selain itu, mobilitas masyarakat yang tinggi serta kebutuhan akses data yang tinggi juga mendasari kemajuan teknologi telekomunikasi saat ini.

Video *streaming* merupakan salah satu teknologi telekomunikasi yang bersifat *real time* serta dapat menyalurkan informasi berupa audio maupun video dengan menggunakan jaringan *Internet Protocol* (IP). Dengan teknologi video streaming ini, *user* tidak perlu menunggu hingga *file* selesai di-*download* secara keseluruhan untuk memainkannya. Sebaliknya, *user* dapat memainkan media dengan menunggu beberapa detik saja. Akan tetapi, ada beberapa permasalahan yang mempengaruhi performansi dari video *streaming* diantaranya adalah video berhenti berjalan atau bergerak lambat saat kita sedang menonton video sehingga kita harus menunggu beberapa waktu hingga video kembali berjalan. Selain itu, kualitas video yang dihasilkan juga seringkali buruk dimana video *streaming* yang kita amati kurang jernih dan cenderung tidak jelas.

Salah satu hal yang sangat mempengaruhi dalam performansi video *streaming* tersebut adalah *bandwidth*. Bandwidth adalah jumlah data yang dapat melalui suatu jaringan, atau bagian dari jaringan, untuk setiap waktu tertentu [Behrouz A. Forouzan, 2000: 65]. Bandwidth pada jaringan bersifat terbagi, terbatas, dan berubah terhadap waktu. Semakin besar *bandwidth* jaringan, maka kualitas video *streaming* yang dihasilkan juga akan semakin baik [Michael Gough, 2006: 16]. Selain itu, agar layanan aplikasi video *streaming* ini dapat berjalan dengan baik, lebih efisien, dan cepat dalam penyampaian informasinya maka perlu diterapkan pada suatu teknologi jaringan yang mempunyai kecepatan akses data yang tinggi untuk menghasilkan delay yang seminimal mungkin. Dengan *delay* yang seminimal mungkin diharapkan *user* dapat menikmati video *streaming* tanpa harus menunggu lama.

Kebutuhan aplikasi video *streaming* terhadap *bandwidth* dan kecepatan akses data yang tinggi dapat dipenuhi oleh jaringan HSDPA (*High Speed Downlink Packet Access*) atau yang biasa dikenal dengan teknologi 3.5G. HSDPA menggunakan *bandwidth* sebesar 5 MHz dimana sesuai dengan kebutuhan aplikasi video *streaming*

yang mengkonsumsi *bandwidth* cukup besar. HSDPA merupakan standar HSPA dengan kemampuan dari sisi kecepatan transfer *downlink*-nya dan dapat mencapai kecepatan *downlink* hingga 14.4 Mbps dengan maksimum *uplink* 384 kbps. Di lingkungan perumahan, *user* dapat men-*download* data menggunakan jaringan HSDPA dengan kecepatan 3.7 Mbps. Sedangkan seseorang yang sedang berkendara dengan kecepatan 100 km/jam dapat mengakses internet berkecepatan 1.2 Mbps, sementara user di lingkungan yang padat masih dapat menikmati video *streaming* meskipun hanya memperoleh 300 kbps. Pada HSDPA diperkenalkan beberapa fitur baru yang menjadi mekanisme kunci dalam mencapai tujuan HSDPA yaitu meningkatkan *user throughput* maksimum untuk pengiriman paket data dari sisi *downlink* dan mengurangi *delay* transmisi paket (*round trip delay*). Beberapa fitur tersebut antara lain adalah penggunaan *Adaptive Modulation and Coding* (AMC), *Hybrid Automatic Repeat reQuest* (HARQ), dan *fast scheduling*. Penggunaan teknologi 3,5G ini diharapkan dapat mengatasi konsumsi *bandwidth* yang besar serta *delay* pengiriman paket data pada aplikasi video *streaming*.

Aplikasi video *streaming* melewaskan data yang akan dikirimkan melalui jaringan internet menggunakan protokol UDP/IP. Struktur protokol UDP/IP terdiri dari empat lapis protokol, yaitu *application layer*, *transport layer*, *network layer*, dan *physical layer*. Penggunaan IPv6 pada jaringan HSDPA terjadi pada *network layer* dimana protokol pada layer ini bertanggung jawab dalam proses pengiriman paket data ke alamat yang tepat. IPv6 yang disebut juga sebagai *Next Generation Internet Protocol* (IPng) ini direkomendasikan oleh Direktur Area IPng dari IETF (*Internet Engineering Task Force*). Salah satu keunggulan IPv6 adalah meningkatkan ukuran dan jumlah alamat yang mampu didukung oleh IPv4 dari 32 bit menjadi 128 bit. Hal ini digunakan untuk mendukung hierarki pengalamatan dan jumlah pengalamatan *node* yang lebih banyak, serta konfigurasi alamat-alamat secara otomatis yang lebih sederhana. Selain itu, adanya penyederhanaan format *header* pada IPv6. Beberapa kolom pada *header* IPv4 telah dihilangkan atau dapat dibuat sebagai *header* pilihan. Hal ini dapat digunakan untuk mengurangi biaya pemrosesan hal-hal yang umum pada penanganan paket IPv6 dan membatasi biaya *bandwidth* pada *header* IPv6. Dengan demikian, pemrosesan *header* pada paket IPv6 dapat dilakukan secara efisien. Oleh karena itu, penggunaan IPv6 ini diharapkan dapat meningkatkan performansi video *streaming* pada jaringan HSDPA.

Pada skripsi ini akan dibahas bagaimana perfomansi video *streaming* pada jaringan HSDPA yang berbasis IPv6. Pembahasan yang dilakukan meliputi analisa besarnya konsumsi *bandwidth*, probabilitas *packet loss*, *delay end-to-end*, dan *throughput*. Hal yang ingin dicapai dalam penulisan skripsi ini adalah dapat meningkatkan performansi video *streaming* dengan menghasilkan nilai *delay end-to-end* dan probabilitas packet loss yang seminimal mungkin serta besar *throughput* yang relatif besar.

1.2 RUMUSAN MASALAH

Mengacu pada permasalahan yang telah diuraikan dalam latar belakang maka rumusan masalah ditekankan pada:

1. Bagaimana penggunaan IPv6 pada jaringan HSDPA (*High Speed Downlink Packet Access*)?
2. Bagaimana performansi video *streaming* pada jaringan HSDPA (*High Speed Downlink Packet Access*) yang berbasis IPv6, meliputi konsumsi *bandwidth*, probabilitas *packet loss*, *delay end-to-end*, dan *throughput*?
3. Bagaimana pengaruh *bit rate* CODEC terhadap performansi video *streaming* pada jaringan HSDPA (*High Speed Downlink Packet Access*) yang berbasis IPv6.

1.3 RUANG LINGKUP

Berdasarkan perumusan masalah di atas, maka pembahasan dibatasi pada:

1. Performansi video *streaming* yang diamati adalah dari *server* hingga *user*.
2. Aplikasi video *streaming* menggunakan jenis CODEC AMR-WB+ untuk *audio* dan H.264/AVC untuk *video*.
3. Jaringan HSDPA yang dipergunakan adalah jaringan HSDPA yang merupakan Release 5 standard 3GPP.
4. Internet protokol yang dipergunakan adalah IPv6.
5. Pembahasan meliputi analisis secara perhitungan berdasarkan data sekunder yang telah ditentukan.



1.4 TUJUAN

Tujuan penulisan skripsi ini adalah untuk mengkaji bagaimana performansi *video streaming* pada jaringan HSDPA (*High Speed Downlink Packet Access*) yang berbasis IPv6.

1.5. KONTRIBUSI

Kontribusi yang dapat diberikan dengan penulisan skripsi ini, diantaranya adalah sebagai berikut:

- Memaksimalkan perfomansi video *streaming* pada jaringan HSDPA dengan menggunakan IPv6.
- Masyarakat memiliki alternatif pilihan untuk menikmati layanan video *streaming* yang lebih baik.
- Bagi Penyelenggara Layanan Telekomunikasi, dapat digunakan sebagai bahan acuan dalam meningkatkan *Quality of Service* (QoS) teknologi telekomunikasi, khususnya video *streaming* serta meningkatkan kepuasan dan kenyamanan pengguna layanan video *streaming*.

1.6. SISTEMATIKA PENULISAN

Sistematika penulisan dan gambaran untuk setiap bab pada skripsi ini adalah sebagai berikut: BAB I PENDAHULUAN. Pada Bab II ini memuat tentang latar belakang, rumusan masalah, batasan masalah, tujuan, metodologi, dan sistematika penulisan. BAB II TINJAUAN PUSTAKA, pada bab ini membahas tentang konsep dasar jaringan HSDPA, karakteristik HSDPA yang meliputi *shared channel transmission*, *Adaptive Modulation Coding* (AMC), *TTI (Transmissions Time Interval)*, *fast link adaptation*, *fast scheduling*, dan *HARQ (Hybrid Automatic Repeat and Request)*, serta membahas tentang konfigurasi jaringan HSDPA, *protocol stack* HSDPA, dan performansi *delay end-to-end* pada Jaringan HSDPA, pengertian video *streaming*, CODEC (COdeC/DECoder), persamaan paket data aplikasi video *streaming*, parameter-parameter performansi video *streaming*, dan konsep dasar IPv6. BAB III METODOLOGI PENELITIAN, pada bab ini dibahas tentang jenis data dan cara pengambilan data, variabel dan cara analisis data, dan kerangka solusi permasalahan dalam mengerjakan penelitian. BAB IV PEMBAHASAN DAN HASIL, pada bab ini dilakukan analisis perhitungan terhadap performansi video *streaming* pada jaringan

HSDPA (*High Speed Downlink Packet Access*) yang berbasis IPv6, meliputi konsumsi *bandwidth*, probabilitas *packet loss*, *delay end-to-end*, dan *throughput*. BAB V PENUTUP, berisi mengenai kesimpulan yang diperoleh dari teori dan analisis perhitungan yang telah dilakukan serta pemberian saran-saran.



BAB II

DASAR TEORI

2.1 Umum

Seiring dengan berkembangnya teknologi telekomunikasi serta mobilitas masyarakat yang semakin tinggi, layanan multimedia yang praktis banyak diminati masyarakat saat ini. Salah satu layanan multimedia yang paling diminati adalah layanan video *streaming*. Video *streaming* adalah sebuah teknologi untuk memainkan file video secara langsung ataupun dengan pre-recorder dari sebuah mesin server (web server). Dengan kata lain, file video yang terletak dalam sebuah server dapat secara langsung dijalankan pada UE sesaat setelah ada permintaan dari user, sehingga proses running aplikasi yang didownload berupa waktu yang lama dapat dihindari tanpa harus melakukan proses penyimpanan terlebih dahulu. [www.ittelkom.ac.id/library]

Salah satu jaringan yang mendukung layanan video *streaming* adalah jaringan HSDPA. HSDPA (*High Speed Downlink Packet Access*) atau yang biasa dikenal dengan teknologi 3.5 G merupakan suatu teknologi telekomunikasi bergerak yang dikeluarkan oleh 3GPP Release 5 dan merupakan pengembangan dari WCDMA. Agar aplikasi video *streaming* dapat berjalan dengan lebih baik, maka digunakan IPv6 pada jaringan HSDPA. IPv6 memiliki beberapa keunggulan dibandingkan dengan IPv4.

Pada Bab ini akan dibahas mengenai pengertian video *streaming*, CODEC (COdeC/DECoder), persamaan paket data aplikasi video *streaming*, parameter-parameter performansi video *streaming*, konsep-konsep dasar jaringan HSDPA, karakteristik HSDPA yang meliputi *shared channel transmission*, *Adaptive Modulation Coding* (AMC), *TTI* (*Transmissions Time Interval*), *fast link adaptation*, *fast scheduling*, dan *HARQ* (*Hybrid Automatic Repeat and Request*), serta membahas tentang konfigurasi jaringan HSDPA, *protocol stack* HSDPA, dan performansi *delay end-to-end* pada Jaringan HSDPA, serta konsep dasar IPv6.

2.2 Video Streaming

Awalnya telekomunikasi dua arah langsung yang semula hanya berupa audio saja, kini telah berkembang menjadi audio sekaligus video yang tercakup dalam dua arah percakapan jarak jauh. *Teleconference* dan video *streaming* internet menjadi contoh generasi terbaru sistem komunikasi global.



Dalam dunia internet, *streaming* lebih mengacu kepada teknologi yang mampu mengkompresi atau menyusutkan ukuran *file* audio dan video agar mudah dikirimkan melalui jaringan internet. Pengiriman *file* audio dan video tersebut dilakukan secara "stream", alias terus-menerus. Dari sudut pandang prosesnya, *streaming* berarti sebuah teknologi pengiriman *file* dari *server* ke *client* melalui jaringan *packet-based* semisal internet. Sedangkan dari sudut pandang *user*, *streaming* adalah teknologi yang memungkinkan suatu *file* dapat segera dijalankan tanpa harus menunggu selesai *download* seluruhnya dan terus mengalir tanpa ada interupsi.

Tabel 2.1 Jenis-jenis Video Streaming

No.	Jenis Video	Penjelasan
1.	<i>Live streaming</i>	Terjadi ketika setiap <i>user</i> melihat video <i>streaming</i> yang sama secara bersamaan
2.	<i>On-demand streaming</i>	Terjadi saat pengguna dapat meminta <i>prerecorded</i> video dialirkan kepada pengguna ketika pengguna ingin melihat video tersebut. Dalam hal ini, setiap user dapat memilih kapan saat untuk memulai dan mengakhiri <i>streaming</i> video.
3.	<i>Download and play</i>	Menggunakan memori atau hard disk di dalam perangkat <i>user</i> untuk menerima file audio/video yang kemudian dapat ditampilkan (dimainkan) oleh perangkat <i>user</i> . Salah satu keuntungan utama dari <i>download and play</i> adalah bahwa file audio/video dapat dikirimkan dengan HTTP, sehingga kemungkinan dapat melewati <i>firewall</i> lebih besar. Beberapa <i>server</i> tidak setuju dengan <i>download and play</i> , karena hasil salinan video tersimpan di perangkat penyimpanan setiap <i>user</i> sebelum video dilihat/ditampilkan.
4.	<i>Progressive download and play</i>	<i>Progressive download and play</i> adalah salah satu metode yang paling populer untuk pengiriman file video/audio melalui Internet, dan digunakan oleh situs-situs seperti <i>YouTube</i> . Teknologi ini pada dasarnya sama seperti <i>download and play</i> , kecuali <i>file</i> video/audio dipecah menjadi <i>file-file</i> kecil yang dikirimkan sebagai video <i>playback</i> . <i>Progressive download and play</i> memiliki keuntungan, yaitu dapat melewati <i>firewall</i> dengan mudah ketika mentransmisikan kecepatan dan kebutuhan <i>storage</i> yang lebih kecil.

(Sumber: Wes Simpson, 2008: 41)

File yang dapat ditransmisikan oleh video *streaming* adalah *file audio*, *video*, *image*, *text*, data 3D, *software*, dan sebagainya. Tetapi streaming lebih mengacu kepada *time based* media, khususnya audio dan video, yang harus dapat dinikmati sesegera mungkin dan berdasarkan pada pewaktuan yang tepat, karena untuk dapat menikmati lagu atau film, haruslah dimainkan secara berurutan dari awal hingga akhir (*sequential*) tanpa terputus-putus (*uninterrupted*). Ada beberapa jenis video *streaming* seperti ditunjukkan pada Tabel 2.1.

Ada beberapa bentuk komunikasi pada video *streaming*, yaitu:

[www.ittelkom.ac.id/library]

- a. *Broadcast* adalah bentuk komunikasi *one to many* (yang pada dasarnya adalah *one to all*) yang paling dikenal, salah satu contohnya adalah siaran TV. Dengan menggunakan *broadcast* maka informasi yang akan dikirimkan berasal dari satu sumber atau titik kepada semua penerima yang yang tergabung dalam jaringan. Pada *broadcast* semua penerima mau tidak mau akan menerima informasi ini.
- b. *Multicast*, merupakan bentuk komunikasi *one to many*, tetapi tidak seperti *broadcast*. Pada *multicast*, informasi yang dikirimkan berasal dari satu sumber atau titik kepada semua penerima yang menginginkan informasi tersebut. *Server* akan membuat *stream* satu kali kemudian *stream* ini diduplikasi dan dikirimkan ke setiap *client*. Setiap *client* akan menerima *stream* yang sama dengan *client* lainnya. Salah satu contoh penggunaan *multicast* adalah *live video*.
- c. *Unicast* merupakan bentuk komunikasi *one to one* atau *point to point*. Pada *unicast*, informasi yang dikirimkan berasal dari satu sumber atau titik ke satu titik lainnya. *Server* akan mengirimkan file *streaming* ke komputer *client* berkali-kali bergantung pada banyaknya jumlah permintaan. Setiap *client* akan menerima file *streaming* yang terpisah dari client lainnya. Contoh penggunaan *unicast* adalah *video on demand*.

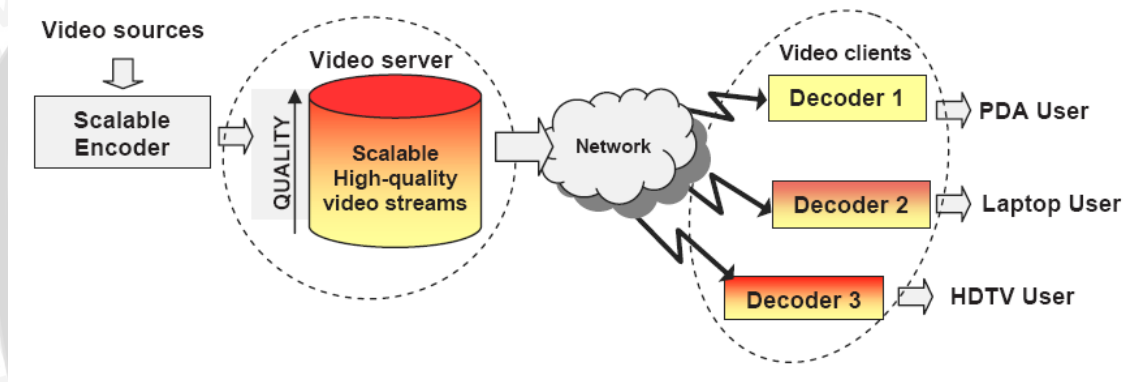
2.2.1 CODEC (*Coder/DECoder*)

Pada aplikasi multimedia baik untuk *voice*, *video*, maupun *data*, besarnya *bandwidth* tergantung dari CODEC yang digunakan. CODEC terdiri *Encoder* yang digunakan untuk melakukan *encoding* pada *file audio/video* sehingga memiliki ukuran yang lebih kecil dengan memperkecil *pixel* dan *frame* serta *Decoder* yang digunakan



untuk membaca *file* yang telah di-*encode* dan memainkannya di sisi *client*. CODEC sangat diperlukan dalam proses *streaming* video.

Pada proses *streaming* video, video dari *source* akan di-*capture* dan disimpan pada sebuah *buffer* yang berada pada memori komputer (bukan media penyimpanan seperti *harddisk*) dan kemudian di-*encode* sesuai dengan format yang diinginkan. Dalam proses *encode* ini, *server* dapat mengompresi data sehingga ukurannya tidak terlalu besar (bersifat *optional*). Hal tersebut dilakukan karena keterbatasan *bandwidth* jaringan. Setelah di-*encode*, data akan di-*stream* ke *user* yang lain. *User* akan melakukan *decode* data dan menampilkan hasilnya ke layar *user* untuk menikmati video *streaming*. Proses *streaming* video dapat ditunjukkan pada Gambar 2.1.



Gambar 2.1 Proses *streaming* video melalui jaringan

(Sumber: Ashraf M.A. Ahmad and Ismail Khalil Ibrahim, 2009: 94)

Terdapat dua jenis CODEC yang dapat digunakan dalam video *streaming*, yaitu (Andreas Handojo, dkk, 2009: 1):

- Lossy* CODEC: CODEC ini akan mengurangi kualitas data dengan mengurangi ukuran data (kompresi). Pada umumnya, CODEC ini digunakan untuk menyimpan data pada media penyimpanan yang berukuran terbatas seperti CD-ROM dan DVD. *Lossy* CODEC ini biasanya digunakan untuk *streaming*, karena *bandwidth* jaringan yang terbatas. Contoh: Windows Media Video, H.264.
- Lossless* CODEC: Pada *lossless* CODEC ini, kualitas data yang dihasilkan tidak akan berkurang. Tetapi, ukuran data yang dihasilkan oleh *lossless* CODEC ini akan lebih besar dibandingkan dengan *lossy codec*. Pada umumnya, *lossless* CODEC ini digunakan pada video yang masih memerlukan *editing*, karena dalam proses *editing* dilakukan *encode-decode* berulang kali, sehingga jika menggunakan *lossy* CODEC,

kualitas video akan jauh menurun dibandingkan dengan video aslinya. Contoh: CorePNG, huffyuv, Apple Lossless Audio Codec.

Ada beberapa jenis audio dan video CODEC menurut ITU.T, seperti ditunjukkan pada Tabel 2.2.

Tabel 2.2 Jenis CODEC Video dan Audio

Audio CODEC	Bit Rate (kbps)	Maximum Payload (byte)	Delay CODEC (ms)
AMR-WB	6,6 – 23,85	35	10 – 20
AMR-WB+	5,2 – 48	46	20 – 40
HE-AAC v2	128 – 320	80	40 – 80
Video CODEC	Bit Rate (kbps)	Maximum Payload (byte)	Delay CODEC (ms)
H.264/AVC	64 – 384	254	150 – 300

(Sumber: RFC 4352,2006 dan RFC 3984, 2005)

2.2.2 Kualitas Video

Video dapat juga disebut sebagai gambar-gambar yang bergerak. Dalam video tampilkan sejumlah gambar atau frame dengan kecepatan tertentu yang disebut dengan istilah frame rate, yang dihitung dalam skala frame per second (fps). Seperti jenis data yang lain, data video juga dapat disimpan, diedit, ataupun dikirim melalui jaringan.

Ada beberapa format gambar yang digunakan dalam aplikasi video *streaming* diantaranya adalah format CIF, QCIF, SQCIF dan 4CIF. Perbandingan untuk setiap format gambar dapat dilihat pada Gambar 2.2.



Gambar 2.2 Format Gambar

(Sumber: Iain E. G. Richardson, 2003: 20)

Pilihan resolusi frame tergantung pada aplikasi dan kapasitas yang tersedia atau kapasitas transmisi. Sebagai contoh, 4CIF sesuai untuk digunakan pada televisi standar dan DVD-video. Format CIF dan QCIF sangat populer digunakan pada aplikasi video conferencing. Sedangkan format QCIF atau SQCIF sesuai untuk digunakan pada aplikasi *mobile multimedia* dimana resolusi layar dan bit rate format ini terbatas.

Kualitas video yang baik dapat dinilai dari tiga elemen utama, yaitu: [*Streaming White Paper*, 1998: 5]:

- a. Frame Rate, jumlah gambar yang ditampilkan per detik pada video. Minimum frame yang dibutuhkan untuk mendapatkan ilusi gambar yang bergerak adalah sekitar 15 fps.
- b. Color Depth, Jumlah bit pada setiap pixel yang menunjukkan informasi warna. Misalnya: 24 bit menunjukkan 16.7 juta warna, 16 bit sekitar 65,535 warna, atau 8 bit hanya 256 warna.
- c. Frame Resolution, biasanya ditunjukkan dengan width dan height pada pixel. Misalnya: full screen PC mempunyai frame resolution sebesar 640x480.

Jika kita menggunakan kecepatan pengiriman kecepatan pengiriman frame per second (fps) video yang rendah, akan memakan bandwidth yang lebih rendah dibandingkan frame per second (fps) yang tinggi. Video yang cukup baik biasanya dikirim dengan kecepatan frame per second (fps) sekitar 30 fps.

2.3 HSDPA (*High Speed Downlink Packet Access*)

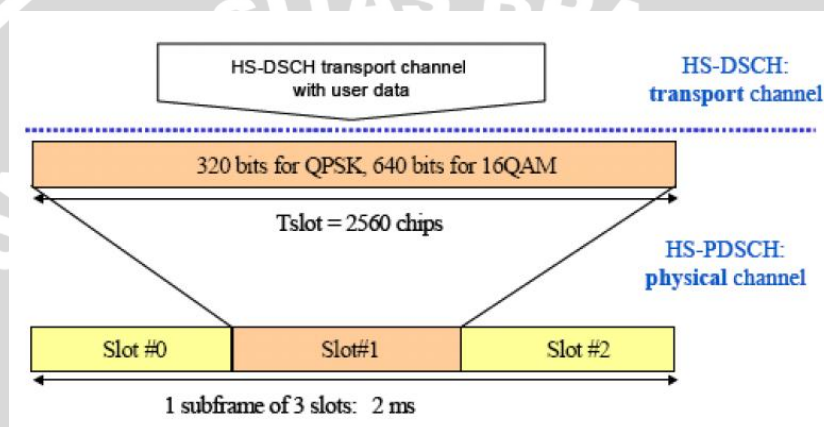
HSDPA merupakan pengembangan dari *air interface* pada jaringan WCDMA yang bertujuan meningkatkan performansi WCDMA untuk mengatasi peningkatan *user* dan perkembangan komunikasi data yang mengarah pada komunikasi multimedia. Konsep HSDPA didasarkan pada beberapa karakteristiknya, yaitu: [Ajai John, 2009: 6]

- *Shared channel transmission*
- *Adaptive Modulation Coding (AMC)*
- *Short Transmission Time Interval (TTI)*
- *Fast link adaptation*
- *Fast scheduling*
- *Fast Hybrid Automatic Repeat Request (H-ARQ)*

2.3.1 Shared Channel Transmission

Beberapa kanal baru diperkenalkan dalam jaringan HSDPA, yaitu *High-Speed Downlink Shared Channel* (HS-DSCH), *high-speed shared control channel* (HS-SCCH), dan HS-DPCCH (*High Speed-Dedicated Physical Control Channel*).

1. HS-PDSCH (*High Speed-Physical Downlink Shared Channel*), adalah kanal fisik *downlink* yang membawa data *user* HS-DSCH. HS-PDSCH memiliki *spreading factor* tetap sebesar 16. Satu *transport block* HS-DSCH ditransmisikan dengan transmission time interval (TTI) sebesar 2 ms. HS-PDSCH menggunakan skema modulasi QPSK maupun 16-QAM.



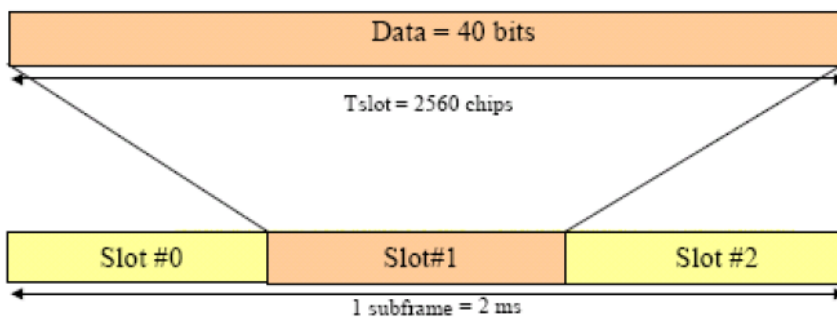
Gambar 2.3 Struktur Frame HS-PDSCH

(Sumber: <http://www.scribd.com/doc/19864169/HSDPA-THESES>)

2. HS-SCCH (*High Speed-Shared Control Channel*), adalah kanal pensinyalan downlink yang membawa informasi untuk UE (*User Equipment*) sebelum memulai penjadwalan TTI. Kanal ini memberitahu UE bila ada data pada HS-DSCH yang dialamatkan ke UE tertentu, dan memberikan UE perubahan parameter dengan cepat yang diperlukan untuk penerimaan HS-DSCH. HS-SCCH memiliki *spreading factor* sebesar 128. HS-SCCH berisi informasi kontrol dan penjadwalan sebagai berikut: [Mohammad Assaad and Djamel Zeghlache, 2007: 83-84]

- Identifikasi UE identification
- HSPDSCH *channelization codes*
- Informasi skema modulasi HSPDSCH
- Informasi *transport block size*
- Informasi proses HARQ

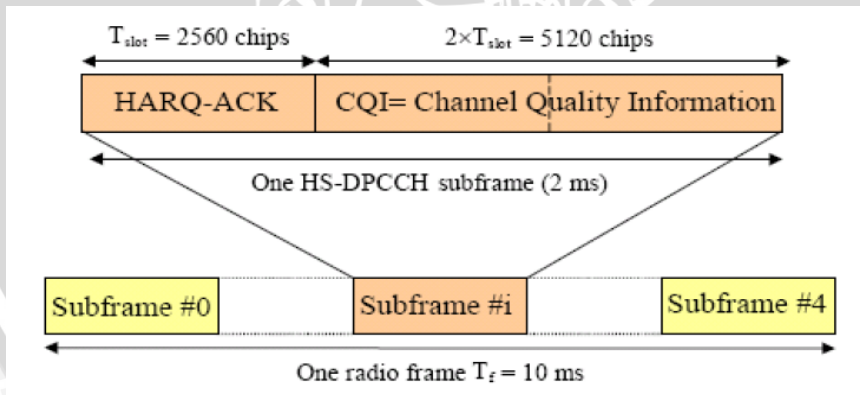
- Redundancy and versi constellation
- Indikator data HARQ yang baru



Gambar 2.4 Struktur Frame HS-SCCH

(Sumber: <http://www.scribd.com/doc/19864169/HSDPA-THESES>)

3. HS-DPCCH (*High Speed-Dedicated Physical Control Channel*), adalah kanal kontrol *uplink* yang membawa *feed-back* pensinyalan yang berhubungan dengan transmisi *downlink* HS-DSCH dan kontrol infomasi berupa HARQ ACK/NACK dan CQI. Kanal ini akan memberitahukan apakah hubungan transmisi pada arah *downlink* telah sukses dikodekan dan CQI (*Channel Quality Indicator*) yang digunakan telah sesuai dengan *link adaptation*.



Gambar 2.5 Struktur Frame HS-DPCCH

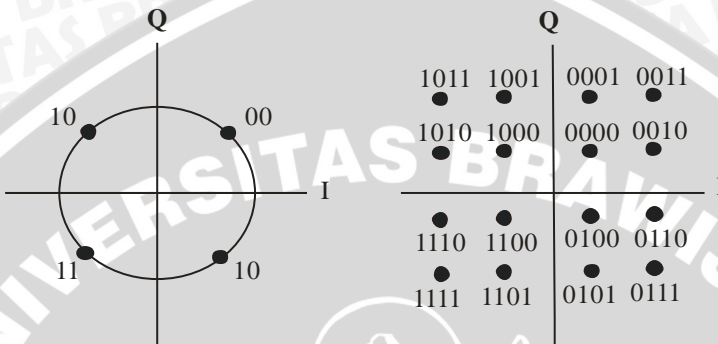
(Sumber: <http://www.scribd.com/doc/19864169/HSDPA-THESES>)

2.3.2 Adaptive Modulation Coding (AMC)

AMC merupakan teknologi utama pada HSDPA dimana feedback dari UE digunakan untuk menentukan skema *coding* dan modulasi yang akan digunakan berdasarkan CQI (*Channel Quality Indicator*) [Ajai John, 2009: 15]. Proses ini



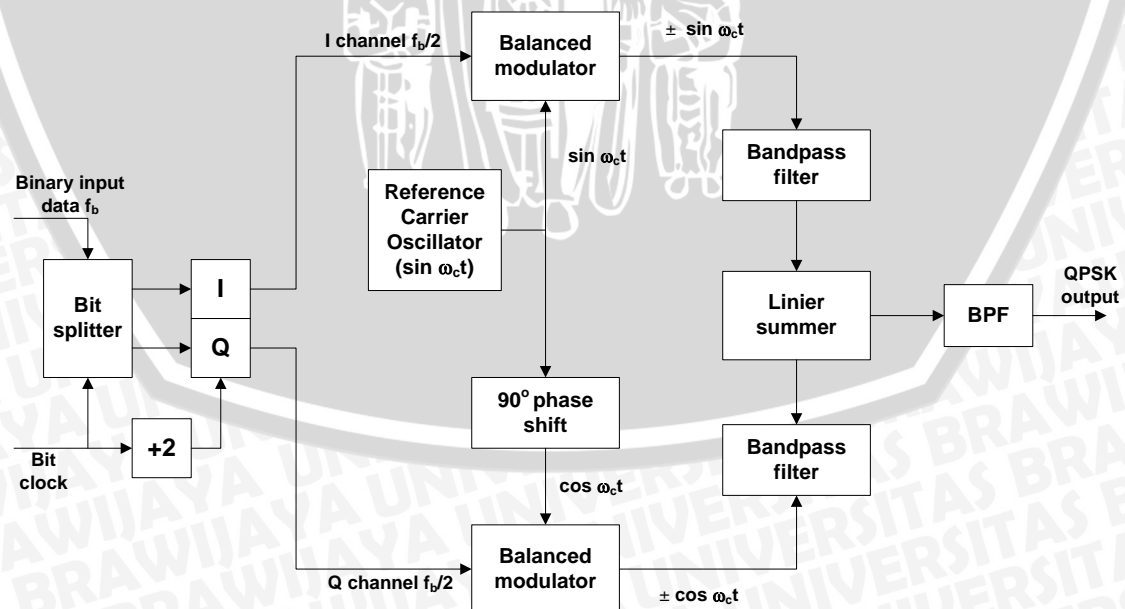
dilakukan untuk setiap TTI dengan tujuan untuk memaksimalkan *data rate* dari UE dengan kondisi kanal yang baik. Modulasi pada HS-DSCH dilakukan secara adaptif dengan pemilihan modulasi QPSK (*Quadrature Phase Shift Keying*) atau 16 QAM (*Quadrature Amplitude Modulation*). Skema modulasi QPSK dan 16-QAM dapat ditunjukkan pada Gambar 2.6 di bawah ini



Gambar 2.6 Skema Modulasi QPSK dan 16QAM

(Sumber: <http://www.ittelkom.ac.id/library>)

- a. QPSK merupakan modulasi *M*-ary PSK (*Phase Shift Keying*) dengan beda fasa untuk masing-masing simbol sebesar 90 derajat. QPSK merepresentasikan 2 bit dalam setiap simbol. Blok diagram modulator QPSK dapat dilihat pada Gambar 2.7 di bawah ini.



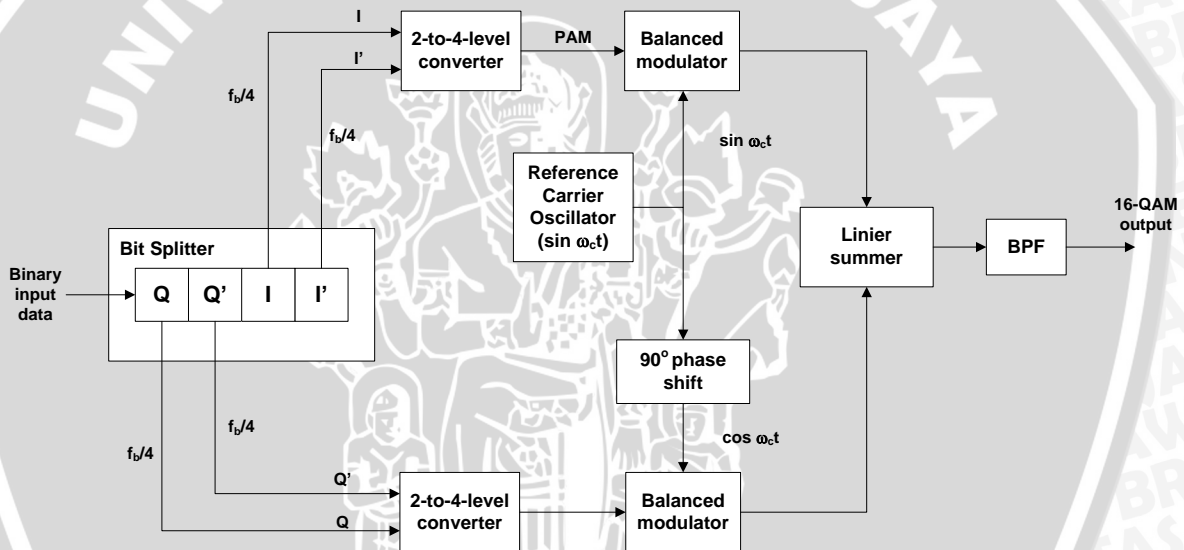
Gambar 2.7 Blok Diagram Modulator QPSK

(Sumber: Wayne Tomasi, 2004: 349)



Pada blok diagram di atas, sinyal informasi dalam bentuk biner dengan bit rate tertentu (f_b) dipisahkan melalui bit *splitter* dimana terjadi proses *serial to parallel conversion* sehingga keluaran sinyal informasi melalui kanal I dan kanal Q. Pada *balanced modulator*, sinyal informasi dimodulasi oleh sinyal carrier yang berasal dari *reference carrier oscillator*. Selanjutnya, sinyal termodulasi kedua kanal dilewatkan melalui bandpass filter dan dijumlahkan sehingga dihasilkan 4 macam keluaran QPSK.

- b. QAM merupakan kombinasi jenis modulasi M -ary ASK (*Amplitude Shift Keying*) dan M -ary PSK. Pada sistem HSDPA jenis QAM yang digunakan adalah 16-QAM dimana tiap simbolnya merepresentasikan 4 bit.



Gambar 2.8 Blok Diagram Modulator 16-QAM

(Sumber: Wayne Tomasi, 2004: 365)

Pada blok diagram di atas, *binary input data* merupakan sinyal informasi yang telah diubah dalam bentuk bit data. Input ini kemudian dipisahkan pada bit *splitter* (*serial to parallel conversion*) untuk menghasilkan masing-masing dua bit pada kanal Q dan kanal I. Selanjutnya, 2-to-4-level *converter* digunakan untuk membangkitkan signal PAM. Pada balance modulator kanal I, sinyal PAM dimodulasi dengan sinyal carrier yang sefasa dengan *reference carrier oscillator*. Sedangkan pada balance modulator kanal Q, sinyal PAM dimodulasi dengan sinyal carrier yang berbeda fasa 90° dengan *reference carrier oscillator*. Selanjutnya,

linier summer menggabungkan keluaran sinyal termodulasi dari kanal I dan Q sehingga dihasilkan 16 macam keluaran 16-QAM.

2.3.3 *Transmissions Time Interval (TTI)*

HSDPA menerapkan TTI sebesar 2ms untuk sebuah *sub-frame* HS-DSCH yang terdiri dari 3 slot. Sebuah UE (*User Equipment*) dapat menggunakan semua kode kanalisasi sepanjang TTI atau beberapa UE menempati TTI yang sama dengan alokasi kode kanalisasi yang berbeda. Dengan TTI sebesar 2 ms, maka dapat mengurangi *roundtrip time* dan meningkatkan variasi kanal *tracking*.

2.3.4 *Fast Link Adaptation*

Adaptasi *link* pada HSDPA berdasarkan pada layer fisik CQI yang disediakan oleh terminal. Pengguna yang relatif lebih dekat dengan *base station* mentransmisikan level daya yang lebih tinggi daripada yang dibutuhkan. Adaptasi *link* mengatasi ekstra margin tersebut dengan menyeleksi parameter transmisi sehingga energi simbol yang dibutuhkan sesuai dengan daya simbol yang tersedia. Adaptasi *link* dilakukan berdasarkan informasi CQI yang juga mempertimbangkan aspek lain selain kekuatan sinyal atau C/I.

2.3.5 *Fast Scheduling*

Fitur *fast-scheduling* menentukan UE tertentu dalam transmisi kanal bersama yang harus diarahkan pada waktu tertentu. Tujuannya adalah untuk mentransmisikan sinyal pada pengguna dengan kondisi radio yang terbaik. Untuk setiap TTI, *scheduler* menentukan kepada pengguna mana HS-DSCH harus ditransmisikan serta menentukan modulasi dan banyaknya kode yang harus digunakan dengan menggunakan mekanisme *link adaptation*. Dengan adanya MAC-hs pada *node B* maka *delay* transmisi paket yang terjadi dapat dikurangi. Tiga cara penjadwalan dipakai dalam sistem HSDPA yaitu:

a. *Round Robin (RR)*

Penjadwalan RR bekerja berdasarkan posisi antrian, *first in first out*. Meskipun paling sederhana dan fair, kondisi kanal yang dipakai UE tidak dijadikan pertimbangan. Sebagai konsekuensinya pengguna tetap dijadwal meskipun kondisi kanal buruk.

b. Maximum C/I

Algoritma Maximum C/I menjadwal UE berdasarkan rasio C/I sesaat. User dengan nilai C/I paling tinggi akan mendapatkan prioritas lebih tinggi. Asumsinya seluruh UE memiliki level MCS (*Modulation and Coding Scheme*) tertinggi untuk melakukan transmisi. Hal tersebut kurang fair karena menyebabkan hampir setengah pengguna sel tidak memperoleh pelayanan yang cukup.

c. *Proportional Fair* (PF)

PF merupakan bentuk kompromi antara RR dan Maximum C/I. PF bekerja berdasarkan keseimbangan antara rata-rata *Throughput* yang diperoleh dengan *data rate* sesaat. Hasilnya setiap pengguna dilayani saat kondisi kanal mendukung.

2.3.6 Fast Hybrid Automatic Repeat and Request (HARQ)

HARQ meningkatkan performansi dan menambah ketahanan terhadap *error* pada *link adaptation*. Penerima akan mengirim NACK melalui HS-DPCCH ketika mendekksi error pada paket data yang diterima setelah 7.5 *time slot* dari akhir TTI HS-DSCH. Teknologi HARQ mengkombinasikan FEC (*Feed Error Correction*) dan ARQ untuk menyelamatkan informasi dari kegagalan transmisi sebelumnya untuk keperluan *decoding* pada UE [<http://www.ittelkom.ac.id/library>]

Untuk retransmisi, HARQ menggunakan TBS (*Transport Block Size*) yang sama dengan transmisi sebelumnya dimana jumlah bit informasi yang dikirimkan sama. Namun jenis modulasi, *channelization code* atau daya transmisi yang digunakan dapat berbeda. HARQ pada HSDPA dapat terdiri atas teknik berikut: [Ajai John, 2009: 14-15]

a. *Chase Combining* (CC)

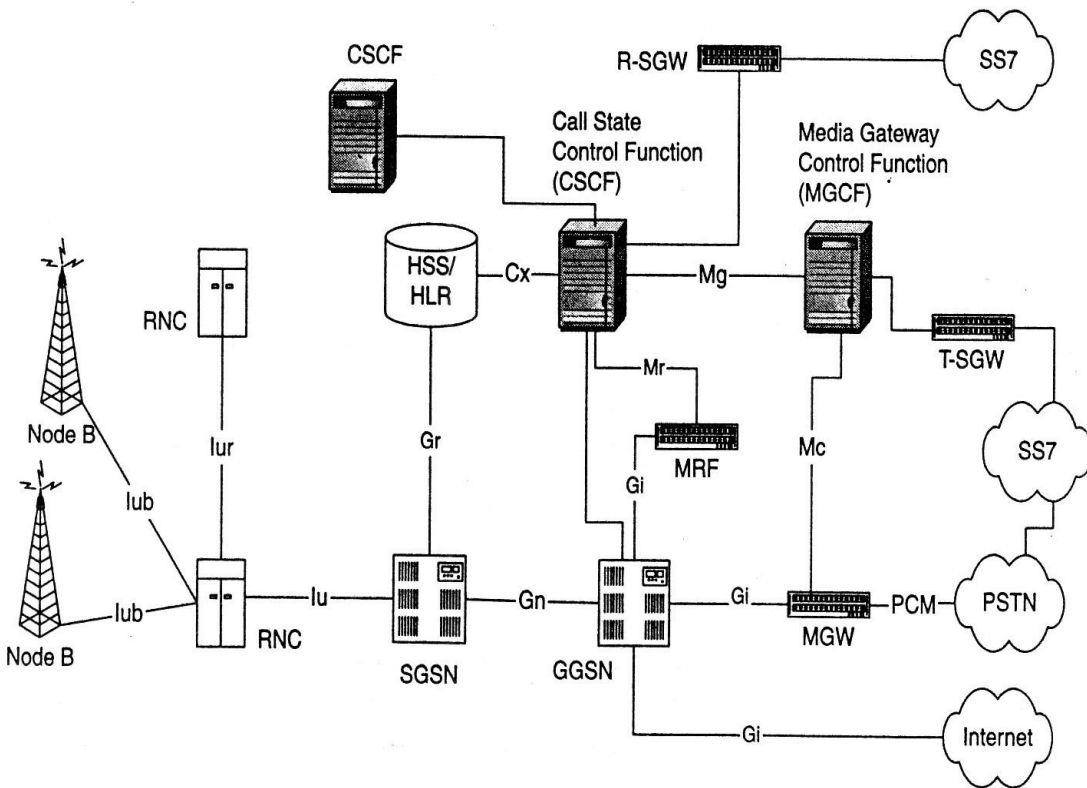
Pada CC, bit-bit yang sama akan dikirimkan pada retransmisi ketika terjadi *error* pada proses *decoding*. Paket transmisi digabungkan dengan paket sebelumnya (soft combining) untuk dapat di-*decode* selanjutnya.

b. *Incremental Redundancy* (IR)

Pada IR, bit parity tambahan dikirimkan saat terjadi *error* pada proses *decoding*. Bit *parity* tambahan ini digunakan bersama dengan bit *parity* yang asli sehingga dapat mengurangi *code rate*.

2.3.7 Konfigurasi Jaringan HSDPA

Berikut ini merupakan konfigurasi jaringan HSDPA yang ditunjukkan pada Gambar 2.9.



Gambar 2.9 Arsitektur Jaringan HSDPA

(Sumber: Clint Smith, P.E and Daniel Collins, 2002:155)

1. Core network

Core network terdiri dari beberapa bagian, yaitu :

- Serving GPRS Support Node (SGSN):* berfungsi sama halnya seperti MSC/VLR (*Mobile Switching Centre/Visitor Location Register*), tetapi secara khusus digunakan untuk layanan *Packet Switched (PS)*.
- Gateway GPRS Support Node (GGSN):* berfungsi sama halnya seperti GMSC (*Gateway Mobile Service Swiching Center*), tetapi berhubungan dengan layanan-layanan PS.

2. RNC (Radio Network Controller)

RNC (*Radio Network Controller*) digunakan untuk mengontrol sumber radio dimana *Node B* terhubung dengannya. RNC adalah layanan *access point* untuk semua layanan yang disediakan oleh NSS (*Network and Switchinbg Sub-System*).

Suatu RNC yang dengan beberapa Node B membentuk *Radio Network Subsystem* (RNS).

3. Node B

Node B merupakan perangkat untuk mengkonversi aliran data antara *interface Uu* dan *Iub*, juga berperan dalam *radio resource management*. Jadi, Node B digunakan untuk mentransmisikan data dari *Iub-interface* dan *uu-interface* atau sebaliknya serta ikut mengontrol sumber radio.

4. UE (*User Equipment*)

UE (User Equipment) merupakan perangkat atau terminal pada sisi pelanggan yang berupa headset untuk mengirim dan menerima informasi. HSDPA memiliki 12 tipe *UE (User Equipment)*. Perbedaanannya meliputi beberapa faktor, yaitu:

- Kode-kode HS-PDSCH

Merupakan jumlah maksimum kode HS-PDSCH yang dapat dialokasikan untuk UE, yaitu 5, 10, atau 15 kode. Untuk kode yang lebih rendah dari kode maksimum yang digunakan dilewatkan melalui HS-SCCH.

- *Inter-TTI interval*

Merupakan interval minimum yaitu 1 TTI sebesar 2 ms. Akan tetapi nilai TTI sebesar 1, 2, atau 3 diperbolehkan.

- *Transport Block Size*

Merupakan TBS (*Transport Block Size*) maksimum dari HS-DSCH yang dapat digunakan oleh UE pada sebuah TTI.

- *Incremental redundancy buffer size*

Merupakan jumlah soft bit yang dapat di-buffer oleh UE sepanjang proses H-ARQ aktif.

- Modulasi

Merupakan kemampuan sebuah UE untuk mendukung modulasi QPSK dan 16-QAM atau hanya modulasi QPSK saja.

Kategori UE pada HSDPA ditunjukkan pada Tabel 2.3



Tabel 2.3 Kategori User Equipment (UE) HSDPA

UE Category	Mod. scheme	Parameters from 3GPP specifications						Theoretical max. data rate w/o channel coding; Mbps	IR HARQ possible at maximum data rate
		Maximum number of HS-DSCH codes received	Minimum inter-TTI interval	Max. no. of bit per transport block received within an HS-DSCH TTI	Total number of soft channel bits	Maximum data rate; Mbps			
1	16QAM	5	3	7298	19200	1,22	1,6	No	
2	16QAM	5	3	7298	28800	1,22	1,6	Yes	
3	16QAM	5	2	7298	28800	1,82	2,4	No	
4	16QAM	5	2	7298	38400	1,82	2,4	Yes	
5	16QAM	5	1	7298	57600	3,65	4,8	No	
6	16QAM	5	1	7298	67200	3,65	4,8	Yes	
7	16QAM	10	1	14411	115200	7,21	9,6	No	
8	16QAM	10	1	14411	134400	7,21	9,6	Yes	
9	16QAM	15	1	20251	172800	10,13	14,4	No	
10	16QAM	15	1	27952	172800	13,98	14,4	No	
11	QPSK	5	2	3630	14400	0,91	1,2	No	
12	QPSK	5	1	3630	28800	1,82	2,4	No	

Sumber: HSDPA by Siemens, 2004: 17

5. Interface

Ada beberapa *interface* pada jaringan HSDPA, yaitu:

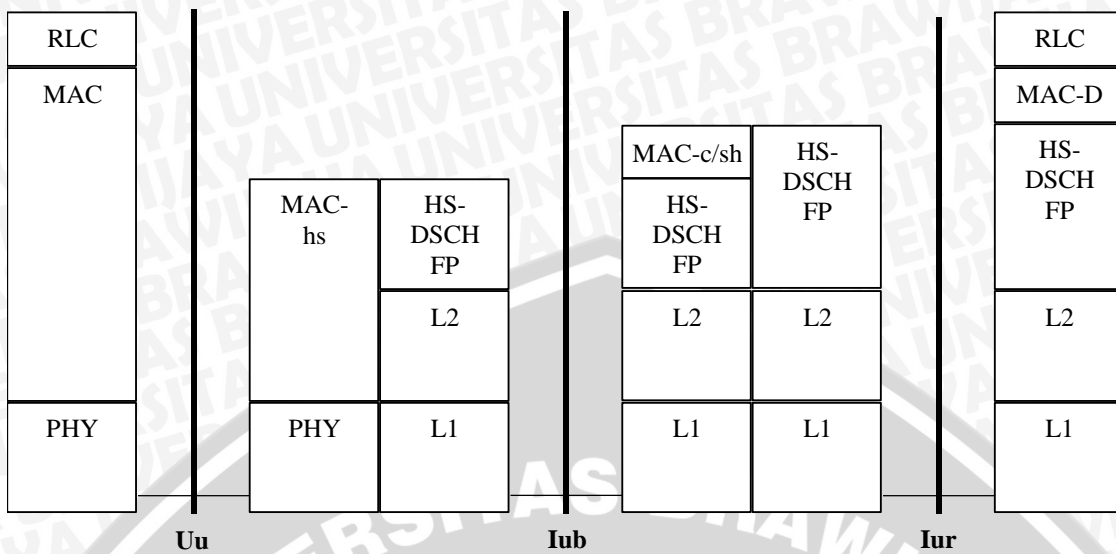
- Uu *Interface*, sebagai terminal dari UMTS yang berhubungan dengan *radio interface* dari UTRAN dan aplikasi *user*.
- Iu *Interface*, merupakan *interface* antara Node B dan UE. *Interface* ini mengatur koneksi antara UE dengan UTRAN termasuk pada pembangunan, pemeliharaan, dan pemutusan koneksi.
- Iub *interface*, berfungsi menghubungkan RNC (*Radio Network Controller*) dengan Node B menggunakan NBAP (*Node B Application Part*) *signalling*. *Signalling* dari Node B ke RNC dan sebaliknya menggunakan protokol NBAP yang dilewatkan melalui lub-*interface*. Kode kanalisasi yang dialokasikan untuk transmisi HSDPA juga memerlukan *signalling* antara RNC ke Node B.
- Iur *Interface*, merupakan *interface* antar RNC. *Interface* ini mengatur *radio* dan *physical link*, serta *common transport channel resources*.
- Gn *Interface*, merupakan *interface* antara SGSN dan GGSN, serta berfungsi untuk tunneling *payload* data *end user* dalam jaringan backbone.

- f. Gi *Interface*, digunakan untuk transportasi semua *end user* data IP antara *core network* UMTS dan jaringan IP eksternal.

2.3.8 Protokol Stack HSDPA

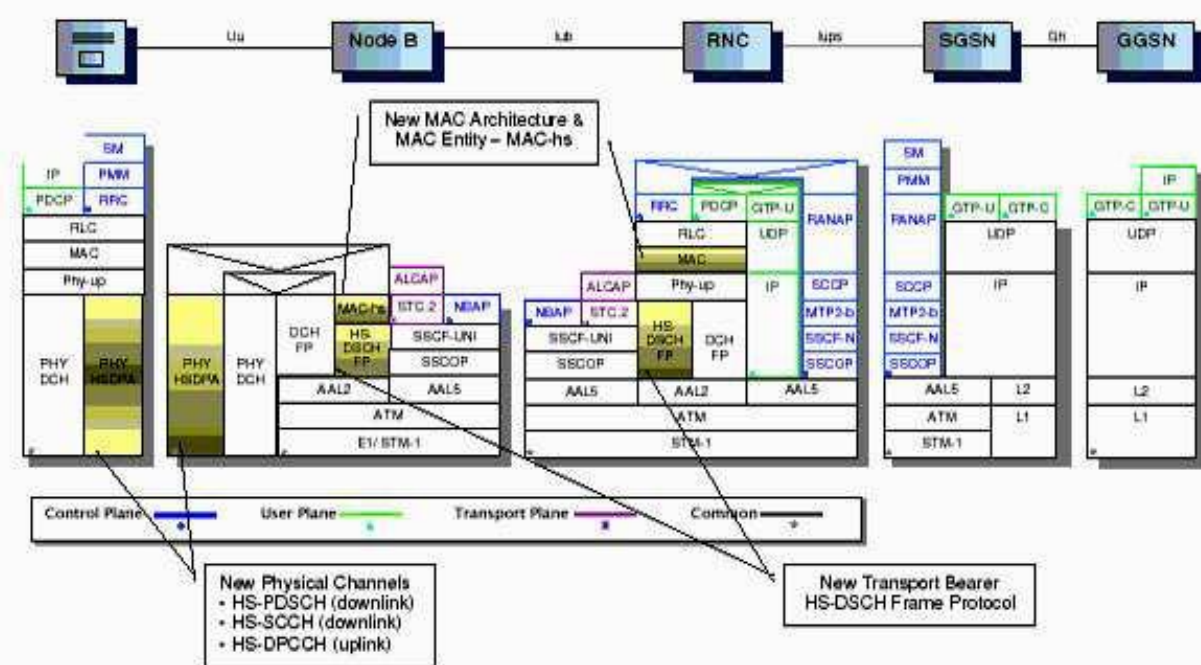
Pada HSDPA, *Node B* tidak hanya terdiri atas layer fisik. Perubahan pada *Node B* terjadi pada layer MAC (*Medium Access Control*), yaitu penambahan MAC-hs yang merupakan *entity* MAC yang menangani *transport channel* baru yang diperkenalkan HSDPA, yakni HS-DSCH. MAC-hs memiliki peran dalam fungsi retransmisi dan *scheduling* dalam menangani prioritas paket. Pada *Release'99* (WCDMA), proses retransmisi dan *scheduling* dilakukan pada RNC, sedangkan pada HSDPA dilakukan pada *Node B* (BTS) [Y. Jay Guo, 2004: 78-79]. Oleh karena itu, waktu yang dibutuhkan untuk retransmisi lebih pendek. Dengan adanya layer MAC pada *Node B*, maka proses retransmisi dan *scheduling* dapat terjadi lebih cepat.

Fungsionalitas *Node B* berbasis *fast scheduling* merupakan fungsionalitas *layer* MAC sehingga pada HSDPA diperlukan suatu unit protokol baru pada *Node B*, yaitu MAC-hs (hs untuk *high speed*). RNC tetap mempertahankan MAC-d (d untuk *dedicated*), namun fungsi yang masih tersisa hanya sebagai *switching* kanal transport karena fungsi yang lain seperti *scheduling* dan prioritas penanganan telah dipindahkan ke MAC-hs. Layer di atas MAC yaitu layer RLC (*Radio Link Control*) dibiarkan tetap tanpa perubahan.



Gambar 2.10 Protokol Stack UTRAN HSDPA

(Sumber: 3GPP TR 25.855 V2.0.0, 2001: 8)



Gambar 2.11 Protokol Stack jaringan HSDPA

(Sumber: PT. Indosat, Tbk KPI Surabaya dalam Linda Ekowati, 2008)

2.4 Internet Protocol versi 6 (IPv6)

Usaha untuk membangun IPv6 sebagai protokol pengganti IPv4 mulai dilaksanakan oleh *Internet Engineering Task Force* (IETF) pada awal tahun 1990-an.

IPv6 ini dirancang untuk memecahkan masalah keterbatasan ruang alamat alamat IPv4. Rekomendasi mengenai IPv6 yang terdapat dalam RFC 1752, “*The Recommendation for the IP Next Generation Protocol*” ditetapkan menjadi IETF *Draft Standard* pada 10 Agustus 1998. IP versi 6 (IPv6) adalah protokol internet versi baru yang didesain sebagai pengganti dari internet protokol versi 4 (IPv4).

Perubahan dari IPv4 ke IPv6 pada dasarnya terjadi karena beberapa hal yang dikelompokkan dalam kategori berikut [Sritrusta Sukaridhoto, 2008: 3]

- Kapasitas Perluasan Alamat

IPv6 meningkatkan ukuran dan jumlah alamat yang mampu didukung oleh IPv4 dari 32 bit menjadi 128 bit. Peningkatan kapasitas alamat ini digunakan untuk mendukung peningkatan hirarki atau kelompok pengalaman, peningkatan jumlah atau kapasitas alamat yang dapat dialokasikan dan diberikan pada *node*, dan mempermudah konfigurasi alamat pada *node* sehingga dapat dilakukan secara otomatis. Peningkatan skalabilitas juga dilakukan pada *routing multicast* dengan meningkatkan cakupan dan jumlah pada alamat *multicast*. IPv6 ini selain meningkatkan jumlah kapasitas alamat yang dapat dialokasikan pada *node*, juga mengenalkan jenis atau tipe alamat baru, yaitu alamat *anycast*. Tipe alamat *anycast* ini didefinisikan dan digunakan untuk mengirimkan paket ke salah satu dari kumpulan *node*.

- Penyederhanaan Format *Header*

Beberapa kolom pada *header* IPv4 telah dihilangkan atau dapat dibuat sebagai *header* pilihan. Hal ini digunakan untuk mengurangi biaya pemrosesan hal-hal yang umum pada penanganan paket IPv6 dan membatasi biaya *bandwidth* pada *header* IPv6. Dengan demikian, pemrosesan *header* pada paket IPv6 dapat dilakukan secara efisien.

- Peningkatan Dukungan untuk *Header* Pilihan dan *Header* Tambahan (*option and extension header*)

Perubahan yang terjadi pada *header-header* IP yaitu dengan adanya pengkodean *header options* (pilihan) pada IP dimaksudkan agar lebih efisien dalam penerusan paket (*packet forwarding*), agar tidak terlalu ketat dalam pembatasan panjang *header* pilihan yang terdapat dalam paket IPv6 dan sangat fleksibel dimungkinkan untuk mengenalkan *header* pilihan baru pada masa akan datang.

- Kemampuan pelabelan aliran paket

Kemampuan atau fitur baru yang ditambahkan pada IPv6 ini adalah memungkinkan pelabelan atau pengklasifikasian paket yang merupakan milik dari aliran trafik tertentu dan aliran trafik ini meminta penanganan spesial, seperti kualitas mutu layanan tertentu (QoS) atau layanan *real-time*.

- Autentifikasi dan Kemampuan Privasi

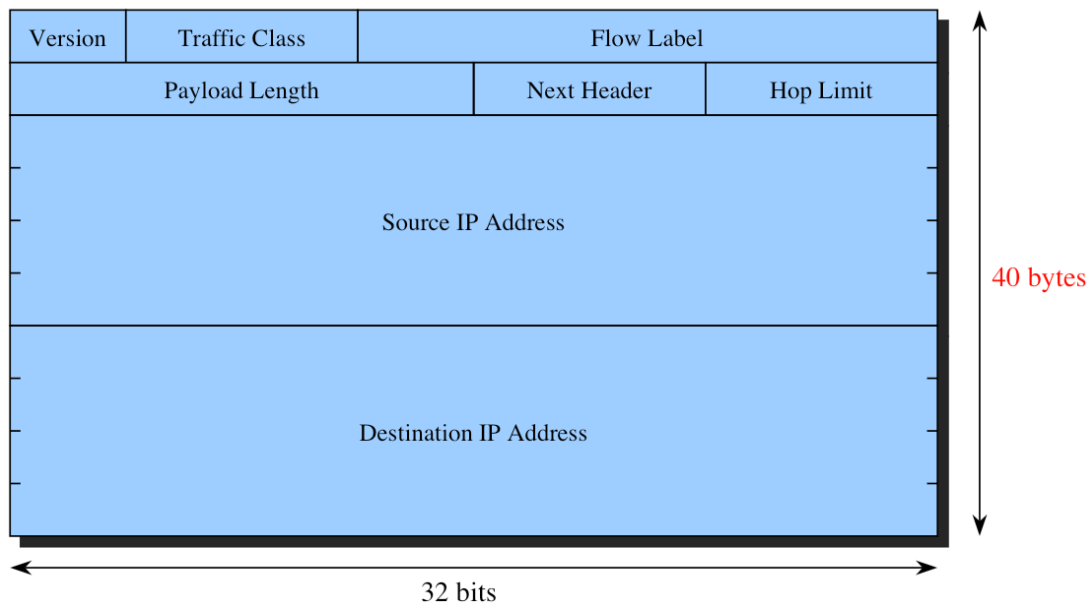
Kemampuan tambahan untuk mendukung autentifikasi, integritas data dan data penting juga dispesifikasi dengan alamat IPv6.

2.4.1 Format *Header* IPv6

Format *header* alamat IPv6 menyederhanakan format *header* pada alamat IPv4.

Setiap paket IPv6 membawa data yang terdiri dari [Silvia Hagen, 2003: 11]:

- *Version* (4 bit), berisi nomor versi protokol internet, yaitu 6.
- *Traffic Class* (8 bit), berisi kolom kelas atau klasifikasi trafik. Tersedia untuk digunakan oleh permulaan *node* atau *router forwarding* untuk mengidentifikasi dan membedakan antara kelas yang berbeda atau prioritas paket IPv6.
- *Flow Label* (20 bit), berisi label aliran dari trafi. Digunakan oleh *host* untuk melabeli paket-paket yang mana meminta penanganan khusus oleh *router* dalam suatu jaringan.
- *Payload Length* (16 bit), merupakan panjang *payload/muatan* IPv6. *Payload* ini adalah sisa paket setelah *header* IPv6 dalam bentuk oktet (di luar *header* IPv6). Catatan bahwa *header* tambahan/*extension header* yang ada dihitung sebagai bagian dari *payload* termasuk panjang *header* tambahan tersebut.
- *Next header* (8 bit), merupakan identifikasi tipe *header* yang akan ada setelah *header* IPv6. Nilai *heeder* ini menggunakan tipe *header* yang sama dengan yang ada pada protokol IPv4 (RFC 1700).
- *Hop Limit* (8 bit), nilai pada kolom ini akan dikurangi satu jika paket ini melewati *node* yang berfungsi melewatkannya/memforward paket (melewati *router*). Paket ini akan dibuang jika batas *hop* ini berubah menjadi nol.
- *Source Address* (128 bit), merupakan alamat IPv6 asal dari paket.
- *Destination Address* (128 bit), merupakan alamat IPv6 tujuan paket.



Gambar 2.12 Format *header* IPv6

(Sumber: Rob Blokzijl, 2009: 3)

2.4.3 Perbandingan *Header* IPv4 dan IPv6

Pada tabel 2.4 di bawah ini memperlihatkan perbedaan antara *header* IPv4 dan *header* IPv6, yaitu:

Tabel 2.4 Perbedaan *header* IPv6 dengan IPv4

Perbedaan	Field <i>Header</i> IPv4	Field <i>Header</i> IPv6
<i>Version</i>	Berisi angka 4 (0100 dalam biner)	Berisi angka 6 (0110 dalam biner).
<i>Internet Header Length</i>	Internet <i>header length</i> terdiri dari 4 bit yang berisi panjang dari <i>header</i> paket IPv4 dalam blok.	Tidak memuat <i>field Internet Header Length</i> karena <i>header</i> IPv6 selalu memiliki panjang tetap 40 byte.
<i>Type of Service</i>	Penggunaan <i>type of service</i> dapat mempengaruhi cara penanganan paket IP.	digantikan oleh <i>field Traffic Class</i> yang berfungsi seperti <i>type of service</i> pada IPv4.
<i>Total Length of Datagram</i>	Berisi informasi jumlah total <i>datagram</i> pada layer IP dan menggunakan satuan <i>byte</i> .	digantikan oleh <i>field Payload Length</i> IPv6, yang hanya mengidentifikasi ukuran <i>payload</i> .
<i>Options</i>	Penggunaan <i>option</i> dalam IPv4 menyatakan bahwa masing-masing <i>node intermediate</i> pada <i>path</i> harus memeriksa <i>field option</i> dalam <i>header</i> IPv4, meskipun <i>option</i> hanya	Dihapus dalam IPv6, digantikan oleh <i>extension header</i> IPv6 yang merupakan <i>header</i> pilihan yang tidak selalu diberikan pada paket Ipv6, diletakkan diantara <i>base header</i> IPv6 dan <i>header</i>

	berkaitan dengan <i>node</i> tujuan. Sehingga menciptakan ketidakefisienan performansi <i>router</i> ketika digunakan <i>option</i> .	protokol <i>upper layer</i> (TCP/UDP).
<i>Time-to-Live</i>	<i>field TTL</i> digunakan untuk menunjukkan jumlah detik untuk hidup/berada dalam jaringan, sehingga mencegah paket untuk dirutekan secara berputar jika terdapat rute melingkar dalam jaringan. Tetapi, dalam implementasinya, <i>field</i> ini digunakan untuk membatasi jumlah <i>hop</i> yang diijinkan bagi paket untuk disinggahi. Pada tiap <i>hop</i> , <i>router</i> mengurangi <i>field</i> ini, dan ketika mencapai nol, paket akan dibuang dari jaringan.	<i>field</i> ini diberi nama lain <i>hop limit</i> , memiliki deskripsi yang lebih tepat sesuai implementasinya.
<i>Protocol</i>	<i>Field protocol</i> yang mengandung angka yang mengidentifikasi protokol <i>upper layer</i> .	digantikan oleh <i>field Next Header</i> .
<i>Header Checksum</i>	<i>Field Header Checksum</i> digunakan untuk mempertahankan integritas <i>header IPv4</i> . Tetapi layer yang lebih tinggi menghitung <i>checksum</i> lagi untuk seluruh paket, sehingga membuat <i>field</i> ini digunakan secara berlebihan.	Dihilangkan dalam IPv6. Pada IPv6, jika aplikasi membutuhkan derajat integritas yang tinggi, deteksi <i>error</i> untuk seluruh paket dilaksanakan oleh <i>link layer</i> atau <i>layer</i> lain yang lebih tinggi.
<i>Source Address</i>	Berisi alamat pengirim paket dengan panjang alamat 32 bit	<i>Field</i> ini berperan sama seperti IPv4, menetapkan IP <i>address host</i> sumber, tetapi memiliki panjang alamat IPv6 128 bit.
<i>Destination Address</i>	Berisi alamat penerima paket dengan panjang alamat 32 bit	<i>Field</i> ini berperan sama seperti IPv4, menetapkan IP <i>address host</i> tujuan, tetapi memiliki panjang alamat IPv6 128 bit.
<i>Identification, Flags, Fragment Offset</i>	Dalam <i>header IPv4</i> , ketiga <i>field</i> ini, seluruhnya berkaitan dengan penanganan fragmentasi dan penyusunan kembali paket-paket. Dalam IPv4, <i>node intermediate</i> dapat memfragmentasi paket ketika <i>Maximum Transmission Unit</i>	Dihapus dalam IPv6. Sedangkan pemrosesan fragmentasi dalam IPv6 dilakukan hanya pada <i>node</i> sumber, dengan menggunakan <i>path MTU</i> . Selanjutnya, informasi yang berkaitan dengan fragmentasi dikodekan dalam <i>extension header fragment</i> .

	(MTU) pada <i>link outgoing</i> lebih kecil dibandingkan ukuran paket yang akan ditransmisikan pada <i>link</i> tersebut.	Sehingga, ketiga <i>field</i> ini tidak dibutuhkan dalam <i>header IPv6</i> .
<i>Flow Label</i>	Tidak ada	<i>Flow Label</i> , satu <i>field</i> baru pada <i>header IPv6</i> adalah <i>Flow Label</i> , yang tidak ditemukan dalam <i>Header IPv4</i> . <i>Field</i> ini digunakan untuk menandai aliran data tertentu yang membutuhkan penanganan khusus pada paket <i>IPv6</i> .

2.5 Parameter Performansi Aplikasi Video Streaming

2.5.1 Paket Data Aplikasi Video Streaming

Pada aplikasi *video streaming*, paket yang ditransmisikan dibedakan atas paket audio dan paket video, dimana tiap paket tersebut mempunyai besar *payload* yang berbeda. Aplikasi *video streaming* menggunakan jenis CODEC H.264/AVC untuk video dengan *bit rate* CODEC antara 64 – 384 kbps dan AMR-WB+ untuk audio dengan *bit rate* CODEC antara 5,2 – 48 kbps. Besar *payload* tiap paket audio dan video dapat dinyatakan dengan persamaan:

$$PL_a = B_{CODECA} \times f_R \quad (2-1)$$

$$PL_v = B_{CODECV} \times f_R \quad (2-2)$$

dengan:

PL_a = *payload* paket audio (bit)

PL_v = *payload* paket video (bit)

B_{CODECA} = *bit rate* CODEC *audio* (bps)

B_{CODECV} = *bit rate* CODEC *video* (bps)

f_R = *frame rate* (s)

Kemudian, *payload* *video streaming* yang akan di-*encode* diubah menjadi paket-paket yang disebut NALU (*Network Abstraction Layer Unit*). Besarnya tiap paket audio dan video aplikasi *video streaming* merupakan penjumlahan dari *payload* paket audio dan video dengan *header* NALU, RTP, UDP, dan IP. Sehingga, besar tiap paket audio dan video *streaming* yang dihasilkan dapat dinyatakan dengan:

$$Pa = PLa/PLa_{\max} \quad (2-3)$$

$$Pa\text{-size} = PLa + Pa \times (H_{NALU} + H_{RTP} + H_{UDP} + H_{IP}) \quad (2-4)$$

$$Pv = PLv/PLv_{\max} \quad (2-5)$$

$$Pv\text{-size} = PLv + Pv \times (H_{NALU} + H_{RTP} + H_{UDP} + H_{IP}) \quad (2-6)$$

dimana:

Pa = jumlah paket *audio*

PLa_{\max} = maksimum *payload* paket audio (bit)

Pv = jumlah paket *video*

PLv_{\max} = maksimum *payload* paket video (bit)

H_{NALU} = NALU header (8 bit)

Paket-paket video dan audio yang telah di-*encode* akan ditransmisikan melalui RTP (*Real Time Protocol*). Besar paket video *streaming* yang akan ditransmisikan dapat diperoleh menggunakan persamaan:

$$P_{vs\text{-size}} = Pa\text{-size} + Pv\text{-size} \quad (2-7)$$

dimana:

$P_{vs\text{-size}}$ = ukuran paket aplikasi *video streaming* (byte)

$Pa\text{-size}$ = besar paket *audio* (byte)

$Pv\text{-size}$ = besar paket *video* (byte)

H_{RTP} = header RTP (12 byte)

H_{IP} = panjang header IP (40 byte) [RFC 2460]

H_{UDP} = panjang header UDP (8 byte) [Stalling, 1997:619]

2.5.2 Bandwidth Aplikasi Video Streaming

Dalam mentransmisikan data, jika kita akan mentransmisikan data analog melalui sebuah medium, kita perlu memperhatikan *bandwidth* analog, yaitu range frekuensi yang dapat dilewati oleh suatu medium (dinyatakan dalam Hertz). Sedangkan jika kita akan mentransmisikan data digital, kita perlu memperhatikan *bandwidth* digital, yaitu maksimum bit rate yang dapat dilewati oleh suatu medium (bps). [Behrouz A. Forouzan, 2004: 65]

Bandwidth aplikasi video *streaming* dimana merupakan data digital, dinyatakan dalam bps (bit per second). *Bandwidth* aplikasi video *streaming* adalah jumlah *bandwidth* audio ditambah dengan video. Sehingga besarnya *bandwidth* aplikasi video *streaming* dapat dinyatakan dengan persamaan: [Cisco System, 2009: 4]

$$\begin{aligned}
 B_{vs} &= Ba + Bv \\
 &= \frac{Pa_{size}}{PLa} \cdot B_{CODECa} + \frac{Pv_{size}}{PLv} \cdot B_{CODECv}
 \end{aligned} \tag{2-8}$$

dimana:

- Ba = *bandwidth* audio (bps)
- Bv = *bandwidth* video (bps)
- B_{vs} = *bandwidth* aplikasi video *streaming* (bps)

2.5.3 Delay End-to-End Aplikasi Video Streaming

Delay end-to-end aplikasi video *streaming* merupakan jumlah *delay* CODEC aplikasi video *streaming* dengan *delay* jaringan dimana aplikasi tersebut berjalan. *Delay* CODEC aplikasi video *streaming* terdiri dari *delay* CODEC audio dan video untuk menghasilkan satu paket video *streaming*. Besarnya *delay* CODEC aplikasi video *streaming* dapat dihitung dengan menggunakan persamaan:

$$t_{CODEC} = t_a + t_v \tag{2-9}$$

dengan:

- t_{CODEC} = *delay* CODEC aplikasi video *streaming* (detik)
- t_a = *delay* CODEC audio (detik)
- t_v = *delay* CODEC video (detik)

Sehingga, total *delay end-to-end* penerapan aplikasi video *streaming* pada jaringan HSDPA menggunakan IPv6 dapat dihitung dengan persamaan:

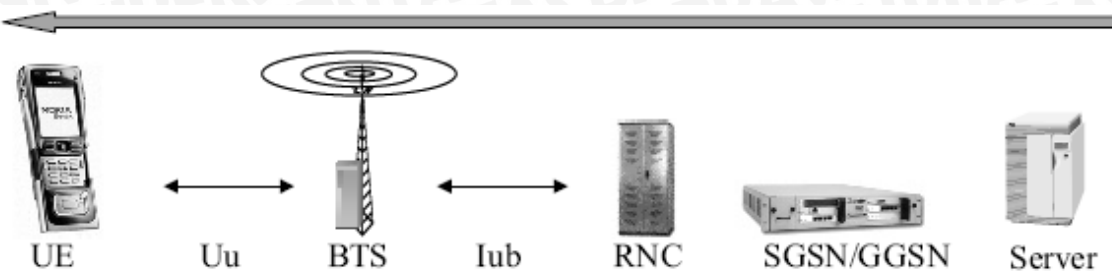
$$t_{end-to-end} = t_{CODEC} + t_{net} \tag{2-10}$$

dengan:

- t_{total} = *delay end-to-end* untuk aplikasi video *streaming* (detik)
- t_{net} = *delay* jaringan HSDPA (detik)

2.5.3.1 Delay End-to-End pada Jaringan HSDPA

Delay adalah waktu yang dibutuhkan untuk mengirimkan paket data dari sumber sampai ke tujuan. *Delay* pada jaringan HSDPA merupakan penjumlahan *delay-delay* yang ada dalam perjalanan paket dari *server* hingga ke *UE* (*User Equipment*). Besarnya *delay end-to-end* pada jaringan HSDPA untuk aplikasi video *streaming* dapat ditunjukkan dalam Gambar 2.13



Gambar 2.13 Delay End-to-End pada HSDPA

(Sumber: Hari Holma, 2006: 154)

Delay End-to-End berdasarkan Gambar dihitung dengan menggunakan persamaan:

$$t_{net} = t_{proc} + t_t + t_p + t_w \quad (2-11)$$

dimana:

t_{net} = *delay end-to-end* pada jaringan HSDPA (s)

t_{proc} = *delay* proses (s)

t_t = *delay* transmisi (s)

t_p = *delay* propagasi (s)

t_w = *delay* antrian (s)

Aplikasi video *streaming* merupakan salah satu teknologi telekomunikasi yang sangat sensitif terhadap *delay*. Sesuai dengan referensi International Telecommunications Union (ITU) G.110, batasan *delay* untuk aplikasi video *streaming* adalah < 10s seperti yang ditunjukkan pada Gambar 2.14.



Error tolerant	Conversational voice and video	Voice/video messaging	Streaming audio and video	Fax
Error intolerant	Command/control (e.g. Telnet, interactive games)	Transactions (e.g. E-commerce, WWW browsing, Email access)	Messaging, Downloads (e.g. FTP, still image)	Background (e.g. Usenet)
	Interactive (delay <<1 s)	Responsive (delay ~2 s)	Timely (delay ~10 s)	Non-critical (delay >>10 s)

T1213080-02

Gambar 2.14 Batasan Delay setiap Aplikasi Multimedia

(Sumber: ITU.T G.1010, 2001: 14)

a. Delay Proses

Delay proses merupakan waktu yang dibutuhkan untuk memproses paket data dan untuk menentukan kemana data tersebut akan diteruskan. *Delay* proses pada jaringan HSDPA meliputi *delay* enkapsulasi dan *delay* dekapsulasi.

Delay enkapsulasi adalah waktu yang dibutuhkan untuk menambahkan keseluruhan *header* pada sebuah paket sehingga paket data tersebut dapat tepat sampai ke tujuan. Sedangkan *delay* dekapsulasi adalah waktu yang dibutuhkan untuk melepaskan keseluruhan *header* dari sebuah paket. Besarnya *delay* dekapsulasi dan *delay* enkapsulasi dapat diperoleh dengan menggunakan persamaan di bawah ini [Onno W. Purbo, et al., 2001: 24]:

$$t_{enc} = \frac{W_{frame} - L}{C} \times 8 \quad (2-12)$$

$$t_{dec} = \frac{W_{frame} - L}{C} \times 8 \quad (2-13)$$

dengan:

t_{enc} = *delay* enkapsulasi (s)

t_{dec} = *delay* dekapsulasi (s)

W_{frame} = panjang *frame* (byte)

L = panjang paket data di *node* (byte)



C = kecepatan pemrosesan data (bps)

Delay enkapsulasi terjadi pada *server*, GGSN, SGSN, RNC, dan *Node B*.

Besarnya *delay* enkapsulasi didapatkan dengan menggunakan persamaan:

$$t_{enc} = t_{E1} + t_{E2} + t_{E3} + t_{E4} + t_{E5} \quad (2-14)$$

dengan:

t_{enc} = *delay* enkapsulasi total

t_{E1} = *delay* enkapsulasi pada *server*

t_{E2} = *delay* enkapsulasi pada GGSN

t_{E3} = *delay* enkapsulasi pada SGSN

t_{E4} = *delay* enkapsulasi pada RNC

t_{E5} = *delay* enkapsulasi pada *Node B*

Sedangkan *delay* dekapsulasi terjadi di setiap *node* pada jaringan HSDPA, yaitu GGSN, SGSN, RNC, *Node B*, dan UE. Besarnya *delay* dekapsulasi dapat dihitung menggunakan persamaan:

$$t_{dec} = t_{D1} + t_{D2} + t_{D3} + t_{D4} + t_{D5} \quad (2-15)$$

dengan:

t_{dec} = *delay* dekapsulasi total

t_{D1} = *delay* dekapsulasi pada GGSN

t_{D2} = *delay* dekapsulasi pada SGSN

t_{D3} = *delay* dekapsulasi pada RNC

t_{D4} = *delay* dekapsulasi pada *Node B*

t_{D5} = *delay* dekapsulasi pada UE

Nilai *delay* proses pada jaringan HSDPA untuk aplikasi video *streaming* dapat diperoleh dengan menggunakan persamaan:

$$t_{proc} = t_{enc} + t_{dec} \quad (2-16)$$

dengan:

t_{proc} = *delay* proses

t_{enc} = *delay* enkapsulasi total

t_{dec} = *delay* dekapsulasi total

Sedangkan, *delay* proses pada jaringan HSDPA yang berbasis IPv4 perlu ditambahkan *delay header checksum* sesuai dengan persamaan:

$$t_{checksum} = N_{packet-IP} \times T \quad (2-17)$$

dengan:

t_{checksum} = *delay header checksum* (s)

$N_{\text{packet-IP}}$ = jumlah paket IP yang ditransmisikan

T = waktu pemrosesan setiap *header checksum* (s)

➤ *Server*

Pada server terjadi proses enkapsulasi sebelum paket data ditransmisikan ke GGSN. Paket data video streaming diberi penambahan header RTP, UDP, IPv6 seperti dijelaskan sebelumnya. Apabila panjang paket video *streaming* melebihi *Maximum Transfer Unit* (MTU) *Ethernet* sebesar 1500 byte, maka paket video *streaming* akan mengalami fragmentasi menjadi beberapa buah frame sesuai dengan persamaan:

$$N_{\text{frame Ethernet}} = \frac{P_{\text{VS-size}}}{MTU_{\text{ethernet}}} \quad (2-18)$$

dengan:

$N_{\text{frame Ethernet}}$ = jumlah *frame Ethernet*

MTU_{ethernet} = MTU *Ethernet* (1500 byte)

Sehingga jumlah total *frame* pada *server* yang dapat dikirimkan ke GGSN sesuai dengan persamaan:

$$W_{\text{vs}} = P_{\text{vs-size}} + [N_{\text{frame Ethernet}} \times (H_{\text{ethernet}} + FCS)] \quad (2-19)$$

Dalam skripsi ini, pada *server* digunakan standar *interface Gigabit Ethernet* dengan kecepatan 1 Gbps. Sehingga *delay* enkapsulasi pada *server* didapatkan dengan persamaan berikut:

$$t_{E1} = \frac{W_{\text{frame server}} - P_{\text{vs-size}}}{C_{\text{server}}} \times 8 \quad (2-20)$$

dengan:

t_{E1} = *delay* enkapsulasi pada *server* (s)

$W_{\text{frame server}}$ = panjang frame pada *server* (byte)

C_{server} = kecepatan pemrosesan data pada *server* (bps)



➤ **Gateway GPRS Support Node (GGSN)**

Pada GGSN, paket data yang diterima dari *server* mengalami proses dekapsulasi. Kemudian, sebelum paket data aplikasi video *streaming* ditransmisikan ke SGSN, dilakukan proses enkapsulasi terlebih dahulu.

Pada proses dekapsulasi, paket data aplikasi video *streaming* didapatkan sesuai dengan persamaan:

$$W_{VS\ GGSN} = W_{frame\ server} - H_{UDP} - H_{IPv6} - H_{Ethernet} - FCS \quad (2-21)$$

Dengan mengasumsikan GGSN menggunakan standar *Fast Ethernet* dengan kecepatan 100 Mbps, maka besarnya *delay* dekapsulasi pada GGSN didapatkan sesuai dengan persamaan:

$$t_{D1} = \frac{W_{frame\ server} - W_{VS\ GGSN}}{C_{GGSN}} \times 8 \quad (2-22)$$

dengan:

t_{D1} = *delay* dekapsulasi pada GGSN (s)

$W_{VS\ GGSN}$ = panjang paket data video *streaming* di GGSN (byte)

C_{GGSN} = kecpatan pemrosesan data di GGSN (bps)

Besar MSS dapat diperoleh sesuai dengan persamaan berikut:

$$MSS = MTU - H_{GTP} - H_{UDP} - H_{IP} \quad (2-23)$$

Selanjutnya, paket data yang melebihi MSS akan disegmentasi menggunakan persamaan berikut

$$N_{datagram} = \frac{W_{vs-GGSN}}{MSS} \quad (2-24)$$

Kemudian, paket data aplikasi video *streaming* dienkapsulasi dengan penambahan *header* GTP (*GPRS Tunneling Protocol*), UDP (*User Datagram Protocol*), dan IP (*Internet Protocol*) sesuai dengan persamaan berikut:

$$W_{datagram} = W_{VS\ GGSN} + N_{datagram} \times (H_{GTP} + H_{UDP} + H_{IPv6}) \quad (2-25)$$

Karena panjang datagram IP melebihi *Maximum Transfer Unit* (MTU) *Ethernet* (1500 byte), maka datagram IP akan mengalami fragmentasi menjadi beberapa buah frame sesuai dengan persamaan:

$$N_{frame\ Ethernet} = \frac{W_{datagram\ IP}}{MTU_{ethernet}} \quad (2-26)$$



Sehingga, jumlah total *frame* pada GGSN yang dapat dikirimkan ke SGSN sesuai dengan persamaan:

$$W_{\text{frame GGSN}} = W_{\text{datagram}} + [N_{\text{frame Ethernet}} \times (H_{\text{Ethernet}} + FCS)] \quad (2-27)$$

Sehingga *delay* enkapsulasi pada GGSN didapatkan dengan persamaan:

$$t_{E2} = \frac{W_{\text{frame GGSN}} - W_{\text{VSGSN}}}{C_{\text{GGSN}}} \times 8 \quad (2-28)$$

dengan:

t_{E2} = *delay* enkapsulasi pada GGSN (s)

$W_{\text{frame GGSN}}$ = panjang *frame* di GGSN (byte)

C_{GGSN} = kecepatan pemrosesan data di GGSN (bps)

➤ *Serving GPRS Support Node (SGSN)*

Pada SGSN, paket data yang diterima dari GGSN mengalami proses dekapsulasi. Kemudian, sebelum paket data aplikasi video *streaming* ditransmisikan ke RNC, dilakukan proses enkapsulasi terlebih dahulu.

Paket data yang diterima dari GGSN mengalami proses dekapsulasi pada SGSN sesuai dengan persamaan:

$$W_{\text{VS SGSN}} = W_{\text{frameGGSN}} - H_{\text{GTP}} - H_{\text{UDP}} - H_{\text{IPv6}} - H_{\text{Ethernet}} - FCS \quad (2-29)$$

Dengan mengasumsikan bahwa SGSN menggunakan standar *Fast Ethernet* dengan kecepatan data 100 Mbps, maka besarnya *delay* dekapsulasi didapatkan dengan menggunakan persamaan:

$$t_{D2} = \frac{W_{\text{frameGGSN}} - W_{\text{VS SGSN}}}{C_{\text{SGSN}}} \times 8 \quad (2-30)$$

dengan:

t_{D2} = *delay* dekapsulasi pada SGSN (s)

$W_{\text{VS SGSN}}$ = panjang paket data video *streaming* di SGSN (byte)

$H_{\text{headerGTP}}$ = panjang *header* GTP (8 byte)

C_{GGSN} = kecepatan pemrosesan data pada GGSN (bps)

Besar MSS dapat diperoleh sesuai dengan persamaan berikut:

$$MSS = MTU - H_{\text{GTP}} - H_{\text{UDP}} - H_{\text{IP}} \quad (2-31)$$

Selanjutnya, paket data yang melebihi MSS akan disegmentasi menggunakan persamaan berikut



(2-32)

$$N_{\text{datagram}} = \frac{W_{\text{vs-GGSN}}}{MSS}$$

Kemudian, paket data aplikasi video *streaming* ditambahkan dengan *header* GTP, UDP, dan IP.

$$W_{\text{datagram}} = W_{\text{VS SGSN}} + N_{\text{datagram}} \times (H_{\text{GTP}} + H_{\text{UDP}} + H_{\text{IP}}) \quad (2-33)$$

Setelah itu, saat memasuki lapisan AAL5, paket data tersebut dibentuk menjadi CPCS PDU (*Common Part Convergence Sublayer Protocol Data Unit*) kemudian dibentuk menjadi blok-blok PDU SAR (*Segmentation and Reassembly Sublayer*). Selanjutnya, besar paket data total pada CPCS-PDU diperoleh dengan menggunakan persamaan adalah sebagai berikut:

$$W_{\text{CPCS-PDU total}} = W_{\text{datagram}} + N_{\text{CPCS-PDU}} \times H_{\text{CPCS-PDU}} \quad (2-34)$$

Kemudian, *frame* CPCS-PDU dipecah menjadi blok-blok *payload* PDU SAR (*Segmentation and Reassembly Sublayer*) sebesar 48 byte, yang kemudian diteruskan menuju layer ATM. Sehingga banyaknya *frame* ATM yang terbentuk sesuai dengan persamaan berikut:

$$N_{\text{frame ATM}} = \frac{W_{\text{frame CPCS-PDU}}}{48 \text{ byte}} \quad (2-35)$$

dengan:

$W_{\text{CPCS-PDU}}$ = panjang *frame* CPCS-PDU (byte)

$H_{\text{CPCS-PDU}}$ = *header* CPCS-PDU (byte)

$N_{\text{frame ATM}}$ = jumlah *frame* ATM

Setiap *frame* ATM diberi *header* sebesar 5 byte sehingga panjang *frame* ATM menjadi 53 byte. Panjang *frame* yang siap ditransmisikan menuju GGSN merupakan panjang *frame* ATM total sesuai dengan persamaan:

$$W_{\text{frame SGSN}} = N_{\text{frame ATM}} \times W_{\text{frame ATM}} \quad (2-36)$$

Sehingga, *delay* enkapsulasi yang terjadi pada SGSN didapatkan dengan persamaan:

$$t_{E3} = \frac{W_{\text{frame SGSN}} - W_{\text{VSSGSN}}}{C_{\text{SGSN-RNC}}} \times 8 \quad (2-37)$$

dengan:

t_{E3} = *delay* enkapsulasi pada SGSN (s)

$W_{\text{frame SGSN}}$ = panjang *frame* di SGSN (byte)



$C_{SGSN-RNC}$ = kecepatan pemrosesan data pada SGSN-RNC (bps)

➤ **Radio Network Controller (RNC)**

Pada RNC, paket data yang diterima dari SGSN mengalami proses dekapsulasi. Kemudian, sebelum paket data aplikasi video *streaming* ditransmisikan ke *Node B*, dilakukan proses enkapsulasi terlebih dahulu.

Paket data yang diterima dari SGSN mengalami proses dekapsulasi pada RNC sesuai dengan persamaan:

$$W_{VS\ RNC} = W_{frame\ SGSN} - H_{GTP} - H_{UDP} - H_{IPv6} - H_{AAL5} \quad (2-38)$$

Pada RNC, digunakan *interface* sistem transmisi ATM STM-1 (*Synchronous Transport Module-1*) yang memberikan kecepatan data sebesar 155,52 Mbps. Nilai *delay* dekapsulasi pada RNC didapatkan dengan persamaan:

$$t_{D3} = \frac{W_{frame\ SGSN} - W_{VS\ RNC}}{C_{RNC}} \times 8 \quad (2-39)$$

dengan:

t_{D3} = *delay* dekapsulasi pada RNC (s)

$W_{VS\ RNC}$ = panjang paket data video *streaming* pada RNC (byte)

C_{RNC} = kecepatan pemrosesan data pada RNC (bps)

Pada layer PDCP (*Packet Data Convergence Protocol*), paket datagram IP aplikasi video *streaming* dienkapsulasi sesuai dengan persamaan:

$$N_{datagram} = \frac{W_{vs-RNC}}{1500} \quad (2-40)$$

Besar frame total pada layer PDCP dapat dihitung sesuai dengan persamaan:

$$W_{frame\ PDCP} = W_{VS\ RNC} + H_{PDCP} \quad (2-41)$$

Selanjutnya pada layer RLC (*Radio Link Control*), frame PDCP disegmentasi menjadi RLC PDU *fixed size* sebesar 40 byte. Sehingga jumlah frame RLC sesuai dengan persamaan:

$$N_{frame\ RLC} = \frac{W_{frame\ PDCP}}{40\ byte} \quad (2-42)$$

Setiap frame selanjutnya diberi *header* sebesar 2 byte, sehingga panjang setiap frame RLC sebesar 42 byte. Panjang frame RLC total yang siap

diteruskan ke *layer MAC-d* (*Medium Acces Control-dedicated*) sesuai dengan persamaan berikut:

$$W_{frame RLC \ total} = N_{frame RLC} \times W_{frame RLC} \quad (2-43)$$

dengan:

$W_{frame PDCP}$ = panjang *frame PDCP* (byte)

$header_{PDCP}$ = panjang *header PDCP* (1 byte)

$N_{frame RLC}$ = jumlah frame pada RLC

$W_{frame RLC \ total}$ = panjang *frame RLC total* (byte)

$W_{frame RLC}$ = panjang *frame RLC* (42 byte)

Pada *layer MAC-d*, RLC PDU disegmentasi menjadi MAC-d SDU (*Service Data Unit*) sebesar 42 byte. Jumlah *frame MAC-d SDU* sesuai dengan persamaan:

$$N_{frame MAC-d} = \frac{W_{frame RLC \ total}}{42 \text{ byte}} \quad (2-44)$$

Sedangkan panjang *frame MAC-d* dihitung dengan persamaan:

$$W_{frame MAC-d} = H_{MAC-d} + 42 \text{ byte} \quad (2-45)$$

Kemudian, *frame MAC-d* dienkapsulasi pada HS-DSCH FP (*High Speed Downlink Shared Channel-Frame Protocol*) dengan penambahan *header FP* dan CRC (*Cyclic Redundancy Check*) sesuai dengan persamaan:

$$W_{frame FP} = W_{frame MAC-d} + H_{FP} + \text{CRC} \quad (2-46)$$

Panjang *frame HS-DSCH FP* total diperoleh dengan persamaan:

$$W_{frame FP \ total} = N_{frame MAC-d} \times W_{frame FP} \quad (2-47)$$

dengan:

$N_{frame MAC-d}$ = jumlah *frame MAC-d*

$W_{frame MAC-d}$ = panjang *frame MAC-d* (byte)

$Header_{MAC-d}$ = panjang *header MAC-d* (3 byte)

$W_{frame FP}$ = panjang *frame HSDSCH-FP* (byte)

$Header_{FP}$ = panjang *header HSDSCH-FP* (7 byte)

CRC = *Cyclic Redundancy Check* (2 byte)

$W_{frame FP \ total}$ = panjang *frame HSDSCH-FP total* (byte)



Saat memasuki lapisan AAL2, paket data tersebut dibentuk menjadi CPS (*Common Part Sublayer*) dan blok-blok PDU SAR. Banyaknya paket data pada CS PDU dapat diperoleh dengan persamaan berikut:

$$N_{CS-PDU} = \frac{W_{frame FP total}}{24} \quad (2-48)$$

Selanjutnya, besar paket data total pada CPCS-PDU diperoleh dengan menggunakan persamaan 2-50 sebagai berikut

$$W_{CS-PDU \text{ total}} = W_{frame FP total} + (N_{CPCS-PDU} \times H_{CPCS-PDU}) \quad (2-49)$$

Kemudian, *frame* CS-PDU dipecah menjadi blok-blok *payload* PDU SAR (*Segmentation and Reassembly Sublayer*) sebesar 47 byte

$$N_{SAR-PDU} = \frac{W_{frame CS-PDU}}{47 \text{ byte}} \quad (2-50)$$

Selanjutnya, setiap blok PDU SAR ditambahkan header sebesar 1 byte sehingga besar setiap blok PDU SAR menjadi 48 byte. Besar paket data pada PDU SAR dapat diperoleh menggunakan persamaan adalah sebagai berikut:

$$W_{frame PDU SAR} = N_{SAR-PDU} \times 48 \text{ byte} \quad (2-51)$$

Pada layer ATM, *frame* AAL2 dipecah menjadi *fixed cell* ATM sebesar 48 byte. Sehingga banyaknya frame ATM yang terbentuk sesuai dengan persamaan:

$$N_{frame ATM} = \frac{W_{frame PDU-SAR}}{48 \text{ byte}} \quad (2-52)$$

dengan:

$W_{frame AAL2}$ = panjang *frame* AAL2 (byte)

$Header_{AAL2}$ = panjang header AAL2 (3 byte)

$N_{frame ATM}$ = jumlah *frame* ATM pada RNC

Setiap *frame* ATM diberi header sebesar 5 byte. Panjang *frame* yang siap ditransmisikan menuju GGSN merupakan panjang *frame* ATM total sesuai dengan persamaan:

$$W_{frame RNC} = N_{frame ATM} \times W_{frame ATM} \quad (2-53)$$

Sehingga, besar *delay* dekapsulasi yang terjadi pada RNC didapatkan dengan persamaan berikut:

$$t_{E4} = \frac{W_{frame RNC} - W_{VSRNC}}{C_{RNC}} \times 8 \quad (2-54)$$



dengan:

t_{E4} = delay enkapsulasi pada RNC (s)

$W_{frame\ RNC}$ = panjang frame pada RNC (byte)

C_{RNC} = kecepatan pemrosesan data pada RNC (bps)

➤ **Node B**

Pada *Node B*, paket data yang diterima dari RNC mengalami proses dekapsulasi. Kemudian, sebelum paket data aplikasi video *streaming* ditransmisikan ke UE, dilakukan proses enkapsulasi terlebih dahulu.

Paket data yang diterima dari RNC mengalami proses dekapsulasi pada *Node B* sesuai dengan persamaan:

$$W_{VS\ NodeB} = W_{frame\ RNC} - H_{ATM} - H_{AAL2} - H_{FP} - CRC \quad (2-55)$$

Node B menggunakan *interface STM-1* dengan kecepatan 155,52 Mbps.

Maka besarnya delay dekapsulasi didapatkan dengan menggunakan persamaan:

$$t_{D4} = \frac{W_{frame\ RNC} - W_{VS\ NodeB}}{C_{NodeB}} \times 8 \quad (2-56)$$

dengan:

t_{D4} = delay dekapsulasi pada *Node B* (s)

$W_{VS\ NodeB}$ = panjang paket data video *streaming* di *Node B* (byte)

$C_{Node\ B}$ = kecepatan pemrosesan data pada *Node B* (bps)

Pada layer MAC-hs, beberapa frame MAC PDU dan header MAC-hs dibentuk menjadi satu TBS (*transport block size*) sebesar 7298 bits [HSDPA by Siemens, 2004: 17]. Banyaknya TBS yang akan ditransmisikan menuju UE adalah sebagai berikut:

$$N_{TBS} = \frac{W_{VS\ NodeB}}{7298\ bit} \times 8 \quad (2-57)$$

Selanjutnya, setiap TBS ditambahkan header CRC sebesar 2 byte. Panjang frame yang siap ditransmisikan menuju UE sesuai dengan persamaan:

$$W_{frame\ Node\ B} = W_{VS\ Node\ B} + N_{TBS} \times CRC \quad (2-58)$$

dengan:

N_{TBS} = jumlah TBS

$W_{frame\ Node\ B}$ = panjang frame MAC-hs (byte)



CRC = Cyclic Redundancy Check (2 byte)

Sehingga, *delay* enkapsulasi yang terjadi pada SGSN didapatkan dengan persamaan berikut:

$$t_{E5} = \frac{W_{frame\ Node\ B} - W_{VSNodeB}}{C_{NodeB}} \times 8 \quad (2-59)$$

dengan:

t_{E5} = *delay* enkapsulasi pada *Node B* (s)

$W_{frame\ Node\ B}$ = panjang *frame* pada *Node B* (byte)

$C_{Node\ B}$ = kecepatan pemrosesan data pada *Node B* (bps)

➤ *User Equipment (UE)*

Pada UE, paket data yang diterima dari *Node B* mengalami proses dekapsulasi. Proses dekapsulasi pada UE sesuai dengan persamaan:

$$W_{VS\ UE} = W_{frame\ Node\ B} - H_{RTP} - H_{UDP} - H_{IP} - H_{PDCP} - H_{RLC} - H_{MAC-d} - H_{MAC-hs} - CRC \quad (2-60)$$

Dengan mengasumsikan kategori UE adalah kategori 5 sesuai Tabel 2.1 dengan *data rate* maksimum sebesar 3,6 Mbps, maka besarnya *delay* dekapsulasi yang terjadi di UE didapatkan dengan persamaan:

$$t_{D5} = \frac{W_{frame\ Node\ B} - W_{VSUE}}{C_{UE}} \times 8 \quad (2-61)$$

dengan:

t_{D5} = *delay* dekapsulasi pada UE (s)

$W_{VS\ UE}$ = panjang paket data video *streaming* pada UE (byte)

C_{UE} = kecepatan pemrosesan data pada UE (bps)

b. *Delay Transmisi*

Delay transmisi adalah waktu yang dibutuhkan untuk meletakkan sebuah paket data ke media transmisi. Dipengaruhi ukuran paket data dan kecepatan transmisi. *Delay transmisi* dapat ditentukan dengan persamaan [Mischa Schwartz, 1987 : 132]:

$$t_T = \frac{W}{C} \quad (2-62)$$



Sehingga *delay* transmisi total ditentukan dengan persamaan:

$$t_{T \text{ tot}} = t_{T1} + t_{T2} + t_{T3} + t_{T4} \quad (2-63)$$

dimana:

$t_{T \text{ tot}}$ = *delay* transmisi total (s)

W = panjang *frame* pada *node* (bit)

C = kecepatan transmisi (bps)

t_{T1} = *delay* transmisi pada GGSN-SGSN (s)

t_{T2} = *delay* transmisi pada SGSN-RNC (s)

t_{T3} = *delay* transmisi pada RNC-Node B(s)

t_{T4} = *delay* transmisi pada Node B-UE (s)

c. Delay Propagasi

Delay propagasi adalah waktu yang dibutuhkan untuk merambatkan paket data melalui media transmisi dari SGSN ke UE. *Delay* propagasi ditentukan dengan persamaan [Forouzan, Behrouz A, 2000 : 215]:

$$t_p = \frac{N_{\text{frame}} \times R}{v} \quad (2-64)$$

Sehingga *delay* propagasi total ditentukan dengan persamaan:

$$t_{p \text{ tot}} = t_{p1} + t_{p2} + t_{p3} + t_{p4} \quad (2-65)$$

dimana:

$t_{p \text{ tot}}$ = *delay* propagasi (s)

N_{frame} = jumlah *frame* pada *node*

R = jarak antar *node* (m)

v = cepat rambat gelombang di cahaya = 3×10^8 (m/s)

t_{p1} = *delay* propagasi pada GGSN-SGSN (s)

t_{p2} = *delay* propagasi pada SGSN-RNC (s)

t_{p3} = *delay* propagasi pada RNC-BTS(s)

t_{p4} = *delay* propagasi pada BTS-UE (s)

Berikut ini merupakan referensi jarak antar *node* pada jaringan HSDPA ditunjukkan pada Tabel 2.5.

Tabel 2.5 Jarak tiap *node* pada HSDPA

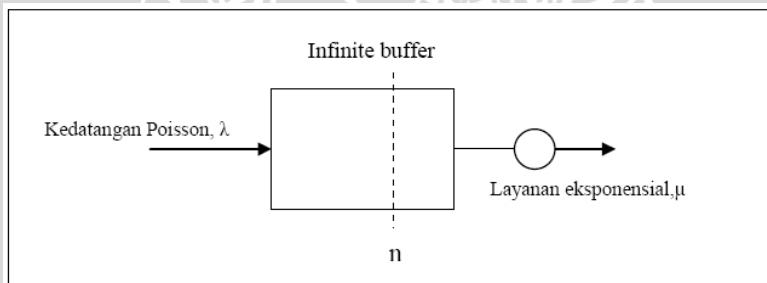
Node	Jarak (m)
GGSN – SGSN	2000
SGSN – RNC	3000
RNC – Node B	400

(Sumber: PT. Indosat, Tbk KPI Surabaya dalam Linda Ekowati, 2008:68)

d. Delay Antrian

Delay antrian adalah waktu dimana paket data berada dalam antrian untuk ditransmisikan. Selama waktu ini, paket data menunggu hingga paket yang lain selesai ditransmisikan. *Delay* antrian dapat dihitung dengan menggunakan model antrian M/M/1. M pertama menunjukkan kedatangan Poisson, M kedua berarti distribusi waktu pelayanan eksponensial, dan 1 menunjukkan 1 menunjukkan jumlah server yang akan melayani pelanggan.

Disiplin antrian yang digunakan adalah FIFO (*First In First Out*). Bentuk model antrian M/M/1 dapat dilihat pada Gambar 2.15.

**Gambar 2.15** Model antrian M/M/1

(Sumber: Mischa Schwartz, 1987:31)

Delay antrian terjadi pada setiap *node* pada jaringan HSDPA, yaitu GGSN, SGSN, Node B, dan RNC. Besarnya *delay* antrian pada *node* ditentukan dengan persamaan [Mischa Schwartz, 1987 : 42]:

$$t_w = t_{queue} + t_{serv} \quad (2-66)$$

dengan:

t_w = *delay* antrian (s)t_{queue} = waktu tunggu paket pada *node* (s)t_{serv} = waktu rata-rata pelayanan *node* (s)

Perhitungan waktu rata-rata pelayanan antrian data di *node* (t_{serv}) dihitung dengan menggunakan persamaan [Mischa Schwartz, 1987 : 23]:

$$t_{\text{serv}} = \frac{L}{C} \quad (2-67)$$

dengan:

μ = kecepatan pelayanan *node* (bps)

L = panjang paket data di *node* (bit)

C = kecepatan transmisi pada *node* (bps)

Sedangkan waktu tunggu paket pada *router* (t_{queue}) dihitung dengan menggunakan persamaan [Mischa Schwartz, 1987 : 42]:

$$t_{\text{queue}} = \frac{\lambda}{\mu^2(1-\rho)} \quad (2-68)$$

Untuk performansi sistem antrian, ditunjukkan dalam bentuk ρ (faktor utilisasi), yang nilainya diasumsikan berubah-ubah dengan kenaikan tertentu. Faktor utilisasi bernilai lebih besar dari 0 dan lebih kecil dari 1 dengan kenaikan sebesar 0,1. Hal ini disebabkan karena jika $\rho > 1$ berarti rata-rata kedatangan melampaui rata-rata pelayanan atau server tidak dapat menjaga rata-rata kedatangan dan panjang antrian yang bertambah tanpa batas. Besarnya faktor utilisasi dapat dihitung dengan menggunakan persamaan:

$$\rho = \frac{\lambda}{\mu} \implies \lambda = \mu\rho \quad (2-69)$$

Sehingga dari persamaan 2.61 dan 2.62 *delay* antrian dapat ditentukan dengan persamaan:

$$t_w = \frac{\lambda}{\mu(\mu - \lambda)} + \frac{1}{\mu} \quad (2-70)$$

dengan:

t_{queue} = waktu tunggu paket pada *node* (s)

λ = kecepatan kedatangan paket pada *node* (bps)

ρ = faktor utilitas ($0 < \rho < 1$)

μ = kecepatan pelayanan *node* (bps)

Sehingga *delay* antrian total ditentukan dengan persamaan:

$$t_{w \text{ tot}} = t_{w1} + t_{w2} + t_{w3} + t_{w4} \quad (2-71)$$

dengan:

- $t_{w\text{ tot}} = \text{delay antrian total (s)}$
 $t_{w1} = \text{delay antrian pada GGSN (s)}$
 $t_{w2} = \text{delay antrian pada SGSN (s)}$
 $t_{w3} = \text{delay antrian pada RNC (s)}$
 $t_{w4} = \text{delay antrian pada Node B (s)}$

2.5.4 Probabilitas *Packet Loss* pada Aplikasi *Video Streaming*

Paket *loss* adalah jumlah paket yang hilang dibandingkan dengan paket yang diterima benar. Umumnya perangkat jaringan memiliki *buffer* untuk menampung data yang diterima. Jika terjadi tabrakan yang cukup banyak, *buffer* akan penuh, dan data baru tidak dapat diterima. Paket yang hilang ini harus ditransmisi ulang, yang akan membutuhkan waktu tambahan. Prosentase *packet loss* maksimum yang diperbolehkan oleh ITU.T G.1010 untuk aplikasi *video streaming* adalah < 1%. Apabila packet loss yang dihasilkan melebihi 1%, kualitas *video streaming* akan buruk.

Probabilitas *packet loss* total penerapan aplikasi *video streaming* pada suatu jaringan, ditentukan berdasarkan pada probabilitas *packet loss* pada jaringan HSDPA dan server. Probabilitas *packet loss* aplikasi *video streaming* yang berbasis protokol UDP/RTP/IP seperti pada persamaan

$$\rho_{\text{tot}} = 1 - [(1 - \rho_{\text{network}})(1 - \rho_{\text{vs}})] \quad (2-72)$$

dimana:

ρ_{tot} = probabilitas *packet loss* video *streaming*

ρ_{network} = probabilitas *packet loss* pada jaringan HSDPA

ρ_{vs} = probabilitas *packet loss* pada *server*

Prosentase *packet loss* ditentukan dengan Persamaan 2-72 (Wijaya Hendra A, 2005 : 34) :

$$\text{packet loss}(\%) = \frac{N_{\text{packet loss}}}{N_{\text{paket}} + N_{\text{packet loss}}} \times 100 \% \quad (2-73)$$

dengan :

$N_{\text{packet loss}}$ = jumlah paket yang hilang

N_{paket} = jumlah paket yang diterima dengan benar

2.5.4.1 Probabilitas Packet Loss pada Server

Protokol UDP/RTP/IPv6 sendiri tidak dapat memberikan jaminan bahwa paket akan dikirimkan semua sesuai dengan permintaan. *Packet loss* yang terjadi pada server di *layer transport* dan *layer network* dapat dihitung dengan persamaan:

$$\rho_{VS} = P_{VS-size} \times \rho_b \quad (2-74)$$

dimana:

ρ_{VS} = probabilitas *packet loss* pada server

ρ_b = BER (10^{-8})

$P_{VS-size}$ = panjang paket data video *streaming* (byte)

2.5.4.2 Probabilitas Packet Loss pada Jaringan HSDPA

Probabilitas packet loss pada Jaringan HSDPA dapat diperoleh dari probabilitas bit error rate (BER) di jaringan tersebut, sesuai dengan persamaan:

$$\rho_{HSDPA} = P_{VStot} \times \rho_{b-HSDPA} \quad (2-75)$$

dimana:

ρ_{VS} = probabilitas *packet loss* pada jaringan HSDPA

ρ_b = BER HSDPA pada saat transmisi (tanpa satuan)

$P_{VS-size}$ = panjang paket video *streaming* yang ditransmisikan pada jaringan HSDPA (byte)

BER (*bit error rate*) atau dengan sebutan lain probabilitas *error* bit merupakan nilai ukur kualitas sinyal yang diterima untuk sistem transmisi data digital. BER juga dapat didefinisikan sebagai perbandingan jumlah bit *error* terhadap total bit yang diterima. Nilai BER untuk modulasi 16QAM pada jaringan HSDPA dapat dihitung dengan persamaan [Andrea Goldsmith, 2005:167]:

$$P_b = \frac{4}{\sqrt{M} \cdot \log_2 M} \cdot Q \left(\sqrt{\frac{3 \frac{E_b}{N_o} \log_2 M}{M - 1}} \right) \quad (2-76)$$

dengan:

P_b = BER HSDPA pada saat transmisi (tanpa satuan)

M = ukuran konstelasi sinyal

$$\frac{Eb}{No} = \text{ratio energy bit terhadap kerapatan noise pada saat transmisi (dB)}$$

Nilai M dipengaruhi oleh jenis modulasi yang digunakan. Untuk modulasi untuk modulasi 16-QAM dimana jumlah bit dalam 1 simbol adalah 4 bit, nilai $M = 2^4 = 16$. Sedangkan, nilai Q dapat diperoleh dengan distribusi Gaussian menggunakan persamaan [John G. Proakis, 2000: 40]:

$$Q(x) = \frac{1}{2} \operatorname{erfc}\left(\frac{x}{\sqrt{2}}\right) \quad (2.77)$$

$$\operatorname{erfc}(x) \approx \frac{1}{\sqrt{\pi x}} \cdot e^{-x^2} \quad (2.78)$$

dengan:

erfc : error function complementary

Eb/No adalah suatu parameter yang berhubungan dengan SNR yang biasanya digunakan untuk menentukan laju data digital dan sebagai ukuran mutu standar untuk kinerja sistem komunikasi digital. Hubungan SNR dengan Eb/No ditunjukkan dalam persamaan:

$$\frac{Eb}{No} (\text{dB}) = \frac{S}{N} - 10 \log \frac{B}{R} \quad (2.79)$$

dengan :

PG = processing gain (dB)

Besarnya pengaruh redaman sinyal terhadap sinyal yang ditransmisikan dapat dinyatakan dengan perbandingan antara sinyal dengan noise (SNR) yang dinyatakan dalam persamaan berikut [E. Glatz, 1999]:

$$SNR_{(\text{dB})} = P_r (\text{dBm}) - N_o (\text{dBm}) \quad (2.80)$$

dengan :

SNR = signal to noise ratio (dB)

P_r = daya yang diterima (dBm)

N_o = daya noise saluran transmisi (dBm)

Sedangkan untuk perhitungan daya noise dinyatakan dalam persamaan berikut [E. Glatz, 1999]:

$$N_o (\text{dBm}) = 10 \log k \cdot T + 10 \log B + NF \quad (2.81)$$

dengan :

N_o = daya noise saluran transmisi (dBm)



k = konstanta Boltzman ($1,38 \times 10^{-23}$ J/K)

T = suhu *absolute* (300° K)

NF = *noise figure* (11,2 dB)

B = *bandwidth* (Hz)

Daya yang diterima oleh penerima sangat dipengaruhi oleh propagasi sinyal dari pemancar ke penerima. Sehingga daya yang diterima dapat dinyatakan dalam persamaan berikut [Robert G. Winch, 1998: 184] :

$$P_r (\text{dBm}) = P_t - FSL - L_t - L_r + G_r + G_t \quad (2-82)$$

Sedangkan nilai FSL (*Free Space Loss*) dapat diperoleh menggunakan persamaan berikut [Andrea Goldsmith, 2005: 49]

$$FSL = -20 \log\left(\frac{\lambda}{4\pi d}\right) \quad (2-83)$$

dengan:

P_r : daya terima *receiver* (dBm)

P_t : daya pancar *transmitter* (dBm)

FSL : *free space loss* (dB)

L_t : *transmitter losses (cable loss)* (dB)

L_r : *receiver losses (body loss)* (dB)

G_r : *gain receiver* (dBi)

G_t : *gain transmitter* (dBi)

λ : Panjang gelombang (m)

f : Frekuensi kerja sistem (Hz)

d : jarak antara pemancar dan penerima (m)

c : kecepatan cahaya (3×10^8 m/s)

2.5.5 *Throughput*

Throughput adalah kecepatan maksimum jaringan saat tidak ada data yang hilang pada pentransmisianya atau banyaknya data yang diterima dengan benar oleh *user*. *Throughput* yang mungkin didapat dengan memperhatikan probabilitas paket diterima dalam keadaan salah dapat dihitung dengan persamaan [Mischa Schwartz, 1987:129]



$$T = \frac{1}{t_v} = \frac{(1 - \rho_{tot})}{t_l[1 + (\alpha - 1)\rho_{tot}]} \quad (2-84)$$

dimana:

T = throughput (bps)

t_v = waktu rata-rata transmisi untuk mengirimkan paket yang benar (s)

t_l = waktu transmisi sebuah paket data atau *frame* (s)

ρ_{tot} = probabilitas frame yang salah

α = konstanta

Sedangkan parameter α dapat dihitung dengan persamaan [Mischa Schwartz, 1987:129]:

$$t_T = t_l + t_{out} \quad (2-85)$$

dan:

$$\alpha = \frac{t_T}{t_l} = 1 + \frac{t_{out}}{t_l} \quad (2-86)$$

dengan:

t_T = waktu total yang dibutuhkan untuk mentransmisikan sebuah paket (s)

t_l = waktu yang dibutuhkan untuk mentransmisikan sebuah paket (s)

t_{out} = waktu yang dibutuhkan untuk menerima *acknowledge* atau interval waktu

antara pengiriman sebuah paket dengan pengiriman paket selanjutnya/*fixed timed out interval* (s)

Waktu transmisi *frame* (t_l) ditentukan dengan persamaan [Mischa Schwartz, 1987:132]:

$$t_l = \frac{PL_{frame} + H_{frame} \times 8}{C_{trans}} \quad (2-87)$$

dengan:

PL_{frame} = *payload frame* (byte)

H_{frame} = *header frame* (byte)

C_{trans} = kecepatan transmisi node (bps)

Sedangkan waktu yang dibutuhkan untuk menerima *acknowledge* dapat dihitung dengan menggunakan persamaan [Mischa Schwartz, 1987:129]:

$$t_{out} = 2t_p + 2t_I + t_{pro} \quad (2-88)$$

dengan:

t_{out} = waktu yang dibutuhkan untuk menerima *acknowledge/fixed timed out interval* (s)



t_p = delay propagasi untuk satu *frame* (s)

t_{pro} = delay proses total untuk satu *frame* (s)

Nilai dari t_{pro} dan t_p dapat dihitung sesuai dengan persamaan:

$$t_{pro} = \frac{t_{proc}}{N_{frame}} + \frac{t_{wtotal}}{N_{frame}} \quad (2-89)$$

$$t_p = \frac{t_{ptotal}}{N_{frame}} \quad (2-90)$$

dengan:

t_{proc} = delay proses (s)

$t_{W\ total}$ = delay antrian total (s)

t_{ptotal} = delay propagasi total (s)

N_{frame} = jumlah frame



BAB III

METODOLOGI PENELITIAN

Kajian yang digunakan dalam penelitian ini adalah kajian yang bersifat analisis, yaitu analisis terhadap performansi video *streaming* pada jaringan HSDPA (*High Speed Downlink Packet Access*) berbasis IPv6, yang mengacu pada studi literatur. Tahapan dalam penelitian ini terdiri atas: jenis data dan cara mendapatkan data, variabel dan cara analisis data yang digunakan, dan rangka keseluruhan proses penyelesaian permasalahan yang telah dirumuskan dan ditelaah dari aspek tertentu, dan sesuai dengan tujuan yang telah ditetapkan dalam bentuk *flowchart*. Analisis yang dilakukan ditinjau dari parameter *bandwidth*, *delay end-to-end*, probabilitas *packet loss* dan *throughput*.

3.1 Jenis dan Cara Pengambilan Data

Data-data yang digunakan dalam penelitian ini berupa data sekunder yang bersumber dari buku referensi, jurnal, skripsi, internet, dan forum-forum resmi mengenai jaringan HSDPA (*High Speed Downlink Packet Access*), *video streaming*, dan IPv6.

Cara untuk mendapatkan data sekunder pada penelitian ini dilakukan dengan cara perhitungan secara teori. Perhitungan teori ini meliputi: perhitungan konsumsi *bandwidth*, probabilitas *packet loss*, *delay end-to-end*, dan *throughput*. Untuk perhitungan teori menggunakan data sekunder yang bersumber dari buku referensi, jurnal, penelitian, internet, dan forum-forum resmi mengenai jaringan HSDPA (*High Speed Downlink Packet Access*) dan Video *Streaming*. Data-data yang digunakan dalam penelitian ini meliputi:

- a. Spesifikasi jaringan HSDPA (*High Speed Downlink Packet Access*).
- b. Spesifikasi video *streaming*

3.2 Variabel dan Cara Analisis Data

3.2.1 Variabel Data

Variabel data yang digunakan pada skripsi ini sesuai dengan parameter performansi video *streaming* yang dianalisis. Parameter performansi video streaming pada Jaringan HSDPA menggunakan IPv6 yang dianalisis adalah sebagai berikut:

1. *Bandwidth*

Bandwidth adalah maksimum bit rate yang dapat dilewati oleh suatu medium. Variabel data yang digunakan pada analisis bandwidth adalah bit rate CODEC audio, bit rate CODEC video, dan frame rate.

2. *Delay*

Delay adalah waktu yang dibutuhkan untuk mengirimkan data dari sumber ke tujuannya. Variabel data yang digunakan pada analisis *delay end-to-end* adalah kecepatan pemrosesan data setiap node, jarak antar node, faktor utilitas, dan jenis CODEC yang digunakan.

3. Probabilitas *Packet Loss*

Packet Loss adalah hilangnya paket data yang dikirimkan dari sumber. Variabel data yang digunakan pada analisis probabilitas *packet loss* adalah bit rate CODEC audio, bit rate CODEC video, dan *downlink link budget* pada jaringan HSDPA.

4. *Throughput*

Throughput merupakan parameter yang digunakan untuk mengetahui jumlah data yang diterima dalam keadaan baik terhadap waktu total transmisi yang dibutuhkan dari sumber data ke penerima. Variabel data yang digunakan pada analisis *throughput* adalah bit rate CODEC audio, bit rate CODEC video, frame rate, *downlink link budget* pada jaringan HSDPA, dan faktor utilitas.

3.2.2 Cara Analisis Data

Cara analisis data yang digunakan dalam memperoleh perfomansi *video streaming* pada jaringan HSDPA (*High Speed Downlink Packet Access*) berbasis IPv6 adalah sebagai berikut:

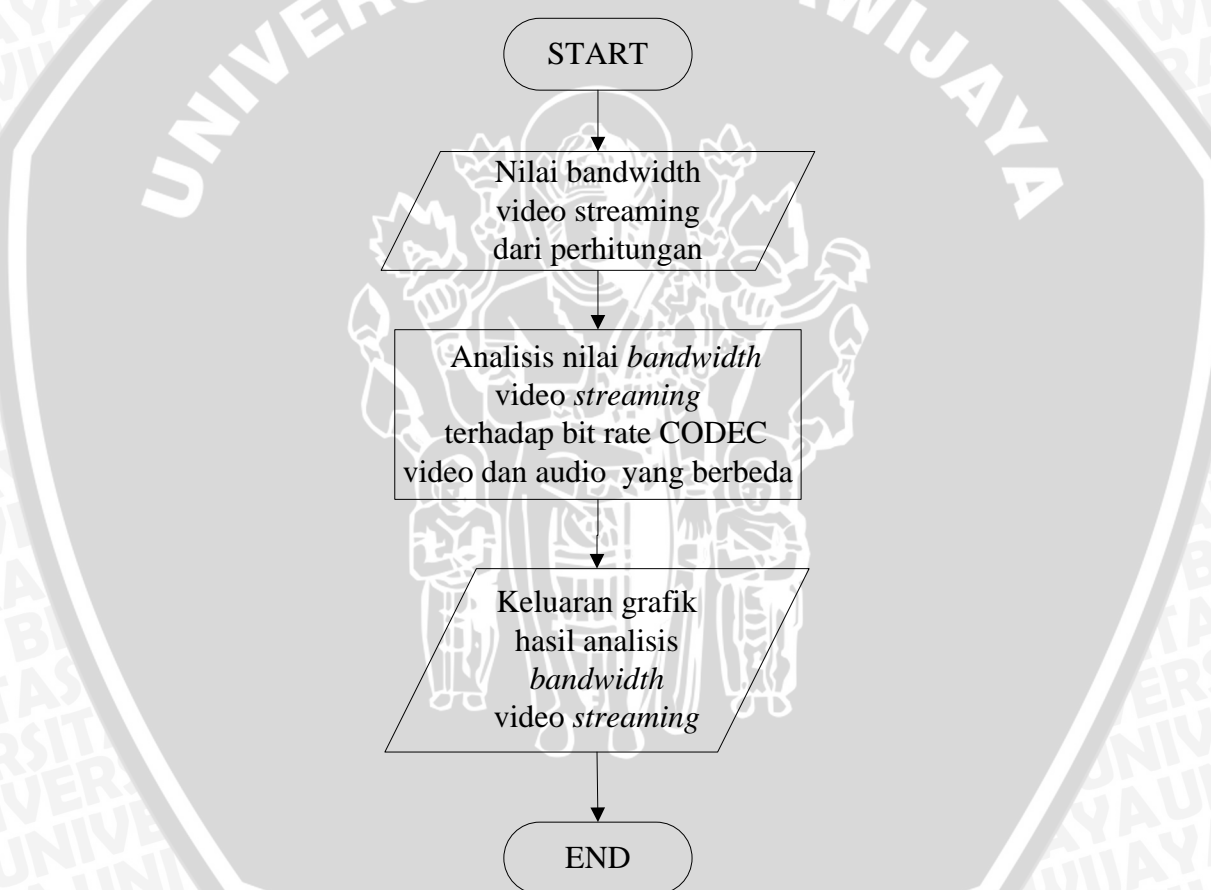
1. Analisis secara matematis yaitu mengumpulkan nilai dari parameter data-data sekunder dengan kesesuaian terhadap standar yang digunakan untuk kemudian dianalisis berdasarkan pembahasan yang telah diuraikan menggunakan software matlab 7. Analisis perhitungan yang dilakukan meliputi: konsumsi *bandwidth*, probabilitas *packet loss*, *delay end-to-end*, dan *throughput*.
2. Analisis secara grafis yaitu melakukan simulasi hasil perhitungan ke dalam bentuk grafis sehingga dapat diketahui karakteristik sistem yang diterapkan.

Langkah-langkah analisis performansi *video streaming* pada jaringan HSDPA (*High Speed Downlink Packet Access*) yang menggunakan IPv6 adalah sebagai berikut:

1. Analisis *Bandwidth* Video Streaming

Langkah-langkah analisis *bandwidth* video streaming adalah sebagai berikut:

- a. Mendapatkan nilai *bandwidth* video streaming dari hasil perhitungan yang dijelaskan pada subbab selanjutnya.
- b. Menganalisis besarnya nilai *bandwidth* video streaming terhadap *bit rate* CODEC video maupun audio yang berbeda-beda.
- c. Menampilkan grafik hasil analisis *bandwidth* video streaming.



Gambar 3.1 Diagram Alir Proses Analisis *Bandwidth* Video Streaming

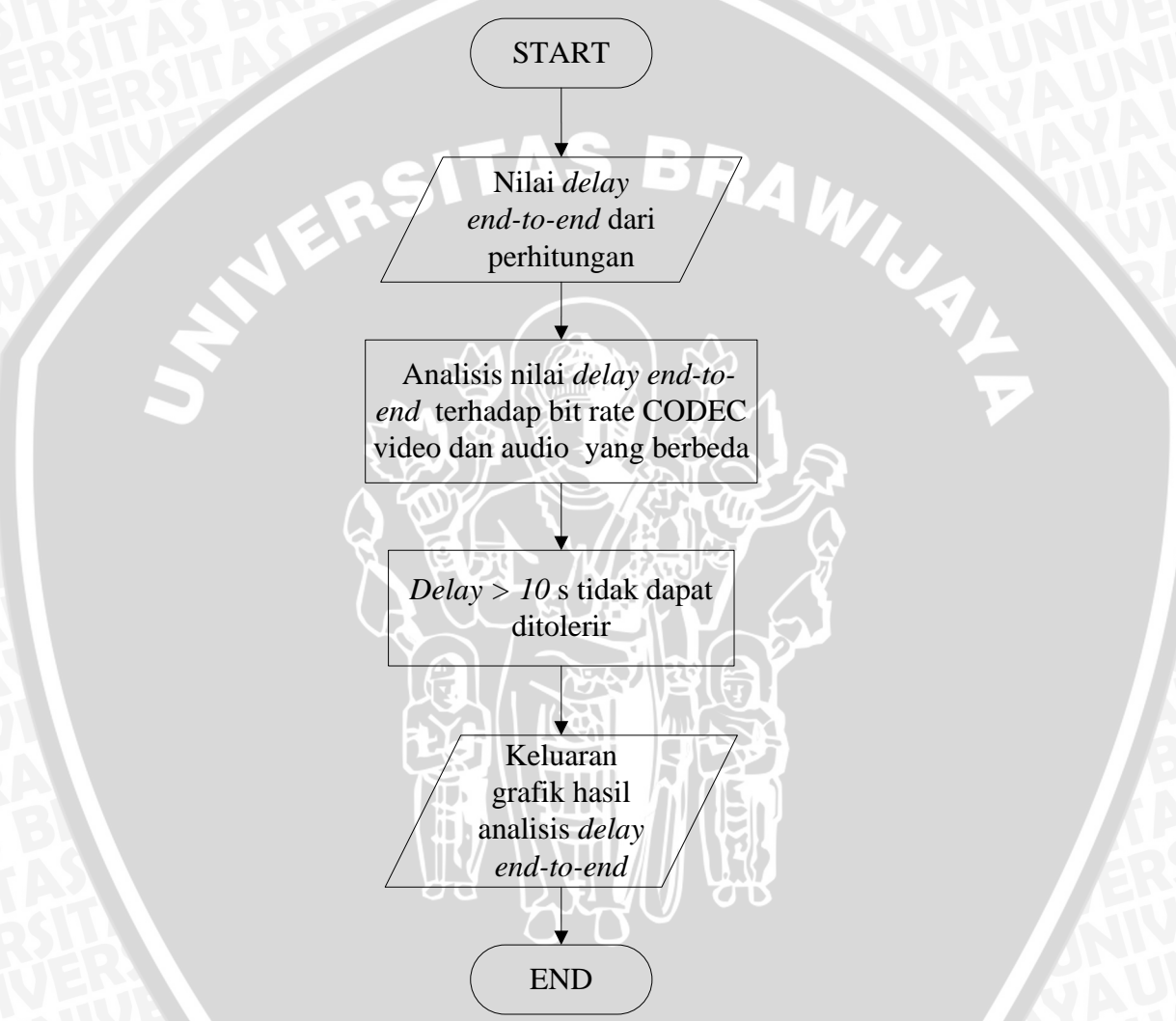
(Sumber: Perancangan)

2. Analisis *Delay End-to-end*

Langkah-langkah analisis *delay end-to-end* adalah sebagai berikut:

- a. Mendapatkan nilai *delay end-to-end* dari hasil perhitungan yang dijelaskan pada subbab selanjutnya.

- b. Menganalisis besarnya *delay end-to-end* terhadap *bit rate* CODEC video dan audio yang berbeda-beda.
- c. Menganalisis apakah nilai *delay end-to-end loss* masih dapat ditolerir atau tidak, yaitu < 10 s (ITU.T G.1010).
- d. Menampilkan grafik hasil analisis *delay end-to-end*.



Gambar 3.2 Diagram Alir Proses Analisis *Delay End-to-end*

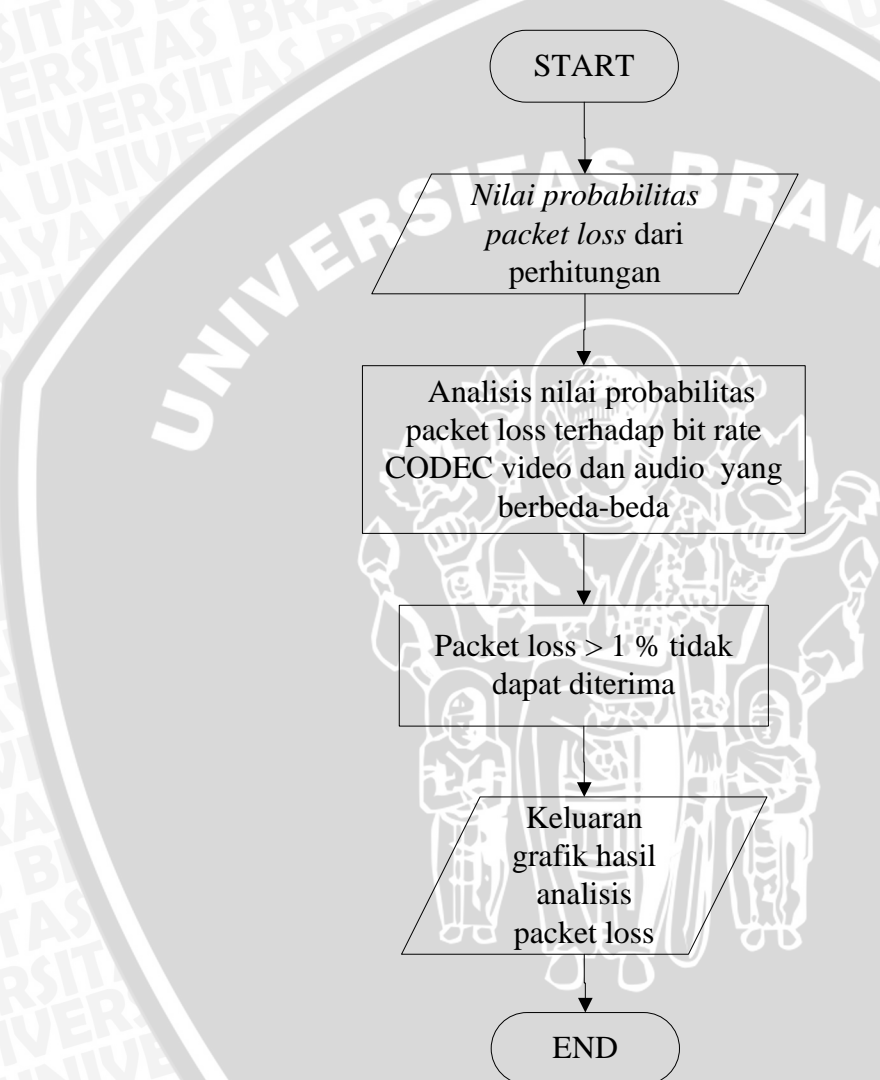
(Sumber: Perancangan)

3. Analisis Probabilitas *Packet Loss*

Langkah-langkah analisis probabilitas *packet loss* adalah sebagai berikut:

- a. Mendapatkan nilai probabilitas *packet loss* dari hasil perhitungan yang dijelaskan pada subbab selanjutnya.

- b. Menganalisis besarnya probabilitas *packet loss* terhadap *bit rate* CODEC video dan audio yang berbeda-beda.
- c. Menganalisis apakah nilai probabilitas *packet loss* masih dapat diterima, yaitu <1% (ITU.T G.1010).
- d. Menampilkan grafik hasil analisis *packet loss*.



Gambar 3.3 Diagram Alir Proses Analisis Probabilitas *Packet Loss*

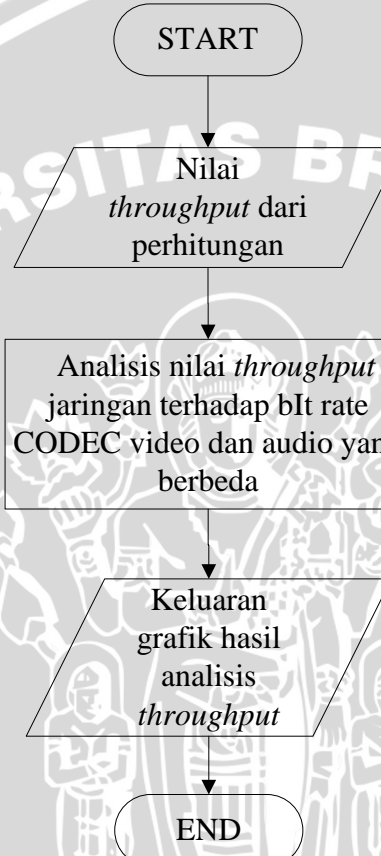
(Sumber: Perancangan)

4. Analisis *Throughput*

Langkah-langkah analisis *throughput* adalah sebagai berikut:

- a. Mendapatkan nilai *throughput* video *streaming* dari hasil perhitungan yang dijelaskan pada subbab selanjutnya.

- b. Menganalisis besarnya *throughput* video *streaming* terhadap *bit rate* CODEC video dan audio yang berbeda-beda.
- c. Menganalisis apakah besarnya *throughput* antara 20-384 Kbps (RSAVY Research and 3G Americas, 2007: 52).
- d. Menampilkan grafik hasil analisis *bandwidth* video *streaming*.



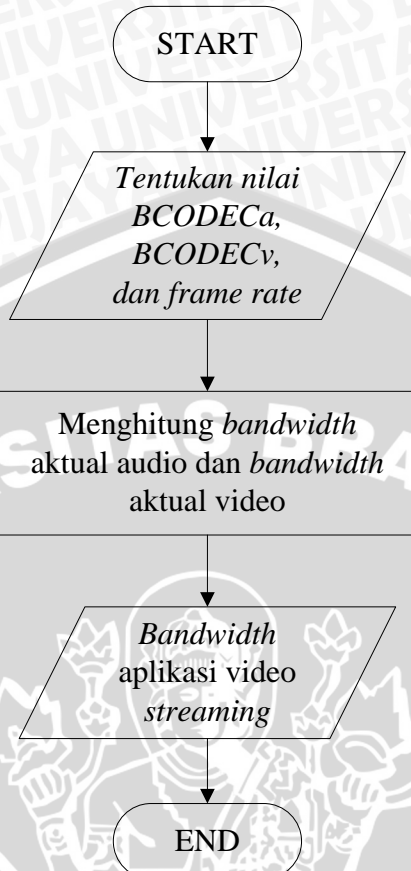
Gambar 3.4 Diagram Alir Proses Analisis *Throughput*

(Sumber: Perancangan)

3.3 Kerangka Solusi Permasalahan

Rangka keseluruhan proses penyelesaian masalah yang telah dirumuskan dan ditelaah dari aspek tertentu, dan sesuai dengan tujuan yang telah ditetapkan dijabarkan dalam bentuk *flowchart*.

1. Flowchart Alir Perhitungan Bandwidth



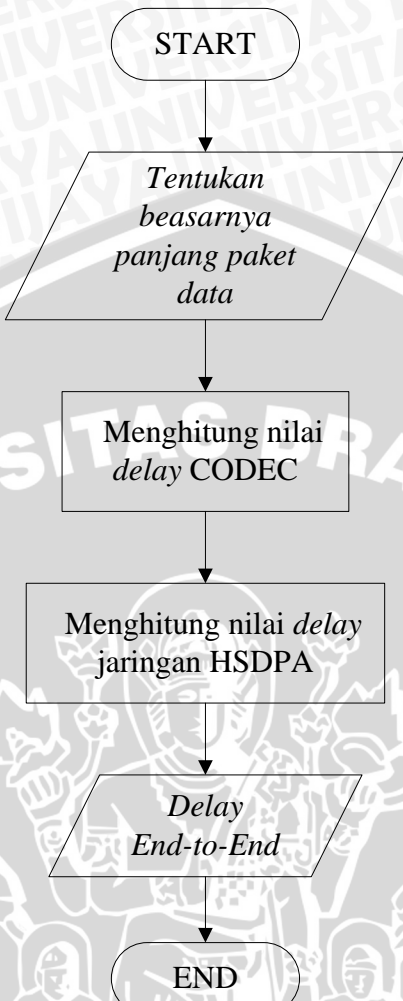
Gambar 3.5 Diagram Alir Perhitungan Bandwidth Video Streaming

(Sumber: Perancangan)

Perhitungan *bandwidth* dipengaruhi oleh jenis CODEC yang digunakan baik audio maupun video, *frame rate*, serta *payload* tiap paket audio maupun video. Langkah-langkah perhitungan *bandwidth* video streaming adalah sebagai berikut:

- a. Menentukan *bit rate* CODEC video (BCODECv), *bit rate* CODEC audio (BCODECa), serta *frame rate* yang digunakan.
- b. Menghitung *bandwidth* audio (Ba) dan *bandwidth* video (Bv).
- c. Mendapatkan nilai *bandwidth* video streaming.

2. Flowchart Alir Perhitungan *Delay End-to-end*



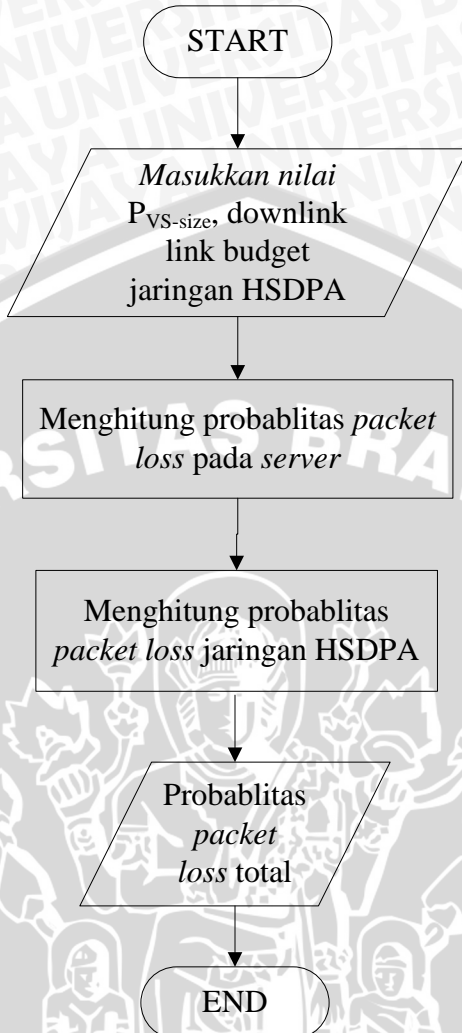
Gambar 3.6 Diagram Alir Perhitungan *Delay End-to-End*

(Sumber: Perancangan)

Delay end-to-end merupakan keseluruhan *delay* yang ada dalam perjalanan paket data dari sumber hingga ke tujuan. Langkah-langkah perhitungan *delay end-to-end* video streaming pada jaringan HSDPA (*High Speed Downlink Packet Access*) menggunakan IPv6 adalah sebagai berikut:

- Menghitung *delay* CODEC
- Menghitung *delay* jaringan yang meliputi *delay* proses, *delay* transmisi, *delay* propagasi, dan *delay* antrian.
- Delay end-to-end* dapat dihitung dengan menjumlahkan *delay* CODEC dengan *delay* jaringan.

3. Flowchart Alir Perhitungan Probabilitas *Packet Loss*



Gambar 3.7 Diagram Alir Perhitungan Probabilitas *Packet Loss*

(Sumber: Perancangan)

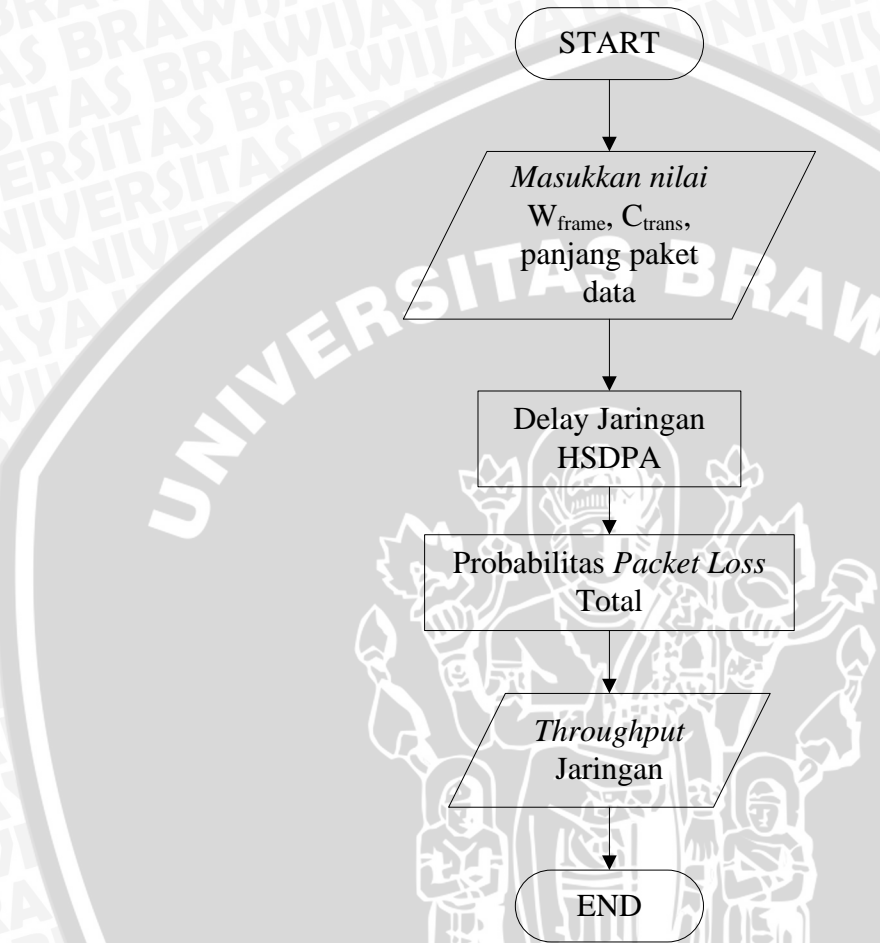
Packet loss terjadi pada jaringan HSDPA, dan *server*. Perhitungan probabilitas *packet loss* dipengaruhi oleh ukuran paket data video *streaming* dan *downlink link budget* jaringan HSDPA. Langkah-langkah perhitungan probabilitas *packet loss* pada jaringan HSDPA (*High Speed Downlink Packet Access*) menggunakan IPv6 adalah sebagai berikut:

- Menentukan panjang paket video *streaming* ($P_{VS-size}$) dan *downlink link budget* jaringan HSDPA.
- Menghitung probabilitas *packet loss* pada *server*
- Menghitung probabilitas *packet loss* pada jaringan HSDPA.



- d. Probabilitas *packet loss* total diperoleh dengan menjumlahkan probabilitas *packet loss* pada server dan probabilitas *packet loss* jaringan HSDPA.

4. Flowchart Alir Perhitungan *Throughput*



Gambar 3.8 Diagram Alir Perhitungan *Throughput*

(Sumber: Perancangan)

Perhitungan *throughput* dipengaruhi oleh *bit rate CODEC* yang digunakan, panjang frame di setiap *node*, serta kecepatan transmisi di setiap *node*. Nilai *throughput* diperlukan untuk mengetahui besarnya paket data yang diterima dari sisi penerima dengan benar setiap satuan waktu. Langkah-langkah perhitungan *throughput* adalah sebagai berikut:

- Menentukan nilai panjang frame (W_{frame}) dan kecepatan transmisi (C_{trans}), panjang paket data.
- Menghitung besarnya probabilitas *packet loss* total dan *delay* jaringan HSDPA
- Mendapatkan nilai *throughput* jaringan.

BAB IV

HASIL DAN PEMBAHASAN

4.1 Umum

Pada bab ini akan dibahas mengenai analisis dan pembahasan performansi video *streaming* pada jaringan HSDPA (*High Speed Downlink Packet Access*) menggunakan IPv6 (*Internet Protocol version 6*). Analisis performansi video *streaming* yang dilakukan pada bab ini berdasarkan pada teori dan persamaan yang terdapat pada Bab II. Untuk itu ada beberapa tahap pembahasan dan analisis yang dilakukan, yaitu:

1. Menentukan parameter-parameter performansi video *streaming*, yaitu dengan menghitung nilai *bandwidth* video *streaming*, *delay end to end*, probabilitas *packet loss*, serta *throughput*.
2. Analisis dilakukan dengan cara menghitung nilai parameter performansi dengan nilai *bit rate* CODEC video dan audio yang berbeda-beda.

4.2 Spesifikasi Video Streaming

Analisis perfomansi video *streaming* dilakukan dengan mengubah nilai bit rate CODEC video maupun audio. Adapun spesifikasi video *streaming* yang digunakan dalam skripsi ini adalah sebagai berikut:

- a. *Frame rate* video *streaming* yang dipergunakan adalah 30 fps atau 33 ms.
- b. Spesifikasi CODEC audio maupun video yang dipergunakan dapat dilihat pada tabel 4.1 di bawah ini.

Tabel 4.1 Spesifikasi CODEC

Audio CODEC	Bit Rate (kbps)	Maximum Payload (byte)	Delay CODEC (ms)
AMR-WB+	5,2 – 48	46	20 – 40
Video CODEC	Bit Rate (kbps)	Maximum Payload (byte)	Delay CODEC (ms)
H.264/AVC	64 – 384	254	150 – 300

(Sumber: RFC 4352 and RFC 3984 RTP Payload Format for H.264 Video, 2005)

4.3 Spesifikasi HSDPA

Data spesifikasi HSDPA dipergunakan dalam perhitungan *delay* jaringan HSDPA, probabilitas *packet loss*, serta *throughput*. Untuk mempermudah proses analisis dan perhitungan, maka digunakan beberapa data sekunder, yaitu:



- a. Parameter *downlink link budget* untuk jaringan HSDPA, dapat dilihat pada Tabel 4.2.

Tabel 4.2 Downlink Link Budget HSDPA

No	Parameter <i>Link Budget</i>	Nilai
<i>Transmitter (Node B)</i>		
1.	HS-DSCH Tx Power	37,4 dBm
2.	CPICH Tx Power	33 dBm
3.	Total Tx Power	43 dBm
4.	Tx Antenna Gain	18 dBi
5.	Cable Loss	2 dB
	HS-DSCH EIRP	53,4 dBm
<i>Receiver (User Equipment)</i>		
1.	UE Noise Figure	8 dB
2.	Thermal Noise	-108 dB
3.	Rx Antenna Gain	2 dBi
4.	Body Loss	0 dB
5.	Proceessing Gain	12 dB
7.	Orthogonality Factor (α)	0,6

(Sumber: PT. Indosat, Tbk KPI Surabaya, 2006: 1-23 dalam Linda Ekowati, 2008:68)

- b. Terminal pengguna yang digunakan adalah terminal kategori 5, dimana jenis modulasi yang digunakan adalah 16-QAM, maksimum TBS (*Transport Block Size*) sebesar 7298 bit, dan maksimum *data rate* dari UE adalah 3,6 Mbps. (HSDPA by Siemens, 2004: 17)
- c. *Physical interface* yang digunakan pada SGSN, RNC, dan Node B berdasarkan protokol stack HSDPA pada Gambar 2.8. Sedangkan *physical interface* yang digunakan pada GGSN adalah *Fast Ethernet*.

4.4 Analisis *Bandwidth Video Streaming*

Aplikasi video *streaming* menggunakan jenis CODEC H.264/AVC untuk video dengan *bit rate* CODEC antara 64 – 384 kbps dan AMR-WB+ untuk audio dengan *bit rate* CODEC antara 5,2 – 48 kbps dengan *frame rate* 33 ms. Analisis *bandwidth* video *streaming* dilakukan dengan mengubah-ubah *bit rate* CODEC video sedangkan *bit rate* CODEC audio tetap, mengubah-ubah *bit rate* CODEC audio sedangkan *bit rate* CODEC video tetap. Hal ini dilakukan untuk mengetahui pengaruh perubahan *bit rate* CODEC terhadap performansi video *streaming*.

Dengan menggunakan persamaan 2-1 hingga 2-2, maka besar *payload* aplikasi video *streaming* dapat diperoleh sebagai berikut:

$$\begin{aligned} \text{PLa} &= B_{\text{CODECA}} \times f_R = (48 \cdot 10^3) \times (33 \cdot 10^{-3}) \\ &= 1584 \text{ bit} \end{aligned}$$

$$\begin{aligned} \text{PLv} &= B_{\text{CODECV}} \times f_R = (384 \cdot 10^3) \times (33 \cdot 10^{-3}) \\ &= 12672 \text{ bit} \end{aligned}$$

Jumlah paket video dan audio yang akan di-*encode* dipengaruhi oleh besar *payload* maksimum dari video maupun audio, seperti yang telah ditunjukkan pada tabel 2.2. Sehingga, jumlah paket video dan audio dapat diperoleh dengan menggunakan persamaan 2-3 dan 2-5 adalah sebagai berikut:

$$Pa = \text{PLa}/\text{PLa}_{\max} = 1584/640 = 2,475 \approx 3 \text{ paket}$$

$$P_v = \text{PLv}/\text{PLv}_{\max} = 12672/2032 = 6,2362 \approx 7 \text{ paket}$$

Payload video *streaming* yang akan di-*encode* diubah menjadi paket-paket yang disebut NALU (*Network Abstraction Layer Unit*). Besarnya tiap paket audio dan video aplikasi video *streaming* merupakan penjumlahan dari *payload* paket audio dan video dengan *header* NALU, RTP, UDP, dan IPv6. Dengan menggunakan persamaan 2-4 dan 2-6, maka besar paket audio dan video aplikasi video *streaming* yang dihasilkan dapat dihitung sebagai berikut:

$$\begin{aligned} \text{Pa-size} &= \text{PLa} + Pa \times (H_{\text{NALU}} + H_{\text{RTP}} + H_{\text{UDP}} + H_{\text{IP}}) \\ &= 1584 + 3 \times (8 + 96 + 64 + 320) \\ &= 3048 \text{ bit} \end{aligned}$$

$$\begin{aligned} \text{Pv-size} &= \text{PLv} + Pv \times (H_{\text{NALU}} + H_{\text{RTP}} + H_{\text{UDP}} + H_{\text{IP}}) \\ &= 12672 + 7 \times (8 + 96 + 64 + 320) \\ &= 16088 \text{ bit} \end{aligned}$$

Besarnya paket data aplikasi video *streaming* yang akan ditransmisikan berdasarkan persamaan 2-7 adalah sebagai berikut:

$$\begin{aligned} P_{\text{vs-size}} &= \text{Pa-size} + \text{Pv-size} \\ &= 3048 + 16088 \\ &= 19136 \text{ bit} = 2392 \text{ byte} = 2,3359 \text{ kB} \end{aligned}$$

Sehingga besarnya *bandwidth* dari video *streaming* yang dinyatakan dengan persamaan 2-8 dapat dihitung:



$$\begin{aligned}
 B_{VS} &= \frac{Pa_{size}}{PLa} \cdot B_{CODECa} + \frac{Pv_{size}}{PLv} \cdot B_{CODECv} \\
 &= \frac{3048}{1584} \cdot 48 \cdot 10^3 + \frac{16088}{12672} \cdot 384 \cdot 10^3 \\
 &= 92363,63636 + 487515,1515 \\
 &= 579878,7879 \text{ bps} \\
 &= 579,8788 \text{ kbps}
 \end{aligned}$$

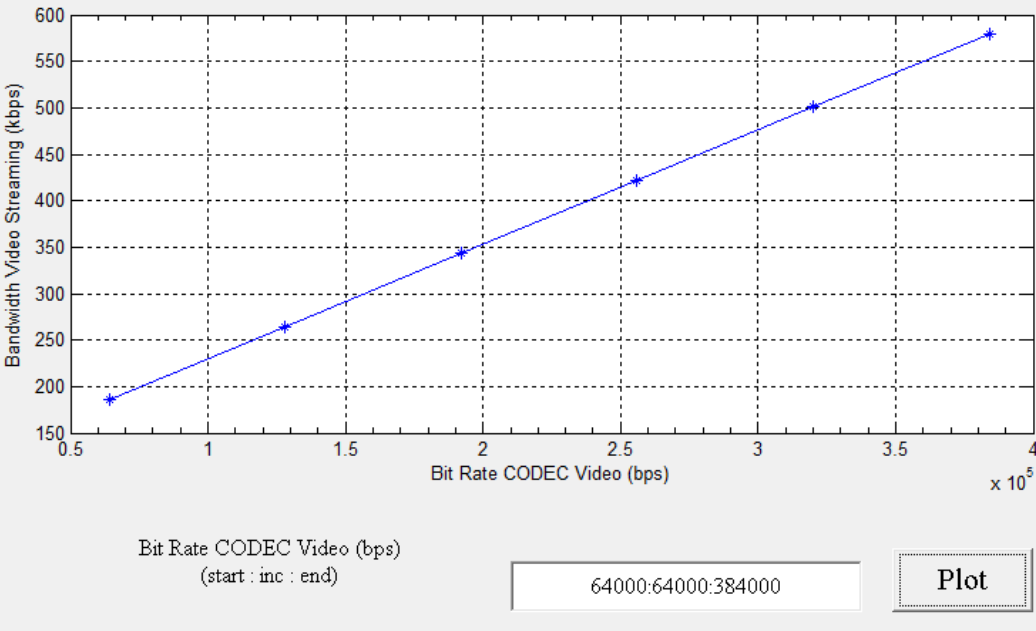
Jadi, *bandwidth* aplikasi video *streaming* dengan bit rate CODEC video sebesar 384 kbps adalah 287,8344 kbps. Hasil analisis penggunaan *bandwidth* aplikasi video *streaming* dengan *bit rate* CODEC video yang berubah-ubah sebesar 64 kbps, 128 kbps, 192 kbps, 256 kbps, 320 kbps, dan 384 kbps serta bit rate CODEC audio yang tetap sebesar 48 kbps dapat ditunjukkan pada tabel 4.3 di bawah ini. Hubungan antara bandwidth aplikasi video *streaming* terhadap bit rate CODEC video dapat dilihat pada Gambar 4.1

Tabel 4.3 Hasil analisis *bandwidth* aplikasi video *streaming* dengan bit rate CODEC video yang berubah-ubah

No.	Bit Rate CODEC Video (kbps)	Bit Rate CODEC Audio (kbps)	Bandwidth Aplikasi Video <i>Streaming</i> (kbps)
1	64	48	185,9394
2	128	48	264,7273
3	192	48	343,5152
4	256	48	422,3030
5	320	48	501,0909
6	384	48	579,8788

(Sumber: Hasil Perhitungan)





Gambar 4.1 Hubungan *bandwidth* aplikasi video *streaming* terhadap bit rate

CODEC video yang berubah-ubah

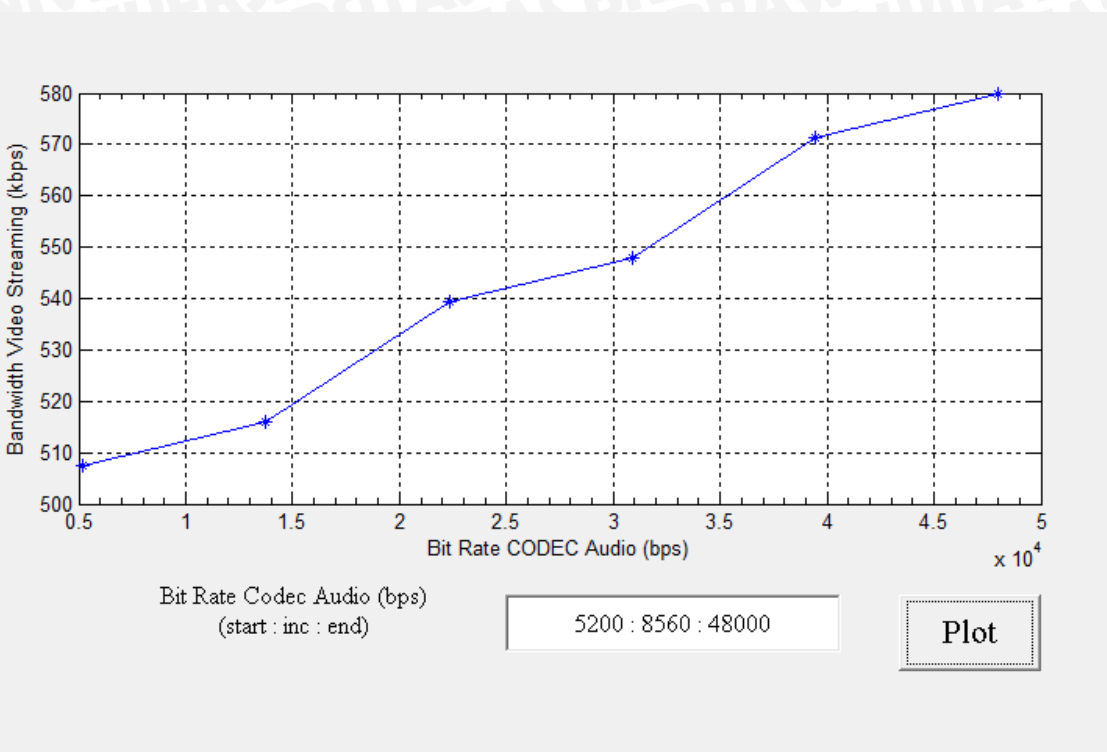
(Sumber: Hasil Perhitungan)

Dengan menggunakan cara yang sama, hasil analisis penggunaan *bandwidth* aplikasi video *streaming* dengan *bit rate* CODEC video yang berubah-ubah sebesar 5,2 kbps, 13,76 kbps, 22,32 kbps, 30,88 kbps, 39,44 kbps, dan 48 kbps serta bit rate CODEC video yang tetap sebesar 384 kbps dapat ditunjukkan pada tabel 4.4 di bawah ini.

Tabel 4.4 Hasil analisis *bandwidth* aplikasi video *streaming* dengan bit rate CODEC audio yang berubah-ubah

No.	Bit Rate CODEC Video (kbps)	Bit Rate CODEC Audio (kbps)	Bandwidth Aplikasi Video <i>Streaming</i> (kbps)
1	384	5,2	507,5030
2	384	13,76	516,0630
3	384	22,32	539,4109
4	384	30,88	547,9709
5	384	39,44	571,3188
6	384	48	579,8788

(Sumber: Hasil Perhitungan)



Gambar 4.2 Hubungan *bandwidth* aplikasi video *streaming* terhadap bit rate

CODEC audio yang berubah-ubah

(Sumber: Hasil Perhitungan)

Berdasarkan hasil analisis perhitungan *bandwidth* video streaming di atas dapat kita ketahui bahwa:

1. Besarnya bandwidth aplikasi video *streaming* dipengaruhi oleh *frame rate* dan bit rate CODEC audio maupun video. *Frame rate* yang lebih rendah, akan memakan bandwidth yang lebih rendah dibandingkan *frame rate* yang lebih tinggi.
2. *Bandwidth* aplikasi video *streaming* paling besar adalah 566,2879 kbps dengan menggunakan *bit rate* CODEC video sebesar 384 kbps dan bit rate CODEC audio sebesar 48 kbps. Sedangkan *bandwidth* aplikasi video *streaming* paling kecil sebesar 185,9394 kbps saat *bit rate* CODEC video sebesar 64 kbps dan bit rate CODEC audio sebesar 48 kbps

4.5 Analisis *Delay End-to-End* Aplikasi Video *Streaming*

Model hubungan yang digunakan dalam analisis *delay end-to-end* aplikasi video *streaming* pada jaringan HSDPA yang menggunakan IPv6 adalah model hubungan antara server yang terhubung ke jaringan internet hingga ke UE (*User Equipment*).

Analisis perhitungan *delay end-to-end* aplikasi video *streaming* meliputi *delay* CODEC dan *delay* pada jaringan HSDPA.

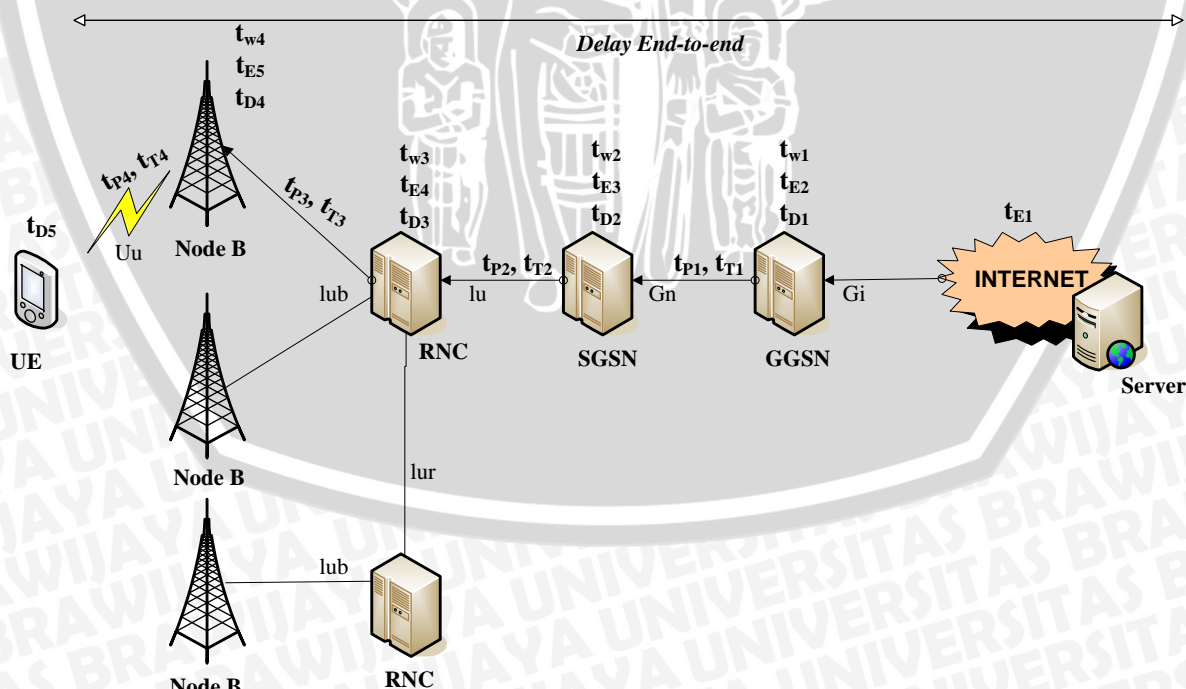
4.5.1 Delay CODEC

Delay CODEC aplikasi video *streaming* terdiri dari *delay* CODEC *audio* dan *video*. Aplikasi video *streaming* ini menggunakan jenis CODEC AMR-WB+ untuk audio dengan *delay* CODEC sebesar 20-40 ms. Sedangkan jenis CODEC yang digunakan untuk video adalah H.264/AVC dengan *delay* CODEC sebesar 150-300 ms seperti yang telah ditunjukkan pada Tabel 4.1. Sehingga besarnya *delay* CODEC pada aplikasi video *streaming* sesuai dengan persamaan 2-9 adalah:

$$t_{\text{CODEC}} = t_a + t_v = 40 \text{ ms} + 300 \text{ ms} = 340 \text{ ms}$$

4.5.2 Delay Jaringan High Speed Downlink Packet Access (HSDPA)

Analisis perhitungan *delay* pada jaringan HSDPA meliputi *delay* proses, *delay* transmisi, *delay* propagasi, dan *delay* antrian. Model hubungan perhitungan *delay* jaringan HSDPA yang menggunakan IPv6 adalah mulai dari *server* yang terhubung ke jaringan internet hingga UE. Model hubungan tersebut dapat dilihat pada Gambar 4.2.

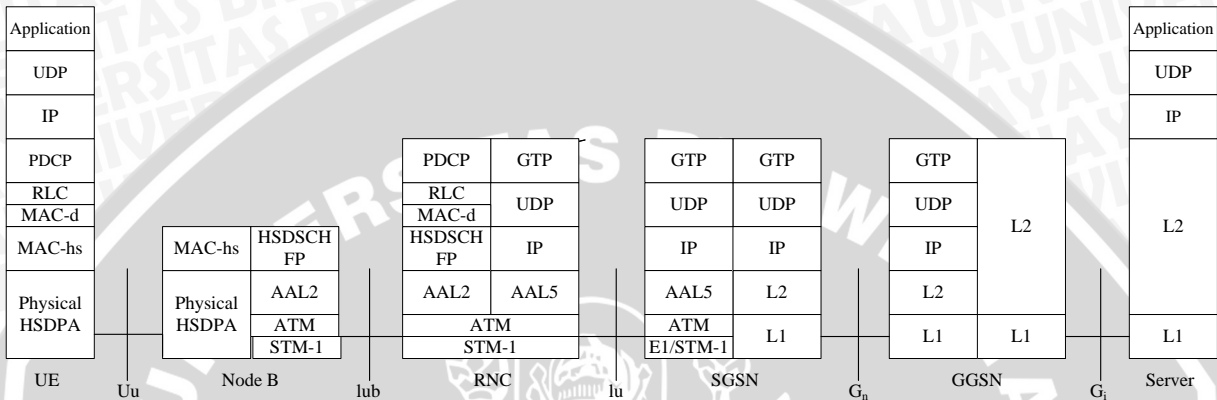


Gambar 4.3. Analisis *delay end-to-end* pada jaringan HSDPA

(Sumber: Hasil Analisis)

4.5.2.1 Delay Proses

Delay proses pada jaringan HSDPA yang menggunakan IPv6 meliputi *delay* enkapsulasi dan *delay* dekapsulasi. Perhitungan *delay* proses pada jaringan HSDPA berlaku untuk masing-masing *layer-layer* seperti yang ditunjukkan pada Gambar 4.3.



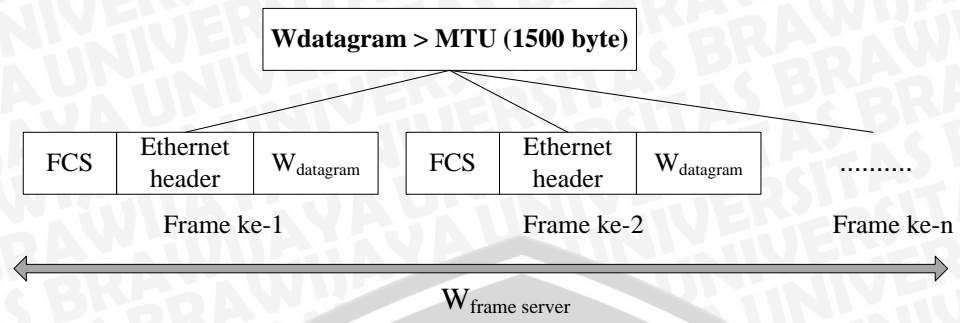
Gambar 4.4 Analisis *delay* enkapsulasi dan dekapsulasi pada Jaringan HSDPA

(Sumber: Hasil Analisis)

➤ Server

Pada server terjadi proses enkapsulasi sebelum paket data ditransmisikan ke GGSN yang telah dihitung pada bab sebelumnya. Pada skripsi ini, standard protokol yang digunakan adalah Ethernet dengan *Maximum Transfer Unit* (MTU) *Ethernet* sebesar 1500 byte (RFC 895). Oleh karena itu, besar paket video *streaming* tidak boleh melebihi MTU sebesar 1500 byte.

Apabila panjang paket video *streaming* melebihi *Maximum Transfer Unit* (MTU) *Ethernet* sebesar 1500 byte (RFC 895), maka paket video *streaming* akan mengalami fragmentasi menjadi beberapa buah frame baru ditambahkan dengan *header Ethernet* dan FCS. Jika *datagram IP* tidak melebihi MTU *Ethernet*, maka *datagram IP* akan langsung ditambahkan dengan *header Ethernet* dan FCS. Format segmentasi datagram IP dapat terlihat pada Gambar 4.5 di bawah ini.



Gambar 4.5 Format segmentasi *datagram IP*

(Sumber: Taufan Riza, 2002:41)

Sehingga, banyaknya frame ethernet yang ditransmisikan menuju GGSN sesuai dengan persamaan 2-18 sebagai berikut:

$$\begin{aligned}
 N_{frame\ Ethernet} &= \frac{W_{datagram}}{MTU_{ethernet}} \\
 &= \frac{2392\ byte}{1500\ byte} \\
 &= 1,594666667\ frame
 \end{aligned}$$

Terdapat 1 buah frame Ethernet berisi data 1500 byte dan 1 buah frame Ethernet berisi data sebesar $(0,594666667 \times 1500\ byte = 892\ byte)$, sehingga terdapat 2 buah frame Ethernet. Selanjutnya, jumlah total *frame* pada jaringan internet yang dapat dikirimkan ke GGSN sesuai dengan persamaan 2-19

$$\begin{aligned}
 W_{frame\ server} &= P_{vs-size} + [N_{frame\ Ethernet} \times (H_{ethernet} + FCS)] \\
 &= 2392 + [2 \times (14 + 4)] \\
 &= 2428\ byte
 \end{aligned}$$

Dalam skripsi ini, pada *sever* yang terhubung ke jaringan internet digunakan standar *interface Gigabit Ethernet* dengan kecepatan 1 Gbps. Sehingga *delay* dekapsulasi pada *server* didapatkan dengan persamaan 2-20, yaitu:

$$\begin{aligned}
 t_{E1} &= \frac{W_{frame\ server} - P_{vs-size}}{C_{int}} \\
 &= \frac{2428 - 2392}{10^9\ bps} \times 8 \\
 &= 2,88 \cdot 10^{-7}\ s
 \end{aligned}$$

Hasil analisis *delay* enkapsulasi pada *server* untuk *bit rate* video CODEC 256 kbps, 320 kbps, dan 384 kbps ditunjukkan pada Tabel 4.5.

Tabel 4.5 Hasil Analisis *delay* enkapsulasi pada Server

No.	<i>Bit rate</i> CODEC Video	<i>Delay Enkapsulasi</i> (t_{E1})
1	256 kbps	$2,88 \cdot 10^{-7}$
2	320 kbps	$2,88 \cdot 10^{-7}$
3	384 kbps	$2,88 \cdot 10^{-7}$

(Sumber: Hasil Perhitungan)

➤ **Gateway GPRS Support Node (GGSN)**

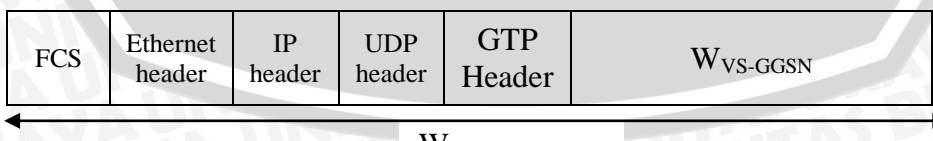
Pada GGSN, paket data yang diterima mengalami proses dekapsulasi. Dari proses dekapsulasi didapatkan paket data aplikasi video *streaming* sesuai dengan persamaan 2-21, yaitu:

$$\begin{aligned} W_{VS\ GGSN} &= W_{frame\ server} - H_{Ethernet} - FCS \\ &= 2428 - 2 \times 14 - 2 \times 4 \\ &= 2392\ byte \end{aligned}$$

Dengan mengasumsikan GGSN menggunakan standar *Fast Ethernet* dengan kecepatan 100 Mbps (Ajay R. Mishra, 467), maka besarnya *delay* dekapsulasi pada GGSN didapatkan sesuai dengan persamaan 2-22 berikut:

$$\begin{aligned} t_{D1} &= \frac{W_{frame\ server} - W_{VS\ GGSN}}{C_{GGSN}} \times 8 \\ &= \frac{2428 - 2392}{10^8\ bps} \times 8 \\ &= 2,88 \cdot 10^{-6}\ s \end{aligned}$$

Format paket data GGSN dapat ditunjukkan pada Gambar 4.6 dimana paket data dari server yang telah didekapsulasi diberi penambahan header GTP, UDP, IPv6, Ethernet, dan FCS.

**Gambar 4.6** Format $W_{frame\ GGSN}$

(Sumber: Harri Holma and Antti Toskala, 2004:142)



Besar MSS dapat diperoleh sesuai dengan persamaan 2-23 sebagai berikut:

$$\begin{aligned} \text{MSS} &= \text{MTU} - \text{H}_{\text{GTP}} - \text{H}_{\text{UDP}} - \text{H}_{\text{IP}} \\ &= 1500 \text{ byte} - 8 \text{ byte} - 8 \text{ byte} - 40 \text{ byte} = 1444 \text{ byte} \end{aligned}$$

Selanjutnya, paket data yang melebihi MSS akan disegmentasi menggunakan persamaan 2-24 berikut:

$$\begin{aligned} N_{\text{datagram}} &= \frac{W_{\text{vs-GGSN}}}{\text{MSS}} \\ &= \frac{2392 \text{ byte}}{1444 \text{ byte}} \\ &= 1,656509695 \text{ buah} \end{aligned}$$

Terdapat 1 buah datagram IP berisi data 1444 byte dan 1 buah datagram IP berisi data sebesar ($0,656509695 \times 1444 \text{ byte} = 948 \text{ byte}$), sehingga terdapat 2 buah datagram IP. Kemudian, paket data aplikasi video *streaming* dienkapsulasi dengan penambahan *header* GTP, UDP, dan IP (3GPP TS 29.060 Rel.5) sesuai dengan persamaan 2-25 berikut:

$$\begin{aligned} W_{\text{datagram}} &= W_{\text{VS GGSN}} + N_{\text{datagram}} \times (\text{H}_{\text{GTP}} + \text{H}_{\text{UDP}} + \text{H}_{\text{IP}}) \\ &= 2392 + 2 \times (8 \text{ byte} + 8 \text{ byte} + 40 \text{ byte}) \\ &= 2504 \text{ byte} \end{aligned}$$

Karena panjang datagram IP di GGSN melebihi *Maximum Transfer Unit* (MTU) *Ethernet* (1500 byte), maka datagram IP akan mengalami fragmentasi menjadi beberapa buah frame sesuai dengan persamaan 2-26 di bawah ini:

$$\begin{aligned} N_{\text{frame Ethernet}} &= \frac{W_{\text{datagram}}}{\text{MTU}_{\text{ethernet}}} \\ &= \frac{2504 \text{ byte}}{1500 \text{ byte}} \\ &= 1,669333333 \text{ buah} \end{aligned}$$

Terdapat 1 buah frame Ethernet berisi data 1500 byte dan 1 buah frame Ethernet berisi data sebesar ($0,669333333 \times 1500 \text{ byte} = 1004 \text{ byte}$), sehingga terdapat 2 buah frame Ethernet. Sehingga jumlah total *frame* pada GGSN yang dapat dikirimkan ke SGSN sesuai dengan persamaan 2-27 berikut:

$$\begin{aligned} W_{\text{frame GGSN}} &= W_{\text{datagram}} + [N_{\text{frame Ethernet}} \times (\text{H}_{\text{Ethernet}} + \text{FCS})] \\ &= 2504 + [2 \times (14 + 4)] \\ &= 2540 \text{ byte} \end{aligned}$$



Sehingga *delay* enkapsulasi pada GGSN didapatkan dengan persamaan 2-28, yaitu:

$$\begin{aligned} t_{E2} &= \frac{W_{frame\ GGSN} - W_{VS\ GGSN}}{C_{GGSN}} x 8 \\ &= \frac{2540 - 2392}{10^8\ bps} x 8 \\ &= 1,184 \cdot 10^{-5}\ s \end{aligned}$$

Hasil analisis *delay* enkapsulasi dan *delay* dekapsulasi pada GGSN untuk *bit rate* video CODEC 256 kbps, 320 kbps, dan 384 kbps ditunjukkan pada tabel 4.6.

Tabel 4.6 Hasil Analisis *Delay* Enkasulasi dan Dekapsulasi pada GGSN

No.	Bit Rate CODEC Video	Delay Dekapsulasi (t _{D1})	Delay Enkapsulasi (t _{E2})
1	256 kbps	2,88.10 ⁻⁶	1,184.10 ⁻⁶
2	320 kbps	2,88.10 ⁻⁶	1,184.10 ⁻⁶
3	384 kbps	2,88.10 ⁻⁶	1,184.10 ⁻⁶

(Sumber: Hasil Perhitungan)

➤ *Serving GPRS Support Node (SGSN)*

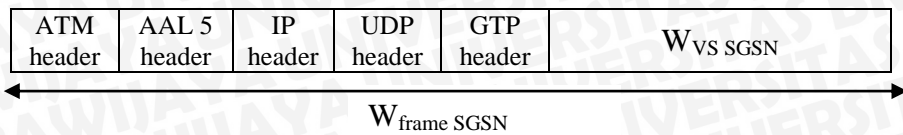
Paket data yang diterima dari GGSN mengalami proses dekapsulasi pada SGSN sesuai dengan persamaan 2-29

$$\begin{aligned} W_{VS\ SGSN} &= W_{frame\ GGSN} - H_{GTP} - H_{UDP} - H_{IPv6} - H_{Ethernet} - FCS \\ &= 2540 - 2x8 - 2x8 - 2x40 - 2x14 - 2x4 \\ &= 2392\ byte \end{aligned}$$

Dengan mengasumsikan bahwa SGSN menggunakan standar *Fast Ethernet* dengan kecepatan data 100 Mbps, maka besarnya *delay* dekapsulasi didapatkan dengan menggunakan persamaan 2-30

$$\begin{aligned} t_{D2} &= \frac{W_{frame\ GGSN} - W_{VS\ SGSN}}{C_{SGSN}} x 8 \\ &= \frac{2540 - 2392}{10^8\ bps} x 8 \\ &= 1,184 \cdot 10^{-5}\ s \end{aligned}$$

Format paket data SGSN dapat ditunjukkan pada Gambar 4.7 dimana paket data dari GGSN yang telah didekapsulasi diberi penambahan header GTP, UDP, IPv6, AAL5, dan ATM.



Gambar 4.7 Format Paket Data pada SGSN

(Sumber: Harri Holma and Antti Toskala, 2004:149)

Besar MSS dapat diperoleh sesuai dengan persamaan 2-31 adalah sebagai berikut:

$$\begin{aligned}
 \text{MSS} &= \text{MTU} - H_{\text{GTP}} - H_{\text{UDP}} - H_{\text{IP}} \\
 &= 1500 \text{ byte} - 8 \text{ byte} - 8 \text{ byte} - 40 \text{ byte} \\
 &= 1444 \text{ byte}
 \end{aligned}$$

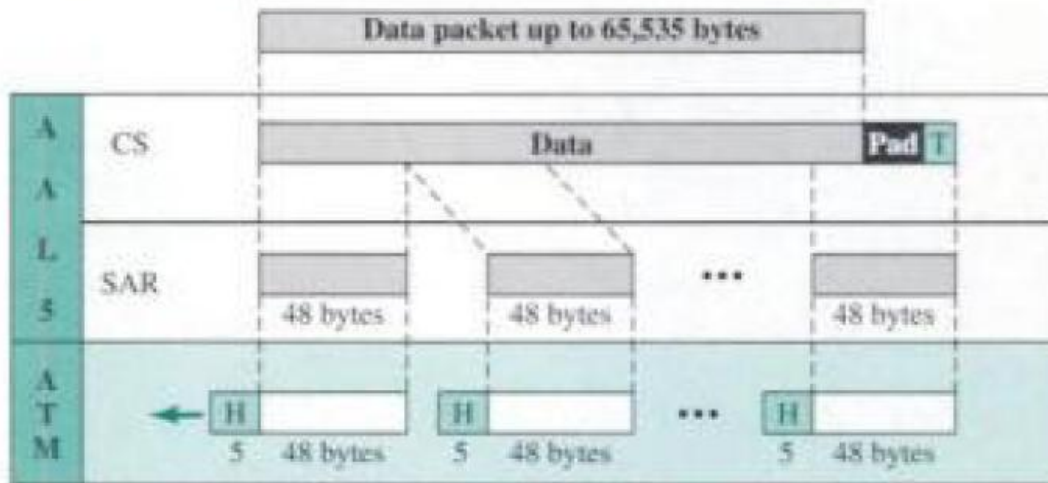
Selanjutnya, paket data yang melebihi MSS akan difragmentasi menggunakan persamaan 2-32 berikut

$$\begin{aligned}
 N_{\text{datagram}} &= \frac{W_{\text{vs-SGSN}}}{\text{MSS}} \\
 &= \frac{2392 \text{ byte}}{1444 \text{ byte}} \\
 &= 1,656509695 \text{ buah}
 \end{aligned}$$

Terdapat 1 buah datagram IP berisi data 1444 byte dan 1 buah datagram IP berisi data sebesar ($0,656509695 \times 1444 \text{ byte} = 948 \text{ byte}$), sehingga terdapat 2 buah datagram IP. Kemudian, paket data aplikasi video *streaming* dienkapsulasi dengan *header* GTP, UDP, dan IP sesuai dengan persamaan 2-33 di bawah ini:

$$\begin{aligned}
 W_{\text{datagram}} &= W_{\text{vs-SGSN}} + N_{\text{datagram}} \times (H_{\text{GTP}} + H_{\text{UDP}} + H_{\text{IP}}) \\
 &= 2392 + 2 \times (8 \text{ byte} + 8 \text{ byte} + 40 \text{ byte}) \\
 &= 2504 \text{ byte}
 \end{aligned}$$

Setelah itu, saat memasuki lapisan AAL5, paket data tersebut dibentuk menjadi CPCS PDU (*Common Part Convergence Sublayer Protocol Data Unit*) kemudian dibentuk menjadi blok-blok PDU SAR (*Segmentation and Reassembly Sublayer*) seperti terlihat pada Gambar 4.8.



Gambar 4.8 Format Frame AAL5
(Sumber: Behrouz A. Forouzan, 2008: 459)

Terdapat 1 buah paket pada CPCS-PDU sebesar 2504 byte. Selanjutnya, besar paket data total pada CPCS-PDU diperoleh dengan menggunakan persamaan 2-34 sebagai berikut:

$$\begin{aligned}
 W_{\text{CPCS-PDU total}} &= W_{\text{datagram}} + N_{\text{CPCS-PDU}} \times H_{\text{CPCS-PDU}} \\
 &= 2504 + 1 \times 8 \\
 &= 2512 \text{ byte}
 \end{aligned}$$

Kemudian, *frame* CPCS-PDU dipecah menjadi blok-blok *payload* PDU SAR (*Segmentation and Reassembly Sublayer*) sebesar 48 byte, yang kemudian diteruskan menuju layer ATM. Sehingga banyaknya frame ATM yang terbentuk sesuai dengan persamaan 2-35:

$$\begin{aligned}
 N_{\text{frame ATM}} &= \frac{W_{\text{frame CPCS-PDU}}}{48 \text{ byte}} \\
 &= \frac{2512 \text{ byte}}{48 \text{ byte}} \\
 &= 52,33333333
 \end{aligned}$$

Terdapat 52 *frame* berisi data 48 byte dan 1 *frame* berisi data sebesar $(0,3333333 \times 48 \text{ byte} = 16 \text{ byte})$. *Frame* yang berisi data 24 byte tersebut akan diberi *padding bytes* sebesar $(48 \text{ byte} - 16 \text{ byte} = 32 \text{ byte})$, sehingga terdapat 53 sel ATM. Selanjutnya setiap sel ATM diberi *header ATM* sebesar 5 byte sehingga panjang *frame* ATM menjadi 53 byte. Panjang *frame* di SGSN yang siap

ditransmisikan menuju RNC merupakan panjang *frame* ATM total, yang sesuai dengan persamaan 2-36

$$\begin{aligned} W_{\text{frame SGSN}} &= W_{\text{frame ATM total}} = N_{\text{frame ATM}} \times W_{\text{frame ATM}} \\ &= 53 \times 53 \text{ byte} \\ &= 2809 \text{ byte} \end{aligned}$$

Sehingga, *delay* enkapsulasi yang terjadi pada SGSN didapatkan dengan persamaan 2-37, yaitu:

$$\begin{aligned} t_{E3} &= \frac{W_{\text{frame SGSN}} - W_{\text{VS SGSN}}}{C_{\text{SGSN-RNC}}} \times 8 \\ &= \frac{2809 - 2392}{155,52 \cdot 10^6 \text{ bps}} \times 8 \\ &= 2,1451 \cdot 10^{-5} \text{ s} \end{aligned}$$

Hasil analisis *delay* enkapsulasi dan *delay* dekapsulasi pada SGSN untuk *bit rate* video CODEC 256 kbps, 320 kbps, dan 384 kbps ditunjukkan pada tabel 4.7.

Tabel 4.7 Hasil Analisis *Delay* Enkasulasi dan Dekasulasi pada SGSN

No.	Bit Rate CODEC Video	Delay Dekapsulasi (t_{D2})	Delay Enkapsulasi (t_{E3})
1	256 kbps	$1,184 \cdot 10^{-5}$	$1,6718 \cdot 10^{-5}$
2	320 kbps	$1,184 \cdot 10^{-5}$	$1,9084 \cdot 10^{-5}$
3	384 kbps	$1,184 \cdot 10^{-5}$	$2,1451 \cdot 10^{-5}$

(Sumber: Hasil Perhitungan)

➤ **Radio Network Controller (RNC)**

Paket data yang diterima dari SGSN mengalami proses dekapsulasi pada RNC sesuai dengan persamaan 2-38

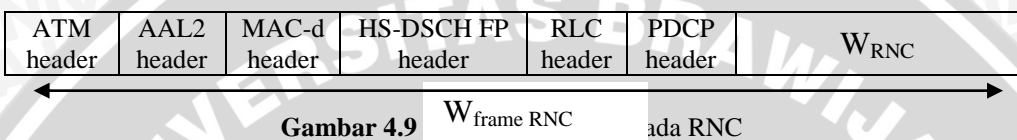
$$\begin{aligned} W_{\text{VS RNC}} &= W_{\text{frame SGSN}} - H_{\text{GTP}} - H_{\text{UDP}} - H_{\text{IPv6}} - H_{\text{AAL5}} - H_{\text{ATM}} \\ &= 2809 - 2 \times 8 - 2 \times 8 - 2 \times 40 - 1 \times 8 - 53 \times 5 \\ &= 2424 \text{ byte} \end{aligned}$$

RNC menggunakan *interface* sistem transmisi ATM STM-1 yang memberikan kecepatan data sebesar 155,52 Mbps. Nilai *delay* dekapsulasi pada RNC didapatkan dengan persamaan 2-39



$$\begin{aligned}
 t_{D3} &= \frac{W_{frame SGSN} - W_{VS RNC}}{C_{RNC}} \times 8 \\
 &= \frac{2809 - 2424}{155,52 \cdot 10^6 bps} \times 8 \\
 &= 1,9805 \cdot 10^{-5} s
 \end{aligned}$$

Format paket data RNC dapat ditunjukkan pada Gambar 4.9 dimana paket data dari SGSN yang telah di dekapsulasi diberi penambahan header PDCP, RLC, MAC-d, AAL2, dan ATM.



(Sumber: Harri Holma and Antti Toskala, 2004:156)

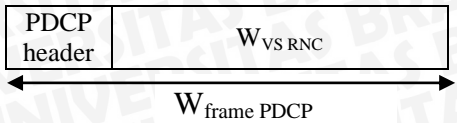
Pada layer PDCP (*Packet Data Convergence Protocol*), paket datagram IP aplikasi video *streaming* dienkapsulasi dengan penambahan *header* sebesar 1 byte, yaitu *header PDU Type* sebesar 3 bits dan *PID (Packet Identifier)* sebesar 5 bits (3GPP TS. 25. 323 Rel.5). Banyaknya paket IP pada RNC dapat diperoleh sebagai berikut:

$$\begin{aligned}
 N_{datagram} &= \frac{W_{vs-RNC}}{1500} \\
 &= \frac{2424 \text{ byte}}{1500 \text{ byte}} \\
 &= 1,616 \text{ buah}
 \end{aligned}$$

Terdapat 1 paket IP berisi data 1500 byte dan 1 paket IP berisi data sebesar $(0,616 \times 1500 \text{ byte} = 924 \text{ byte})$. Format frame PDCP dapat ditunjukkan pada Gambar 4.10. Sehingga terdapat 2 paket IP. Besar frame total pada layer PDCP adalah sebagai berikut:

$$\begin{aligned}
 W_{frame PDCP} &= W_{VS RNC} + H_{PDCP} \\
 &= 2424 \text{ byte} + 2 \times 1 \text{ byte} \\
 &= 2426 \text{ byte}
 \end{aligned}$$





Gambar 4.10 Format Frame PDCP

(Sumber: 3GPP TS. 25.323 Rel 5)

Selanjutnya pada layer RLC, frame PDCP disegmentasi menjadi RLC PDU *fixed size*. Pada Dokumen 3GPP TS.25.323. Rel.5 tentang *Radio Link Control (RLC) Protocol Specifications* tidak ditegaskan besaran untuk tiap *fixed size*, tetapi pada skripsi ini besaran tiap *fixed size* mengacu pada besaran yang digunakan pada penelitian *Ericsson EuroLab Netherlands*, yaitu sebesar 40 byte. Sehingga jumlah *frame* RLC PDU sesuai dengan persamaan 2-42

$$\begin{aligned}
 N_{\text{frame RLC}} &= \frac{W_{\text{frame PDCP}}}{40 \text{ byte}} \\
 &= \frac{2426 \text{ byte}}{40 \text{ byte}} \\
 &= 60,65
 \end{aligned}$$

Terdapat 60 *frame* berisi data 40 byte dan 1 *frame* berisi data sebesar ($0,65 \times 40 \text{ byte} = 26 \text{ byte}$). *Frame* yang berisi data 18 byte tersebut akan diberi *padding bytes* sebesar ($40 \text{ byte} - 26 \text{ byte} = 14 \text{ byte}$), sehingga terdapat 61 *frame* RLC. Selanjutnya setiap *frame* diberi *header* sebesar 2 byte sehingga panjang *frame* RLC menjadi 42 byte. Panjang *frame* RLC total yang siap diteruskan ke *layer MAC-d* dapat dihitung sesuai dengan persamaan 2-43

$$\begin{aligned}
 W_{\text{frame RLC total}} &= N_{\text{frame RLC}} \times W_{\text{frame RLC}} \\
 &= 61 \times 42 \text{ byte} \\
 &= 2562 \text{ byte}
 \end{aligned}$$

Pada *layer MAC-d*, RLC PDU disegmentasi menjadi MAC-d SDU (*Service Data Unit*) sebesar 42 byte. Jumlah *frame* MAC-d SDU sesuai dengan persamaan 2-44

$$\begin{aligned}
 N_{\text{frame MAC-d}} &= \frac{W_{\text{frame RLC total}}}{42 \text{ byte}} \\
 &= \frac{2562 \text{ byte}}{42 \text{ byte}} \\
 &= 61
 \end{aligned}$$

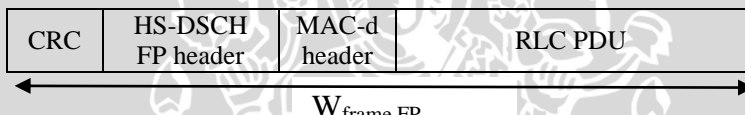


Sedangkan panjang frame MAC-d dapat dihitung dengan menjumlahkan MAC-d SDU dengan *header* MAC-d sebesar 4 bit [Erik Dahlman et.al, 2008: 158] dengan persamaan 2-45:

$$\begin{aligned} W_{frame \text{ MAC-d}} &= H_{MAC-d} + 42 \text{ byte} \\ &= 0,5 \text{ byte} + 42 \text{ byte} \\ &= 42,5 \text{ byte} \end{aligned}$$

Selanjutnya, *frame* MAC-d dienkapsulasi pada HS-DSCH FP (*Frame Protocol*) dengan menambahkan *header* HS-DSCH FP sebesar 7 byte dan CRC (*Cyclic Redundancy Check*) sebesar 2 byte. Sehingga panjang frame HS-DSCH FP sesuai dengan persamaan 2-46 adalah:

$$\begin{aligned} W_{frame \text{ FP}} &= W_{frame \text{ MAC-d}} + H_{FP} + \text{CRC} \\ &= 42,5 \text{ byte} + 7 \text{ byte} + 2 \text{ byte} \\ &= 51,5 \text{ byte} \end{aligned}$$



Gambar 4.11 Format Frame FP

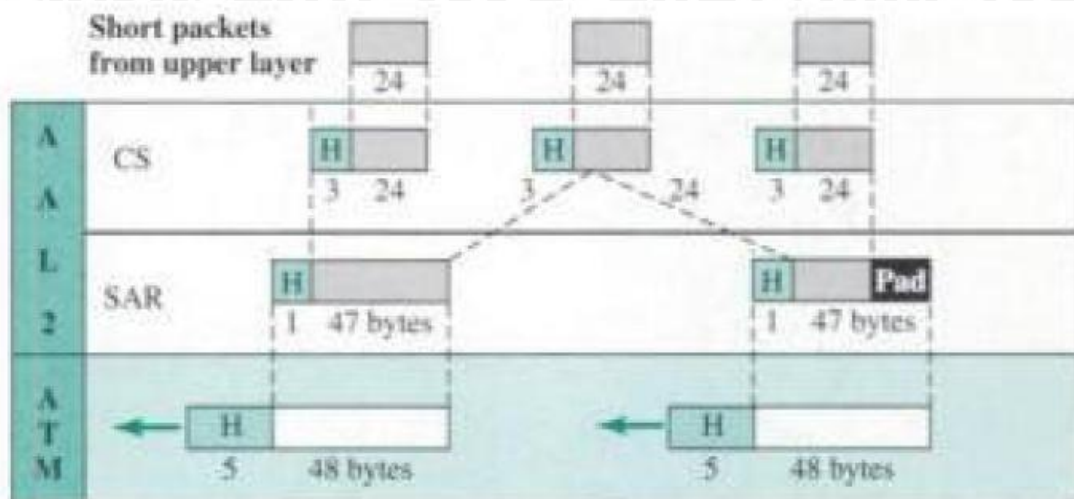
(Sumber: Anthony Lo, 2004:8)

Format frame FP ditunjukkan pada Gambar 4.11 dimana RLC-PDU diberi penambahan header MAC-d, HS-DSCH FP, dan CRC. Panjang *frame* HS-DSCH FP total diproleh dengan persamaan 2-47

$$\begin{aligned} W_{frame \text{ FP total}} &= N_{frame \text{ MAC-d}} \times W_{frame \text{ FP}} \\ &= 61 \times 51,5 \text{ byte} \\ &= 3141,5 \text{ byte} \end{aligned}$$

Saat memasuki lapisan AAL2, paket data tersebut dibentuk menjadi CPS (*Common Part Sublayer*) dan blok-blok PDU SAR seperti terlihat pada gambar 4.12 dibawah ini.





Gambar 4.12 Format Frame AAL2

(Sumber: Behrouz A. Forouzan, 2008: 457)

Banyaknya paket data pada CS PDU dapat diperoleh dengan persamaan 2-48 berikut:

$$\begin{aligned}
 N_{CS-PDU} &= \frac{W_{frame FP total}}{24} \\
 &= \frac{3141,5 \text{ byte}}{24 \text{ byte}} \\
 &= 130,8958333 \text{ buah}
 \end{aligned}$$

Terdapat 130 buah paket berisi data 24 byte dan 1 buah paket berisi data sebesar $(0,8958333 \times 24 \text{ byte} = 22 \text{ byte})$, sehingga terdapat 131 buah paket CS PDU. Selanjutnya, besar paket data total pada CS-PDU diperoleh dengan menggunakan persamaan 2-49 sebagai berikut

$$\begin{aligned}
 W_{CS-PDU \text{ total}} &= W_{frame FP total} + (N_{CS-PDU} \times H_{CS-PDU}) \\
 &= 3141,5 + 131 \times 3 \text{ byte} \\
 &= 3534,5 \text{ byte}
 \end{aligned}$$

Kemudian, frame CS-PDU dipecah menjadi blok-blok *payload* PDU SAR (*Segmentation and Reassembly Sublayer*) sebesar 47 byte

$$\begin{aligned}
 N_{SAR-PDU} &= \frac{W_{frame CS-PDU}}{47 \text{ byte}} \\
 &= \frac{3534,5 \text{ byte}}{47 \text{ byte}} \\
 &= 75,20212766
 \end{aligned}$$



Pada PDU SAR, terdapat 75 *frame* berisi data 47 byte dan 1 *frame* berisi data sebesar ($0,20212766 \times 47 \text{ byte} = 10 \text{ byte}$). *Frame* yang berisi data 22 byte tersebut akan diberi *padding bytes* sebesar ($47 \text{ byte} - 10 \text{ byte} = 7 \text{ byte}$), sehingga terdapat 76 blok PDU-SAR. Selanjutnya, setiap blok PDU SAR ditambahkan header sebesar 1 byte sehingga besar setiap blok PDU SAR menjadi 48 byte. Besar paket data pada PDU SAR dapat diperoleh menggunakan persamaan 2-51 sebagai berikut:

$$\begin{aligned} W_{\text{frame PDU SAR}} &= N_{\text{SAR-PDU}} \times 48 \text{ byte} \\ &= 76 \times 48 \text{ byte} \\ &= 3648 \text{ byte} \end{aligned}$$

Pada layer ATM, blok-blok PDU SAR dipecah menjadi fixed cell ATM sebesar 48 byte. Banyaknya frame ATM yang ditransmisikan menuju Node B menggunakan persamaan 2-52 sebagai berikut:

$$\begin{aligned} N_{\text{frame ATM}} &= \frac{W_{\text{frame PDU-SAR}}}{48 \text{ byte}} \\ &= \frac{3648 \text{ byte}}{48 \text{ byte}} \\ &= 76 \end{aligned}$$

Selanjutnya, setiap *payload cell* ATM diberi *header* sebesar 5 byte sehingga panjang *fixed-size cells* ATM menjadi sebesar 53 byte (Stallings). Panjang *frame* yang siap ditransmisikan menuju Node B merupakan panjang *frame* ATM total sesuai dengan persamaan 2-53

$$\begin{aligned} W_{\text{frame RNC}} &= W_{\text{frame ATM total}} = N_{\text{frame ATM}} \times W_{\text{frame ATM}} \\ &= 76 \times 53 \text{ byte} \\ &= 4028 \text{ byte} \end{aligned}$$

Sehingga, besar *delay* enkapsulasi yang terjadi pada RNC didapatkan dengan persamaan 2-54, yaitu:

$$\begin{aligned} t_{E4} &= \frac{W_{\text{frame RNC}} - W_{\text{VS RNC}}}{C_{\text{RNC}}} \times 8 \\ &= \frac{4028 - 2424}{155,52 \cdot 10^6 \text{ bps}} \times 8 \\ &= 8,2510 \cdot 10^{-5} \text{ s} \end{aligned}$$

Hasil analisis *delay* enkapsulasi dan *delay* dekapsulasi pada RNC untuk *bit rate* video CODEC 256 kbps, 320 kbps, dan 384 kbps ditunjukkan pada tabel 4.8.

Tabel 4.8 Hasil Analisis Delay Enkasulasi dan Dekapsulasi pada RNC

No.	<i>Bit Rate CODEC Video</i>	<i>Delay Enkapsulasi (t_{D3})</i>	<i>Delay Enkapsulasi (t_{E4})</i>
1	256 kbps	$1,6204 \cdot 10^{-5}$	$5,9825 \cdot 10^{-5}$
2	320 kbps	$1,8004 \cdot 10^{-5}$	$7,2531 \cdot 10^{-5}$
3	384 kbps	$1,9805 \cdot 10^{-5}$	$8,2510 \cdot 10^{-5}$

(Sumber: Hasil Perhitungan)

➤ Node B

Paket data yang diterima dari RNC mengalami proses dekapsulasi pada *Node B* sesuai dengan persamaan 2-55 berikut:

$$\begin{aligned} W_{VS\ NodeB} &= W_{frame\ RNC} - H_{ATM} - H_{CS-PDU} - H_{SAR-PDU} - H_{FP} - CRC \\ &= 4028 - 76x5 - 131x3 - 76x1 - 61x7 - 61x2 = 2630\ byte \end{aligned}$$

Format paket data di *Node B* dapat ditunjukkan pada Gambar 4.15 dimana paket data dari RNC diberi penambahan header ATM, AAL2, FP, dan CRC. *Node B* menggunakan *interface* STM-1 dengan kecepatan 155,52 Mbps. Maka besarnya *delay* dekapsulasi didapatkan dengan menggunakan persamaan 2-56

$$\begin{aligned} t_{D4} &= \frac{W_{frame\ RNC} - W_{VS\ NodeB}}{C_{Node\ B}} \times 8 \\ &= \frac{4028 - 2630}{155,52 \cdot 10^6\ bps} \times 8 \\ &= 7,1914 \cdot 10^{-5}\ s \end{aligned}$$

Pada layer MAC-hs, beberapa frame MAC PDU dan header MAC-hs dibentuk menjadi satu TBS (*transport block size*) sebesar 7298 bits [HSDPA by Siemens, 2004: 17]. Banyaknya TBS yang akan ditransmisikan menuju UE adalah sebagai berikut:

$$\begin{aligned} N_{TBS} &= \frac{W_{VS\ NodeB}}{7298\ bit} \times 8 \\ &= \frac{2630\ byte}{7298\ bit} \times 8 \\ &= 2,882981639 \end{aligned}$$

Pada layer MAC-hs, terdapat 2 *frame* berisi data 7298 bit dan 1 *frame* berisi data sebesar $(0,882981639 \times 7298\ bit = 6444\ bit)$. Sehingga, terdapat 3 TBS. Selanjutnya, setiap TBS ditambahkan header CRC sebesar 2 byte. Panjang *frame* yang siap ditransmisikan menuju UE sesuai dengan persamaan 2-58

$$\begin{aligned}
 W_{\text{frame Node B}} &= W_{\text{VSNodeB}} + N_{\text{TBS}} \times \text{CRC} \\
 &= 2630 + 3 \times 2 \text{ byte} \\
 &= 2636 \text{ byte}
 \end{aligned}$$

Sehingga, *delay* enkapsulasi yang terjadi pada *Node B* didapatkan dengan persamaan 2-59, yaitu:

$$\begin{aligned}
 t_{E5} &= \frac{W_{\text{frame Node B}} - W_{\text{VSNodeB}}}{C_{\text{Node B}}} \times 8 \\
 &= \frac{2636 - 2630}{155,52 \cdot 10^6 \text{ bps}} \times 8 \\
 &= 3,0864 \cdot 10^{-7} \text{ s}
 \end{aligned}$$

Hasil analisis *delay* enkapsulasi dan *delay* dekapsulasi pada *Node B* untuk *bit rate* video CODEC 256 kbps, 320 kbps, dan 384 kbps ditunjukkan pada tabel 4.9.

Tabel 4.9 Hasil Analisis *Delay* Enkapsulasi dan Dekapsulasi pada Node B

No.	Bit Rate CODEC Video	Delay Dekapsulasi (t_{D4})	Delay Enkapsulasi (t_{E5})
1	256 kbps	$5,2006 \cdot 10^{-5}$	$3,0864 \cdot 10^{-7}$
2	320 kbps	$6,2500 \cdot 10^{-5}$	$3,0864 \cdot 10^{-7}$
3	384 kbps	$7,1914 \cdot 10^{-5}$	$3,0864 \cdot 10^{-7}$

(Sumber: Hasil Perhitungan)

➤ *User Equipment (UE)*

Paket data yang diterima dari *Node B* mengalami proses dekapsulasi pada UE sesuai dengan persamaan 2-60

$$\begin{aligned}
 W_{\text{VS UE}} &= W_{\text{frame Node B}} - H_{\text{RTP}} - H_{\text{UDP}} - H_{\text{IP}} - H_{\text{PDCP}} - H_{\text{RLC}} - H_{\text{MAC-d}} - H_{\text{MAC-hs}} - \text{CRC} \\
 &= 2636 - 10 \times 12 - 10 \times 8 - 10 \times 40 - 2 \times 1 - 61 \times 2 - 61 \times 0,5 - 3 \times 21/8 - 3 \times 2 \\
 &= 1867,625 \text{ byte}
 \end{aligned}$$

CRC	MAC-hs header	MAC header	RLC header	PDCP header	IP header	UDP header	RTP header	Data
-----	---------------	------------	------------	-------------	-----------	------------	------------	------

Gambar 4.13 Format Paket Data pada UE

(Sumber: Harri Holma and Antti Toskala, 2004:165)

Format paket data di UE dapat ditunjukkan pada Gambar 4.13 dimana paket data dari *Node B* dilakukan dekapsulasi. Terminal pengguna yang digunakan adalah



terminal kategori 5, sesuai Tabel 2.4 dengan *data rate* maksimum sebesar 3,6 Mbps, maka besarnya *delay* dekapsulasi yang terjadi di UE didapatkan dengan persamaan 2-61

$$\begin{aligned} t_{D5} &= \frac{W_{frameNodeB} - W_{VSUE}}{C_{UE}} \times 8 \\ &= \frac{2636 - 1867,625}{3,6 \cdot 10^6 bps} \times 8 \\ &= 1,7075 \cdot 10^{-3} s \end{aligned}$$

Hasil analisis *delay* dekapsulasi pada UE untuk video CODEC 256 kbps, 320 kbps, dan 384 kbps ditunjukkan pada tabel 4.10.

Tabel 4.10 Hasil Analisis *Delay* Dekapsulasi pada UE

No.	Bandwidth CODEC Video	Delay Dekapsulasi (t_{D5})
1	256 kbps	$1,3464 \cdot 10^{-3}$
2	320 kbps	$1,5297 \cdot 10^{-3}$
3	384 kbps	$1,7075 \cdot 10^{-3}$

(Sumber: Hasil Perhitungan)

➤ *Delay Proses Total*

Dengan menggunakan persamaan 2-14 hingga 2-16 didapatkan besarnya *delay* proses total aplikasi video streaming sebagai berikut:

$$\begin{aligned} t_{Etot} &= t_{E1} + t_{E2} + t_{E3} + t_{E4} + t_{E5} \\ &= 2,88 \cdot 10^{-7} s + 1,184 \cdot 10^{-5} s + 2,1451 \cdot 10^{-5} s + 8,2510 \cdot 10^{-5} s + 3,0864 \cdot 10^{-7} s \\ &= 1,1640 \cdot 10^{-4} s \end{aligned}$$

$$\begin{aligned} t_{Dtots} &= t_{D1} + t_{D2} + t_{D3} + t_{D4} + t_{D5} \\ &= 2,88 \cdot 10^{-6} s + 1,184 \cdot 10^{-5} s + 1,9805 \cdot 10^{-5} s + 7,1914 \cdot 10^{-5} s + 1,7075 \cdot 10^{-3} s \\ &= 1,8139 \cdot 10^{-3} s \end{aligned}$$

$$\begin{aligned} t_{proc} &= t_{Etot} + t_{Dtots} \\ &= 1,1640 \cdot 10^{-4} s + 1,8139 \cdot 10^{-3} s \\ &= 1,9303 \cdot 10^{-3} s \end{aligned}$$

Untuk penggunaan IPv4, ada penambahan *delay header checksum* sebesar:

$$\begin{aligned} t_{checksum} &= N_{packet-IP} \times T \\ &= 14 \times 0,002 = 28 \text{ ms} \end{aligned}$$



Oleh karena itu, besar delay proses pada jaringan HSDPA yang menggunakan IPv4 adalah sebagai berikut:

$$\begin{aligned} t_{\text{proc}} &= t_{\text{Etot}} + t_{\text{Dtот}} + t_{\text{checksum}} \\ &= 1,0378 \cdot 10^{-4} + 1,8017 \cdot 10^{-3} + 2,8 \cdot 10^{-2} \\ &= 2,9905 \cdot 10^{-2} \text{ s} \end{aligned}$$

Hasil analisis *delay* proses dapat diperoleh untuk *bit rate* video CODEC 256 kbps, 320 kbps, dan 384 kbps ditunjukkan pada tabel 4.11.

Tabel 4.11 Hasil Analisis *Delay* Proses pada Jaringan HSDPA

No.	Bit Rate CODEC Video	Delay Proses –IPv6 (s)	Delay Proses –IPv4 (s)
1	256 kbps	$1,5183 \cdot 10^{-3}$	$2,5499 \cdot 10^{-2}$
2	320 kbps	$1,7290 \cdot 10^{-3}$	$2,7703 \cdot 10^{-2}$
3	384 kbps	$1,9303 \cdot 10^{-3}$	$2,9905 \cdot 10^{-2}$

(Sumber: Hasil Perhitungan)

Berdasarkan hasil analisis perhitungan *delay* proses di atas, dapat kita ketahui bahwa *delay* proses dipengaruhi oleh bit rate CODEC yang digunakan dan header-header yang digunakan dalam proses enkapsulasi maupun dekapsulasi. Penggunaan bit rate CODEC yang semakin besar mempengaruhi besar *payload* dari video *streaming*. Sehingga, semakin besar bit rate CODEC video yang digunakan maka besar *delay* proses yang dihasilkan semakin besar.

Selain itu, penggunaan IPv6 menghasilkan *delay* proses yang lebih kecil dibandingkan dengan penggunaan IPv4. Penggunaan IPv4 pada jaringan HSDPA membutuhkan penambahan *delay header checksum*, dimana pada IPv6 tidak diperlukan adanya penambahan *delay header checksum*.

4.5.2.2 Delay Transmisi

Perhitungan *delay* transmisi pada jaringan HSDPA meliputi hubungan antara GGSN-SGSN, SGSN-RNC, RNC-Node B, dan Node B-UE.

➤ GGSN-SGSN

Hubungan antara GGSN dan SGSN menggunakan *Fast Ethernet* dengan kecepatan transmisi data sebesar 100 Mbps sesuai standard IEEE 802.3. Sehingga nilai *delay* transmisi yang terjadi sesuai dengan persamaan 2-61

$$t_{T1} = \frac{W_{frame GGSN}}{C_{eth}} x 8$$

$$= \frac{2540}{10^8 bps} x 8$$

$$= 2,032 \cdot 10^{-4} s$$

➤ SGSN-RNC

Hubungan antara SGSN dan RNC menggunakan *interface* sistem transmisi digital STM-1 yang memberikan kecepatan data sebesar 155,52 Mbps sesuai standard ITU-T G.703. Sehingga nilai *delay* transmisi yang terjadi sesuai dengan persamaan 2-62

$$t_{T2} = \frac{W_{frame SGSN}}{C_{ATM}} x 8$$

$$= \frac{2809}{155,52 \cdot 10^6 bps} x 8$$

$$= 1,44496 \cdot 10^{-4} s$$

➤ RNC-Node B

Hubungan antara RNC dan *Node B* menggunakan *interface* sistem transmisi digital STM-1 yang memberikan kecepatan data sebesar 155,52 Mbps sesuai standard ITU-T G.703. Sehingga nilai *delay* transmisi yang terjadi sesuai dengan persamaan 2-62

$$t_{T3} = \frac{W_{frame RNC}}{C_{ATM}} x 8$$

$$= \frac{4028}{155,52 \cdot 10^6 bps} x 8$$

$$= 2,0720 \cdot 10^{-4} s$$

➤ Node B-UE

Delay transmisi yang terjadi antara *Node B* dan UE bergantung pada *data rate* UE serta jumlah slot. Terminal pengguna diasumsikan memiliki *data rate* maksimum sebesar 3,6 Mbps. Jumlah slot ditentukan oleh *chip rate* HSDPA yaitu sebesar 3,84 Mcps. *Chip rate* sebesar 3,84 Mcps selanjutnya dibagi menjadi radio frame 2 ms. Satu slot terdiri dari 2560 *chip* sehingga banyaknya slot adalah:

$$n = \frac{(cr \times rrf)}{2560 \text{ chip}}$$

$$= \frac{3,84 \cdot 10^6 cps \times 2 \cdot 10^{-3} s}{2560 \text{ chip}} = \frac{7680 \text{ chip}}{2560 \text{ chip}} = 3 \text{ slot}$$

Jumlah slot pada *air interface* HSDPA adalah sebanyak 3 slot. Sehingga nilai *delay* transmisi yang terjadi sesuai dengan persamaan 2-61

$$\begin{aligned} t_{T4} &= \frac{W_{frameNodeB}}{n x C_{UE}} x 8 \\ &= \frac{2636}{3 x (3,6 \cdot 10^6) bps} x 8 \\ &= 1,9526 \cdot 10^{-3} s \end{aligned}$$

➤ Delay Transmisi Total

Delay transmisi total yang terjadi sesuai dengan persamaan 2-63

$$\begin{aligned} t_{Tot} &= t_{T1} + t_{T2} + t_{T3} + t_{T4} \\ &= 2,032 \cdot 10^{-4} + 1,44496 \cdot 10^{-4} + 2,0720 \cdot 10^{-4} + 1,9526 \cdot 10^{-3} \\ &= 2,5075 \cdot 10^{-3} s \end{aligned}$$

Hasil analisis nilai *delay* transmisi untuk *bit rate* video CODEC 256 kbps, 320 kbps, dan 384 kbps dapat ditunjukkan pada Tabel 4.12

Tabel 4.12 Hasil Analisis *Delay* Transmisi pada Jaringan HSDPA yang Berbasis IPv6

No.	Bit Rate CODEC Video	Delay Transmisi (s)
1	256 kbps	$1,8223 \cdot 10^{-3}$
2	320 kbps	$2,1781 \cdot 10^{-3}$
3	384 kbps	$2,5075 \cdot 10^{-3}$

(Sumber: Hasil Perhitungan)

Berdasarkan hasil analisis perhitungan analisis *delay* transmisi di atas, besar *delay* transmisi dipengaruhi oleh bit rate CODEC video dan kecepatan pemrosesan data di setiap *node*. Semakin besar bit rate CODEC video yang digunakan, mengakibatkan besar *payload* video *streaming* yang akan ditransmisikan juga semakin besar. Oleh karena itu, besar *delay* transmisi yang dihasilkan semakin besar pula. Selain itu, kecepatan pemrosesan yang besar akan melewatkkan paket data yang lebih cepat sehingga *delay* transmisi yang dihasilkan akan semakin kecil.

4.5.2.3. Delay Propagasi

Analisis perhitungan *delay* propagasi meliputi: GGSN - SGSN – RNC – *Node B* – UE dimana propagasi antara GGSN hingga Node B menggunakan media *fiber optic*, sedangkan propagasi antara Node B dengan UE menggunakan media udara. Referensi



jarak antar *node* pada jaringan HSDPA yang digunakan dalam analisis perhitungan *delay* propagasi ditunjukkan pada Tabel 2.5.

➤ ***Delay Propagasi dari GGSN ke SGSN***

Hubungan antara GGSN ke SGSN menggunakan *fiber optic* dengan jarak 2000 m. Nilai *delay* propagasi antara GGSN dengan SGSN sesuai dengan persamaan 2-64

$$\begin{aligned} t_{P1} &= \frac{N_{\text{frame GGSN}} \times R}{v} \\ &= \frac{2 \times 2.10^3}{3.10^8} \\ &= 1,3333.10^{-5} \text{ s} \end{aligned}$$

➤ ***Delay Propagasi dari SGSN ke RNC***

Hubungan antara SGSN ke RNC menggunakan *fiber optic* dengan jarak 3000 m. Nilai *delay* propagasi antara SGSN dengan RNC sesuai dengan persamaan 2-64

$$\begin{aligned} t_{P2} &= \frac{N_{\text{frame ATM}} \times R}{v} \\ &= \frac{53 \times 3.10^3}{3.10^8} \\ &= 5,3.10^{-4} \text{ s} \end{aligned}$$

➤ ***Delay Propagasi dari RNC ke Node B***

Hubungan antara RNC dengan *Node B* menggunakan *fiber optic* dengan jarak 400 m. Nilai *delay* propagasi antara RNC dengan *Node B* sesuai dengan persamaan 2-64

$$\begin{aligned} t_{P3} &= \frac{N_{\text{frame ATM}} \times R}{v} \\ &= \frac{76 \times 400}{3.10^8} \\ &= 1,0133.10^{-4} \text{ s} \end{aligned}$$

➤ ***Delay Propagasi dari Node B ke UE***

Hubungan antara *Node B* dengan UE menggunakan media udara dengan jarak antara *Node B* dengan UE diasumsikan 1500 m. Nilai *delay* propagasi antara RNC dengan *Node B* sesuai dengan persamaan 2-64

$$\begin{aligned} t_{P4} &= \frac{N_{TBS} x R}{v} \\ &= \frac{3 x 1500}{3.10^8} \\ &= 1,5 \cdot 10^{-5} \text{ s} \end{aligned}$$

➤ Delay Propagasi Total

Delay propagasi total yang terjadi pada jaringan HSDPA terdiri dari penjumlahan *delay* propagasi yang terjadi pada tiap *interface* jaringan sesuai dengan persamaan 2-65:

$$\begin{aligned} t_{\text{Tot}} &= t_{P1} + t_{P2} + t_{P3} + t_{P4} \\ &= 1,3333 \cdot 10^{-5} + 5,3 \cdot 10^{-4} + 1,0133 \cdot 10^{-4} + 1,5 \cdot 10^{-5} \\ &= 6,5966 \cdot 10^{-4} \text{ s} \end{aligned}$$

Hasil analisis nilai *delay* propagasi untuk *bit rate* video CODEC 256 kbps, 320 kbps, dan 384 kbps dapat ditunjukkan pada Tabel 4.13

Tabel 4.13 Hasil Analisis *Delay* Propagasi pada Jaringan HSDPA yang Berbasis IPv6

No.	Bit Rate CODEC Video	Delay Propagasi (s)
1	256 kbps	$4,9167 \cdot 10^{-4}$
2	320 kbps	$5,7633 \cdot 10^{-4}$
3	384 kbps	$6,5966 \cdot 10^{-4}$

(Sumber: Hasil Perhitungan)

Besar *delay* propagasi pada jaringan HSDPA dipengaruhi oleh jarak antar node dan bit rate CODEC video. Semakin besar jarak antar node serta semakin jauh jarak Node B terhadap UE, maka *delay* propagasi yang dihasilkan akan semakin besar. Selain itu, penggunaan bit rate CODEC video mempengaruhi besar *payload* video streaming. Sehingga, jumlah *frame* yang ditransmisikan akan meningkat seiring dengan penambahan besar *payload* dari video *streaming*. Sehingga, semakin besar bit rate CODEC video yang digunakan maka besar *delay* propagasi yang dihasilkan semakin besar.

4.5.2.4 Delay Antrian

Delay antrian terjadi pada GGSN, SGSN, RNC, dan Node B dengan menggunakan model antrian M/M/1. Pada GGSN digunakan standar *Fast Ethernet*



dengan kecepatan 100 Mbps dengan panjang data 2540 byte. Besar laju pelayanan paket data didapatkan sesuai dengan persamaan 2-67

$$\begin{aligned}\mu_{GGSN} &= \frac{C_{GGSN}}{L} \\ &= \frac{10^8}{2540 \times 8} \\ &= 4921,26 \text{ paket / s}\end{aligned}$$

Pada SGSN digunakan standart *Fast Ethernet* 100 Base-Fx yang memiliki kecepatan data 100 Mbps dengan panjang data sebesar 2809 byte. Besar laju pelayanan paket data didapatkan sesuai dengan persamaan 2-67

$$\begin{aligned}\mu_{SGSN} &= \frac{C_{SGSN}}{L} \\ &= \frac{10^8}{2809 \times 8} \\ &= 4449,98 \text{ paket / s}\end{aligned}$$

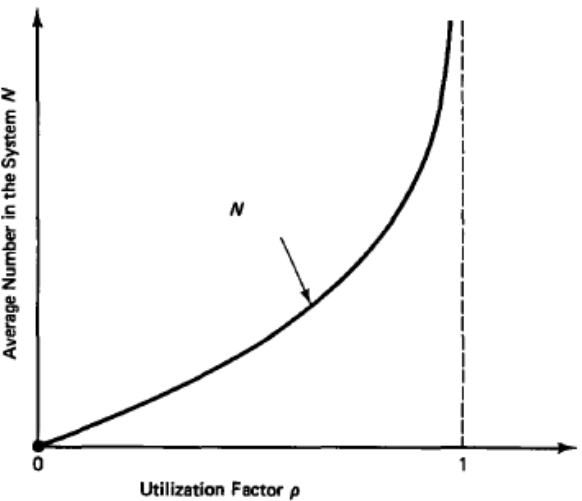
Pada RNC digunakan *interface* sistem transmisi ATM STM-1 yang memberikan kecepatan data sebesar 155,52 Mbps dengan panjang data sebesar 4028 byte. Besar laju pelayanan paket data didapatkan sesuai dengan persamaan 2-67

$$\begin{aligned}\mu_{RNC} &= \frac{C_{RNC}}{L} \\ &= \frac{155,52 \cdot 10^6}{4028 \times 8} \\ &= 4826,22 \text{ paket / s}\end{aligned}$$

Pada Node B digunakan *interface* sistem transmisi ATM STM-1 yang memberikan kecepatan data sebesar 155,52 Mbps dengan panjang data 2636 byte. Besar laju pelayanan paket data didapatkan sesuai dengan persamaan 2-67

$$\begin{aligned}\mu_{Node\ B} &= \frac{C_{Node\ B}}{L} \\ &= \frac{155,52 \cdot 10^6}{2636 \times 8} \\ &= 7374,81 \text{ paket / s}\end{aligned}$$

Dalam analisis perhitungan *delay* antrian ini diasumsikan bahwa besar faktor utilisasi (ρ) berubah-ubah antara nilai 0,1 sampai dengan 0,9. Faktor utilisasi yang berubah-ubah mengindikasikan banyaknya *user* yang berada dalam antrian (Dimitri Bertsekas and Robert Gallager, 1987: 129) seperti yang ditunjukkan pada Gambar 4.14



Gambar 4.14 Hubungan antara Faktor Utilitas terhadap Banyaknya User dalam Sistem Antrian

(Sumber: Dimitri Bertsekas and Robert Gallager, 1987: 129)

Dari masing-masing nilai ρ dapat ditentukan laju kedatangan paket (λ) sesuai dengan persamaan 2-69

$$\begin{aligned}\lambda_{GGSN} &= \mu_{GGSN} \times \rho_{GGSN} \\ &= 4921,26 \times 0,1 \\ &= 492,126 \text{ paket/s}\end{aligned}$$

$$\begin{aligned}\lambda_{SGSN} &= \mu_{SGSN} \times \rho_{SGSN} \\ &= 4449,98 \times 0,1 \\ &= 444,998 \text{ paket/s}\end{aligned}$$

$$\begin{aligned}\lambda_{RNC} &= \mu_{RNC} \times \rho \\ &= 4826,22 \times 0,1 \\ &= 482,622 \text{ paket/s}\end{aligned}$$

$$\begin{aligned}\lambda_{Node\ B} &= \mu_{Node\ B} \times \rho \\ &= 7374,81 \times 0,1 \\ &= 737,481 \text{ paket/s}\end{aligned}$$

Kemudian, dapat ditentukan *delay* antrian sesuai dengan persamaan 2-70

$$\begin{aligned} t_{w1} &= \frac{\lambda_{GGSN}}{\mu_{GGSN}(\mu_{GGSN} - \lambda_{GGSN})} + \frac{1}{\mu_{GGSN}} \\ &= \frac{492,126}{4921,26 \cdot (4921,26 - 492,126)} + \frac{1}{4921,26} \\ &= 2,2578 \cdot 10^{-4} \text{ s} \end{aligned}$$

$$\begin{aligned} t_{w2} &= \frac{\lambda_{SGSN}}{\mu_{SGSN}(\mu_{SGSN} - \lambda_{SGSN})} + \frac{1}{\mu_{SGSN}} \\ &= \frac{444,998}{4449,98 \cdot (4449,98 - 444,998)} + \frac{1}{4449,98} \\ &= 2,4969 \cdot 10^{-4} \text{ s} \end{aligned}$$

$$\begin{aligned} t_{w3} &= \frac{\lambda_{RNC}}{\mu_{RNC}(\mu_{RNC} - \lambda_{RNC})} + \frac{1}{\mu_{RNC}} \\ &= \frac{482,622}{4826,22 \cdot (4826,22 - 482,622)} + \frac{1}{4826,22} \\ &= 2,3022 \cdot 10^{-4} \text{ s} \end{aligned}$$

$$\begin{aligned} t_{w4} &= \frac{\lambda_{NodeB}}{\mu_{NodeB}(\mu_{NodeB} - \lambda_{NodeB})} + \frac{1}{\mu_{NodeB}} \\ &= \frac{737,481}{7374,81 \cdot (7374,81 - 737,481)} + \frac{1}{7374,81} \\ &= 1,5066 \cdot 10^{-4} \text{ s} \end{aligned}$$

Delay antrian total yang terjadi pada jaringan HSDPA dengan faktor utilisasi 0,1 sesuai dengan persamaan 2-70 adalah sebagai berikut:

$$\begin{aligned} t_{wtot} &= t_{w1} + t_{w2} + t_{w3} + t_{w4} \\ &= 2,2578 \cdot 10^{-4} + 2,4969 \cdot 10^{-4} + 2,3022 \cdot 10^{-4} + 1,5066 \cdot 10^{-4} \\ &= 8,5635 \cdot 10^{-4} \text{ s} \end{aligned}$$

Hasil analisis *delay* antrian yang terjadi pada GGSN, SGSN, RNC, dan Node B terhadap perubahan faktor utilisasi dan berdasarkan *bit rate* video CODEC sebesar 256 kbps, 320 kbps, dan 384 kbps ditunjukkan pada tabel. 4.14



Tabel 4.14 Hasil Analisis *Delay Antrian* pada Jaringan HSDPA yang Berbasis IPv6

No.	Faktor Utilisasi	Delay Antrian untuk bit rate CODEC video 256 kbps (s)	Delay Antrian untuk bit rate CODEC video 382 kbps (s)	Delay Antrian untuk bit rate CODEC video 384 kbps (s)
1	0,1	$6,2751 \cdot 10^{-4}$	$7,4436 \cdot 10^{-4}$	$8,5635 \cdot 10^{-4}$
2	0,2	$7,0595 \cdot 10^{-4}$	$8,3741 \cdot 10^{-4}$	$9,6340 \cdot 10^{-4}$
3	0,3	$8,0680 \cdot 10^{-4}$	$9,5704 \cdot 10^{-4}$	$1,1010 \cdot 10^{-3}$
4	0,4	$9,4127 \cdot 10^{-4}$	$1,1165 \cdot 10^{-3}$	$1,2845 \cdot 10^{-3}$
5	0,5	$1,1295 \cdot 10^{-3}$	$1,3399 \cdot 10^{-3}$	$1,5414 \cdot 10^{-3}$
6	0,6	$1,4119 \cdot 10^{-3}$	$1,6748 \cdot 10^{-3}$	$1,9268 \cdot 10^{-3}$
7	0,7	$1,8825 \cdot 10^{-3}$	$2,2331 \cdot 10^{-3}$	$2,5691 \cdot 10^{-3}$
8	0,8	$2,8238 \cdot 10^{-3}$	$3,3496 \cdot 10^{-3}$	$3,8536 \cdot 10^{-3}$
9	0,9	$5,6476 \cdot 10^{-3}$	$6,6993 \cdot 10^{-3}$	$7,7072 \cdot 10^{-3}$

(Sumber: Hasil Perhitungan)

Besar *delay antrian* pada jaringan HSDPA dipengaruhi oleh faktor utilitas dan bit rate CODEC video. Besarnya faktor utilitas menunjukkan besar pemakaian user pada *node-node*. Sehingga, semakin besar faktor utilitas maka besar *delay antrian* yang digunakan akan semakin besar.

Selain itu, penggunaan bit rate CODEC video yang semakin besar mempengaruhi besar *payload* dari video streaming. Oleh karena itu, laju pelayanan paket video *streaming* pada setiap *node* akan semakin besar seiring dengan penambahan *payload* video *streaming*. Sehingga, semakin besar bit rate CODEC video maka besar *delay antrian* yang dihasilkan akan semakin besar pula.

4.5.2.5 Delay End to End

Perhitungan *delay proses*, *delay transmisi*, *delay propagasi*, dan *delay antrian* akan mendapatkan *delay* jaringan HSDPA. Sesuai dengan persamaan 2-11 didapatkan *delay* jaringan HSDPA yang menggunakan IPv6 dengan *bit rate* video CODEC sebesar 384 kbps dan faktor utilisasi sebesar 0,1, yaitu:

$$\begin{aligned}
 t_{\text{net}} &= t_{\text{proc}} + t_{\text{Ttot}} + t_{\text{Ptot}} + t_{\text{Wtot}} \\
 &= 1,9303 \cdot 10^{-3} \text{s} + 2,5075 \cdot 10^{-3} \text{s} + 6,5966 \cdot 10^{-4} \text{s} + 8,5635 \cdot 10^{-4} \text{s} \\
 &= 5,9538 \cdot 10^{-3}
 \end{aligned}$$

Sehingga nilai *delay end to end* aplikasi video *streaming* pada jaringan HSDPA yang menggunakan IPv6 dengan *bit rate* video CODEC sebesar 384 kbps dan faktor utilisasi sebesar 0,1 sesuai dengan persamaan 2.10 adalah



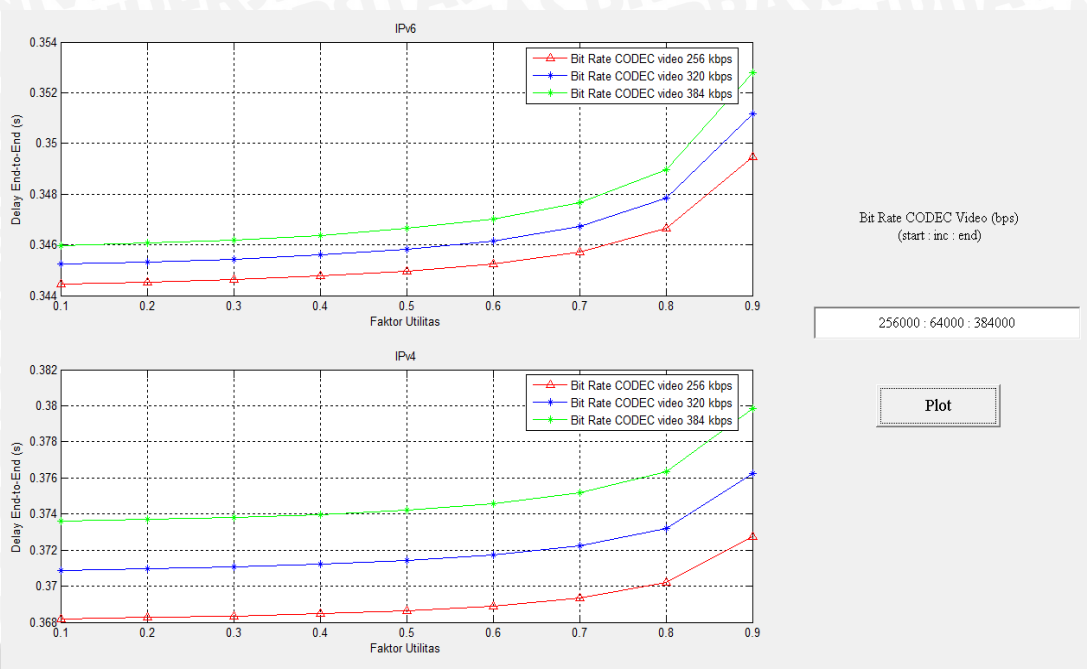
$$\begin{aligned}t_{\text{end to end}} &= t_{\text{CODEC}} + t_{\text{net}} \\&= 3,4 \cdot 10^{-1} + 5,9538 \cdot 10^{-3} = 345,9538 \text{ ms}\end{aligned}$$

Berdasarkan hasil analisis di atas, hasil perhitungan *delay end to end* untuk *bit rate* CODEC video sebesar 256 kbps, 320 kbps, dan 384 kbps serta dengan faktor utilisasi sebesar 0,1 sampai dengan 0,9 ditunjukkan pada tabel 4.15. Sedangkan hubungan antara *delay end-to-end* terhadap faktor utilitas dengan bit rate CODEC video yang berubah-ubah dapat dilihat pada Gambar 4.15.

Tabel 4.15 Hasil Analisis *Delay End to End* Aplikasi Video *Streaming* pada Jaringan HSDPA yang Berbasis IPv6 dengan Bit Rate CODEC Video yang Berubah-ubah

No.	Faktor Utilisasi	Delay End to End (ms)		
		Bit Rate CODEC video 256 kbps	Bit Rate CODEC video 320 kbps	Bit Rate CODEC video 384 kbps
1	0,1	344,4598	345,2278	345,9538
2	0,2	344,5382	345,3208	346,0609
3	0,3	344,6391	345,4405	346,1985
4	0,4	344,7735	345,5999	346,3820
5	0,5	344,9618	345,8233	346,6389
6	0,6	345,2442	346,1582	347,0243
7	0,7	345,7148	346,7165	347,6666
8	0,8	346,6561	347,8331	348,9511
9	0,9	349,4799	351,1827	352,8047

(Sumber: Hasil Perhitungan)



Gambar 4.15 Hubungan *Delay End-to-End* terhadap Faktor Utilitas

dengan Bit Rate CODEC Video yang Berubah-ubah

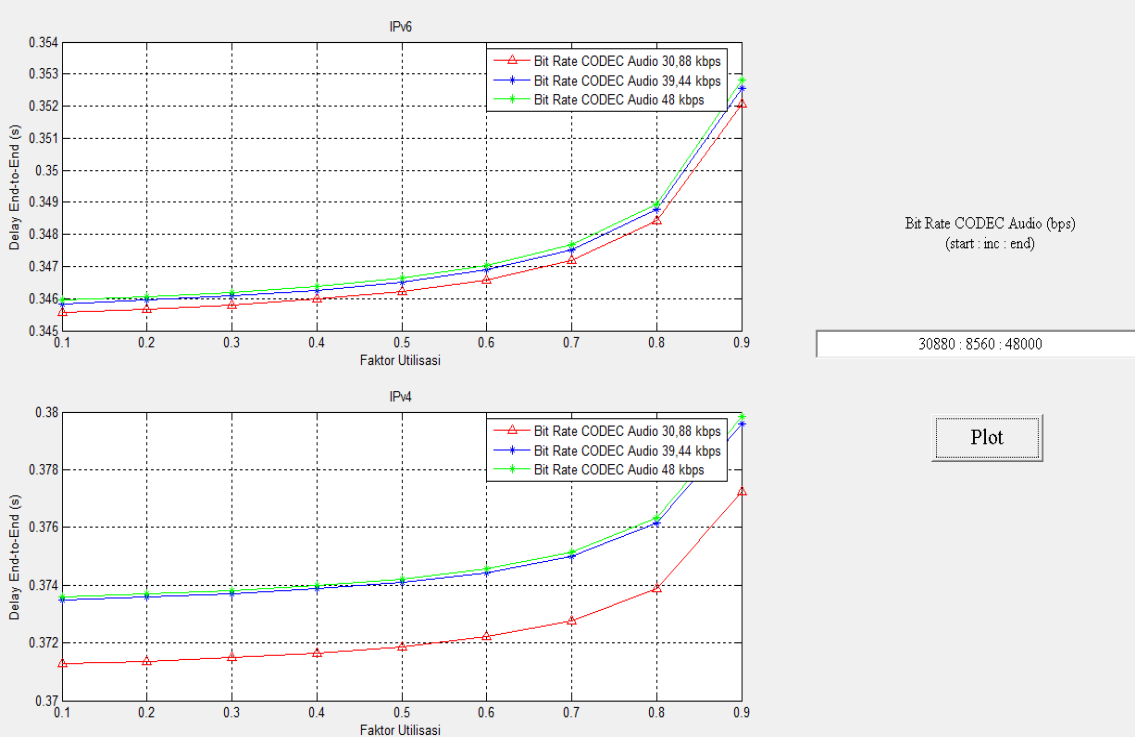
(Sumber: Hasil Perhitungan)

Dengan menggunakan cara yang sama, hasil analisis besar *delay end-to-end* aplikasi video *streaming* dengan *bit rate* CODEC audio yang berubah-ubah dan *bit rate* CODEC video yang tetap dapat ditunjukkan pada tabel 4.16. Sedangkan hubungan antara *delay end-to-end* terhadap faktor utilitas dengan *bit rate* CODEC audio yang berubah-ubah dapat dilihat pada Gambar 4.16

Tabel 4.16 Hasil Analisis *Delay End to End* Aplikasi Video *Streaming* pada Jaringan HSDPA yang Berbasis IPv6 dengan bit rate CODEC audio yang berubah-ubah

No.	Faktor Utilisasi	Delay End to End (ms)		
		Bit Rate CODEC audio 30,88 kbps	Bit Rate CODEC audio 39,44 kbps	Bit Rate CODEC video 48 kbps
1	0,1	345,5776	345,8421	345,9539
2	0,2	345,6789	345,9469	346,0609
3	0,3	345,8091	346,0815	346,1985
4	0,4	345,9827	346,2611	346,3820
5	0,5	346,2258	346,5125	346,6389
6	0,6	346,5904	346,8896	347,0243
7	0,7	347,1981	347,5180	347,6666
8	0,8	348,4134	348,7749	348,9511
9	0,9	352,0594	352,5456	352,8047

(Sumber: Hasil Perhitungan)



Gambar 4.16 Hubungan *Delay End-to-End* terhadap Faktor Utilitas

dengan Bit Rate CODEC Audio yang Berubah-ubah

(Sumber: Hasil Perhitungan)

Dari hasil analisis perhitungan dan grafik *delay end-to-end* di atas dapat kita ketahui bahwa:

1. Analisis performansi perhitungan delay end-to-end meliputi delay CODEC dan delay pada jaringan HSDPA. *Delay* CODEC dipengaruhi oleh bit rate CODEC yang digunakan dalam aplikasi video *streaming*. Sedangkan delay jaringan HSDPA meliputi delay proses yang dipengaruhi oleh kecepatan pemrosesan pada pengirim dan penerima, *delay* transmisi yang dipengaruhi oleh kecepatan pemrosesan di setiap node, *delay* propagasi yang dipengaruhi jarak antar *node* dan media propagasi yang digunakan, serta *delay* antrian yang dipengaruhi oleh faktor utilitas pada jaringan.
2. Penggunaan *bit rate* CODEC video maupun audio pada aplikasi video *streaming* mempengaruhi konsumsi *bandwidth* dan besar *payload* dari aplikasi video *streaming*. Oleh karena itu, penggunaan *bit rate* CODEC video maupun audio yang digunakan mempengaruhi besar *delay end-to-end* jaringan HSDPA pada aplikasi video *streaming*.

3. Faktor utilisasi menunjukkan besarnya pemakaian jaringan oleh *user*. Besarnya faktor utilitas mempengaruhi waktu pemrosesan paket di setiap *node*. Hal ini mengakibatkan nilai *delay* antrian menjadi lebih besar sehingga *delay end-to-end* juga menjadi lebih besar.
4. Besar *delay end to end* yang menerapkan IPv4 lebih besar karena adanya penambahan *delay header checksum*.
5. Pada panjang paket data yang sama, semakin besar faktor utilisasi maka semakin besar pula nilai *delay end-to-end*.
6. Besarnya *delay end-to-end* aplikasi video *streaming* pada jaringan HSDPA yang menggunakan IPv6 paling kecil adalah 344,4598 ms, saat menggunakan *bit rate* CODEC video 256 kbps dan bit rate CODEC audio 48 kbps dengan faktor utilitas sebesar 0,1. Sedangkan besarnya *delay end-to-end* terbesar adalah 352,8047 ms yang terjadi pada saat menggunakan *bit rate* CODEC video 384 kbps dan bit rate CODEC audio 48 kbps dengan faktor utilisasi sebesar 0,9.
7. Besarnya nilai *delay end-to-end* aplikasi video *streaming* pada jaringan HSDPA yang menggunakan IPv6 masih memenuhi standard ITU.T G.1010 untuk layanan video *streaming*, yaitu < 10 s.

4.6 Analisis Perhitungan Probabilitas *Packet Loss*

Probabilitas *packet loss* untuk aplikasi video *streaming* pada jaringan HSDPA dihitung dari probabilitas *packet loss* pada *server* yang terhubung ke jaringan internet, serta probabilitas *packet loss* pada jaringan HSDPA.

4.6.1 Probabilitas *Packet Loss* pada Server

Probabilitas *packet loss* pada server didapatkan sesuai dengan persamaan 2.74

$$\begin{aligned}\rho_{VS} &= P_{VS\text{-size}} \times \rho_b \\ &= (19136) \times 10^{-8} = 1,9136 \cdot 10^{-4}\end{aligned}$$

Hasil analisis nilai *packet loss* aplikasi video *streaming* untuk *bit rate* video CODEC 256 kbps, 320 kbps, dan 384 kbps dapat ditunjukkan pada Tabel 4.17



Tabel 4.17 Hasil Analisis Probabilitas *Packet Loss* pada Server

No.	<i>Bit Rate CODEC Video</i>	Probabilitas <i>Packet Loss</i> Aplikasi Video Streaming (ρ_{vs})
1	256 kbps	$1,3936 \cdot 10^{-4}$
2	320 kbps	$1,6536 \cdot 10^{-4}$
3	384 kbps	$1,9136 \cdot 10^{-4}$

(Sumber: Hasil Perhitungan)

Besar probabilitas *packet loss* video *streaming* dipengaruhi oleh bit rate CODEC video yang digunakan. Semakin besar bit rate CODEC video yang digunakan, maka besar *payload* video *streaming* yang dihasilkan akan semakin besar. Oleh karena itu, besar paket loss yang digunakan akan semakin besar pula.

4.6.2 Probabilitas *Packet Loss* pada Jaringan HSDPA

Probabilitas BER (P_b) pada jaringan HSDPA dengan menggunakan modulasi 16-QAM dapat dihitung dengan persamaan 2-76:

$$P_b = \frac{4 \sqrt{M} - 1}{\sqrt{M} \cdot \log_2 M} \cdot Q \left(\sqrt{\frac{3 \frac{E_b}{N_o} \log_2 M}{M - 1}} \right)$$

Parameter yang diperlukan dalam perhitungan SNR dapat diperoleh menggunakan parameter pada tabel 4.2, yaitu:

$$PG = 12 \text{ dB}$$

$$NF = 8 \text{ dB}$$

$$P_t = 43 \text{ dBm}$$

$$L_t = 2 \text{ dB}$$

$$L_r = 0 \text{ dB}$$

$$G_t = 18 \text{ dBi}$$

$$G_r = 2 \text{ dBi}$$

Besar daya noise dapat diperoleh menggunakan persamaan 2-81 sebagai berikut:

$$\begin{aligned} N &= 10 \log k \cdot T + 10 \log B + NF \\ &= 10 \log (1,381 \times 10^{-23} \times 300) + 10 \log (5 \times 10^6) + 8 \\ &= -203,827 + 66,989 + 8 \end{aligned}$$



$$= -128,837 \text{ dBm}$$

Selanjutnya, nilai daya yang diterima dapat diperoleh sebagai berikut:

$$\text{FSL} = 20 \log\left(\frac{4\pi d}{\lambda}\right)$$

$$\text{Dengan } \lambda = \frac{c}{f}$$

$$= \frac{3 \times 10^8}{2,1 \times 10^9}$$

$$= 0,14 \text{ m}$$

Maka akan diperoleh nilai *free space loss* (FSL) sebagai berikut :

$$\text{FSL} = 20 \log\left(\frac{4 \times 3,14 \times 1500}{0,14}\right)$$

$$= 102,5719 \text{ dB}$$

Selanjutnya, nilai daya yang diterima UE adalah sebagai berikut:

$$P_r (\text{dBm}) = P_t - \text{FSL} - L_t - L_r + G_r + G_t$$

$$P_r (\text{dBm}) = 43 - 102,5719 - 2 - 0 + 18 + 2$$

$$= -41,5719 \text{ dBm}$$

Sehingga, besar SNR dapat diperoleh sebagai berikut:

$$\text{SNR} = P_r - N$$

$$= -41,5719 - (-128,837)$$

$$= 87,2653 \text{ dB}$$

Besar Eb/No dapat diperoleh sebagai berikut:

$$\frac{\text{Eb}}{\text{No}} (\text{dB}) = \frac{S}{N} - 10 \log \frac{B}{R}$$

$$= 87,2653 - 10 \log \frac{5 \cdot 10^6}{3,6 \cdot 10^6}$$

$$= 85,8386 \text{ dB}$$

Perhitungan probabilitas BER pada jaringan HSDPA dengan modulasi 16-QAM dapat diperoleh sebagai berikut:



$$\begin{aligned}
 P_b &= \frac{4 \sqrt{M} - 1}{\sqrt{M} \cdot \log_2 M} \cdot Q \left(\sqrt{\frac{3 \frac{E_b}{N_o} \log_2 M}{M - 1}} \right) \\
 &= \frac{4(\sqrt{16} - 1)}{\sqrt{16} \cdot \log_2 16} \cdot \frac{1}{2} erfc \left(\sqrt{\frac{3 \cdot \frac{E_b}{N_o} \cdot \log_2 16}{16 - 1}} \right) \\
 &= 4,3630 \cdot 10^{-17}
 \end{aligned}$$

Sehingga, besar probabilitas packet loss pada Jaringan HSDPA dapat dihitung sebagai berikut:

$$\begin{aligned}
 \rho_{HSDPA} &= P_{VStot} \times \rho_{b-HSDPA} \\
 &= (21088) \times 4,3630 \cdot 10^{-17} \\
 &= 9,2007 \cdot 10^{-13}
 \end{aligned}$$

Besar probabilitas *packet loss* pada jaringan HSDPA dipengaruhi oleh jenis modulasi yang digunakan. HSDPA dapat menggunakan dua jenis modulasi, yaitu QPSK dan 16-QAM. Pada skripsi ini, jenis modulasi yang digunakan adalah 16-QAM dengan nilai $M = 2^4 = 16$. Apabila jenis modulasi yang digunakan adalah QPSK, nilai $M = 2^2 = 4$. Semakin besar ukuran konstelasi sinyal (M), maka besar *packet loss* yang dihasilkan akan semakin kecil.

4.6.3. Probabilitas *Packet Loss Total*

Probabilitas *packet loss* untuk aplikasi video *streaming* pada jaringan HSDPA dapat diperoleh menggunakan persamaan 2.72

$$\begin{aligned}
 \rho_{tot} &= 1 - [(1 - \rho_{network})(1 - \rho_{vs})] \\
 &= 1 - [(1 - 9,2007 \cdot 10^{-13})(1 - 1,3936 \cdot 10^{-4})] \\
 &= 1,9136 \cdot 10^{-4}
 \end{aligned}$$

Prosentase *packet loss* dihitung sebagai berikut:

$$\begin{aligned}
 \text{packet loss}(\%) &= \frac{N_{\text{packet loss}}}{N_{\text{paket}} + N_{\text{packet loss}}} \times 100 \% \\
 &= \frac{5}{21088} \times 100 \% \\
 &= 0,0237 \%
 \end{aligned}$$

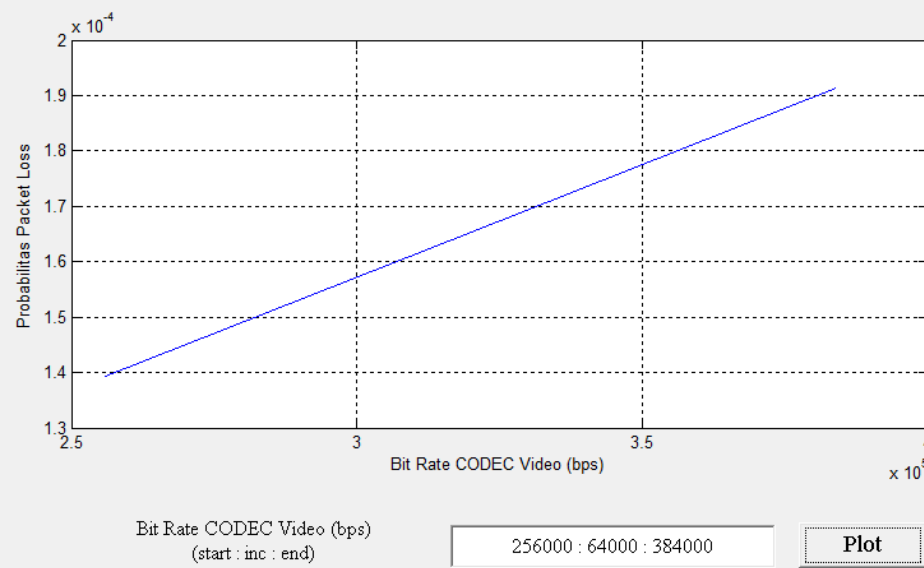


Menggunakan cara yang sama, akan didapatkan besar probabilitas *packet loss* total untuk *bit rate* CODEC video sebesar 256 kbps, 320 kbps, dan 384 kbps yang ditunjukkan pada tabel 4.18. Sedangkan hubungan antara probabilitas packet loss dan bit rate CODEC video dapat dilihat pada Gambar 4.17

Tabel 4.18 Hasil Analisis Probabilitas *Packet Loss* Aplikasi Video Streaming pada Jaringan HSDPA yang Berbasis IPv6 dengan Bit Rate CODEC Video yang Berubah-ubah

No.	Bit Rate CODEC Video	Probabilitas <i>Packet Loss</i> Total
1	256 kbps	$1,3936 \cdot 10^{-4}$
2	320 kbps	$1,6536 \cdot 10^{-4}$
3	384 kbps	$1,9136 \cdot 10^{-4}$

(Sumber: Hasil Perhitungan)



Gambar 4.17 Hubungan Probabilitas *Packet Loss* terhadap Bit Rate CODEC Video
(Sumber: Hasil Perhitungan)

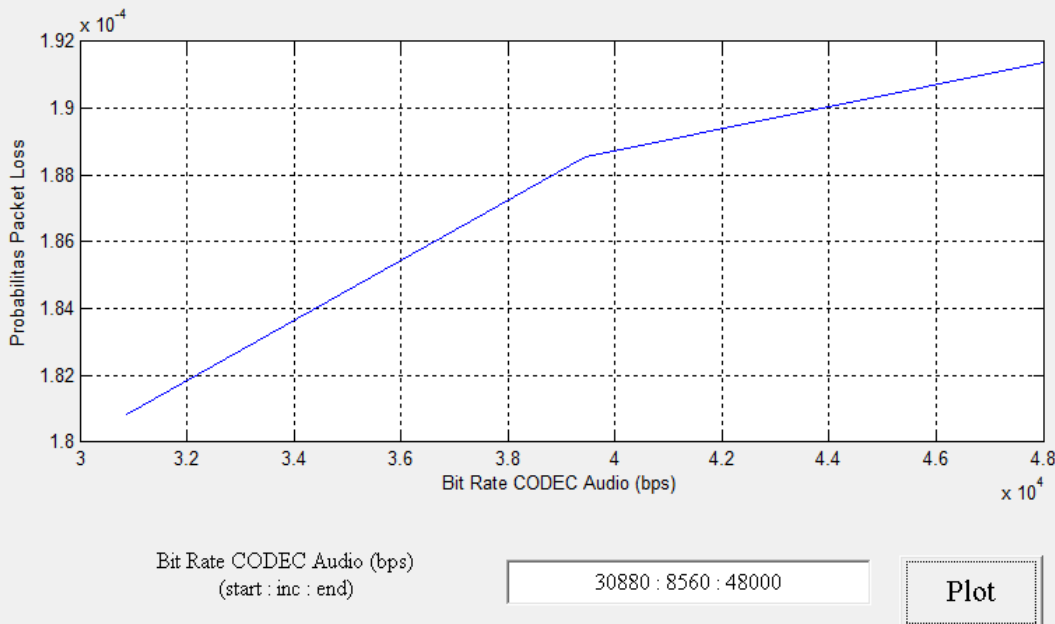
Dengan menggunakan cara yang sama akan didapatkan besar probabilitas *packet loss* total untuk *bit rate* CODEC audio berubah-ubah sebesar 30,88 kbps, 39,44 kbps, dan 48 kbps dengan bit rate CODEC video tetap sebesar 384 kbps serta faktor utilitas antara 0,1 sampai dengan 0,9 yang ditunjukkan pada tabel 4.19. Sedangkan hubungan

antara probabilitas packet loss dan bit rate CODEC video dapat dilihat pada Gambar 4.18

Tabel 4.19 Hasil Analisis Probabilitas *Packet Loss* Aplikasi Video *Streaming* pada Jaringan HSDPA yang Menggunakan IPv6 dengan bit rate CODEC audio yang berubah-ubah

No.	Bit Rate CODEC Audio	Probabilitas <i>Packet Loss</i> Total
1	30,88 kbps	$1,8083 \cdot 10^{-4}$
2	39,44 kbps	$1,8854 \cdot 10^{-4}$
3	48 kbps	$1,9136 \cdot 10^{-4}$

(Sumber: Hasil Perhitungan)



Gambar 4.18 Hubungan Probabilitas *Packet Loss* terhadap Bit Rate CODEC Audio
(Sumber: Hasil Perhitungan)

Dari analisis perhitungan dan grafik *packet loss* di atas, dapat kita ketahui bahwa:

- Analisis probabilitas *packet loss* aplikasi video streaming meliputi probabilitas *packet loss* pada server yang terhubung melalui internet yang dipengaruhi oleh bit rate CODEC yang digunakan serta probabilitas *packet loss* pada jaringan HSDPA yang dipengaruhi oleh SNR, Eb/No, dan jenis modulasi yang digunakan.

2. Kualitas sinyal terima yang baik didapatkan jika nilai SNR dan Eb/No yang semakin besar sehingga probabilitas packet loss yang didapatkan akan semakin kecil.
3. Bit rate CODEC yang digunakan mempengaruhi besar *payload* pada aplikasi video *streaming*. Seiring dengan banyaknya paket data yang ditransmisikan, probabilitas *packet loss* yang dihasilkan akan semakin besar
4. Besar probabilitas packet loss yang didapatkan masih dapat diterima karena tidak melebihi 1% (ITU.T G.1010)

4.7 Analisis *Throughput*

Throughput merupakan parameter yang digunakan untuk mengetahui jumlah paket yang diterima dalam keadaan baik terhadap waktu total transmisi yang dibutuhkan dari *server* hingga ke *user*. Analisis perhitungan *throughput* yang dilakukan dalam skripsi ini adalah hubungan antara *server* hingga ke UE.

Waktu transmisi *frame* untuk *bit rate* CODEC video 384 kbps dapat diperoleh dengan persamaan 2.87:

$$\begin{aligned} t_l &= \frac{Pl_{frame} + H_{frame} \times 8}{C_{trans}} \\ &= \frac{2636 \text{ byte} \times 8}{3,6 \cdot 10^6} \\ &= 5,8578 \cdot 10^{-3} \text{ s} \end{aligned}$$

Sedangkan, *delay* propagasi total dan *delay* proses total untuk satu *frame* pada *bit rate* CODEC video 320 kbps dengan faktor utilisasi 0,1 sesuai dengan persamaan 2.89 dan 2.90 adalah:

$$\begin{aligned} t_p &= \frac{t_{Ptot}}{N_{frame}} \\ &= \frac{6,5966 \cdot 10^{-4}}{1} \\ &= 6,5966 \cdot 10^{-4} \text{ s} \end{aligned}$$

$$\begin{aligned} t_{pro} &= \frac{t_{proc}}{N_{frame}} + \frac{t_{wtot}}{N_{frame}} \\ &= \frac{1,9303 \cdot 10^{-3}}{1} + \frac{8,5635 \cdot 10^{-4}}{1} \\ &= 2,7867 \cdot 10^{-3} \text{ s} \end{aligned}$$



Sehingga *fixed timed out interval* dapat diperoleh sesuai dengan persamaan 2.88 sebesar:

$$\begin{aligned} t_{\text{out}} &= 2t_p + 2t_l + t_{\text{pro}} \\ &= (2 \times 6,5955 \cdot 10^{-4} \text{ s}) + (2 \times 5,8578 \cdot 10^{-3} \text{ s}) + 2,7867 \cdot 10^{-3} \\ &= 1,5821 \cdot 10^{-2} \text{ s} \end{aligned}$$

Maka konstanta α dapat diperoleh sesuai dengan persamaan 2.86, yaitu:

$$\begin{aligned} \alpha &= 1 + \frac{t_{\text{out}}}{t_l} \\ &= 1 + \frac{1,5821 \cdot 10^{-2}}{5,8578 \cdot 10^{-3}} \\ &= 3,7008 \end{aligned}$$

Sehingga besarnya throughput aplikasi video *streaming* pada jaringan HSDPA yang menggunakan IPv6 pada *bit rate* CODEC video 320 kbps dan faktor utilisasi sebesar 0,1 dapat diperoleh sesuai dengan persamaan 2.84 sebesar:

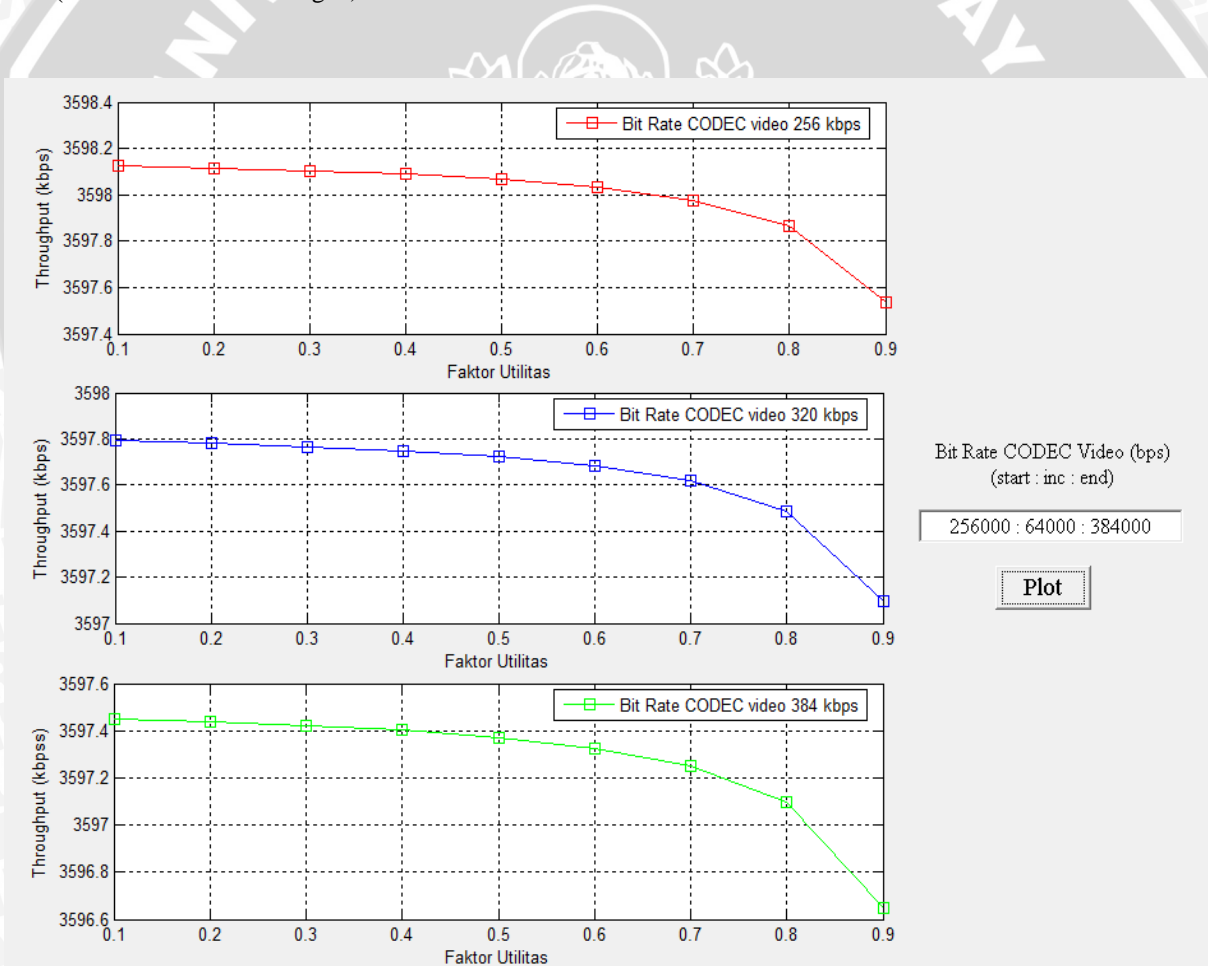
$$\begin{aligned} T &= \frac{(1 - \rho_{\text{tot}})}{t_l [1 + (\alpha - 1)\rho_{\text{tot}}]} \\ &= \frac{(1 - 1,9136 \cdot 10^{-4})}{5,8578 \cdot 10^{-3} [1 + (3,7008 - 1) \cdot 1,9136 \cdot 10^{-4}]} \\ &= 170,5924 \times 2636 \times 8 \text{ bps} \\ &= 3597,4517 \text{ kbps} \end{aligned}$$

Menggunakan cara yang sama akan didapatkan besar *throughput* untuk *bit rate* CODEC video berubah-ubah sebesar 256 kbps, 320 kbps, dan 384 kbps dengan *bit rate* CODEC audio tetap sebesar 48 kbps serta faktor utilitas antara 0,1 sampai dengan 0,9 yang ditunjukkan pada tabel 4.20. Sedangkan hubungan throughput terhadap faktor utilitas serta probabilitas *packet loss* dengan *bit rate* CODEC video yang berubah-ubah dapat dilihat pada Gambar 4.19 dan Gambar 4.20.

Tabel 4.20 Hasil Analisis *Throughput* Aplikasi Video Streaming pada Jaringan HSDPA yang Berbasis IPv6 dengan bit rate CODEC Video yang Berubah-ubah

No.	Faktor Utilisasi	<i>Throughput</i> (kbps)		
		Bit Rate CODEC video 256 kbps	Bit Rate CODEC video 320 kbps	Bit Rate CODEC video 384 kbps
1	0,1	3598,1258	3597,7907	3597,4517
2	0,2	3598,1165	3597,7799	3597,4392
3	0,3	3598,1046	3597,7659	3597,4230
4	0,4	3598,0887	3597,7472	3597,7472
5	0,5	3598,0665	3597,7211	3597,7211
6	0,6	3598,0331	3597,6820	3597,3261
7	0,7	3597,9776	3597,6167	3597,2506
8	0,8	3597,8664	3597,4862	3597,0997
9	0,9	3597,5330	3597,0947	3596,6472

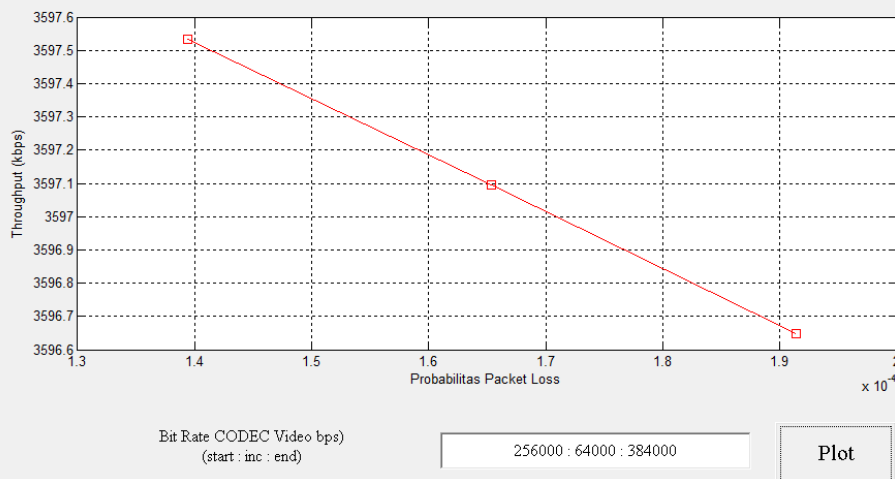
(Sumber: Hasil Perhitungan)



Gambar 4.19 Hubungan *Throughput* terhadap Faktor Utilitas dengan

Bit Rate CODEC Video yang berubah-ubah

(Sumber: Hasil Perhitungan)



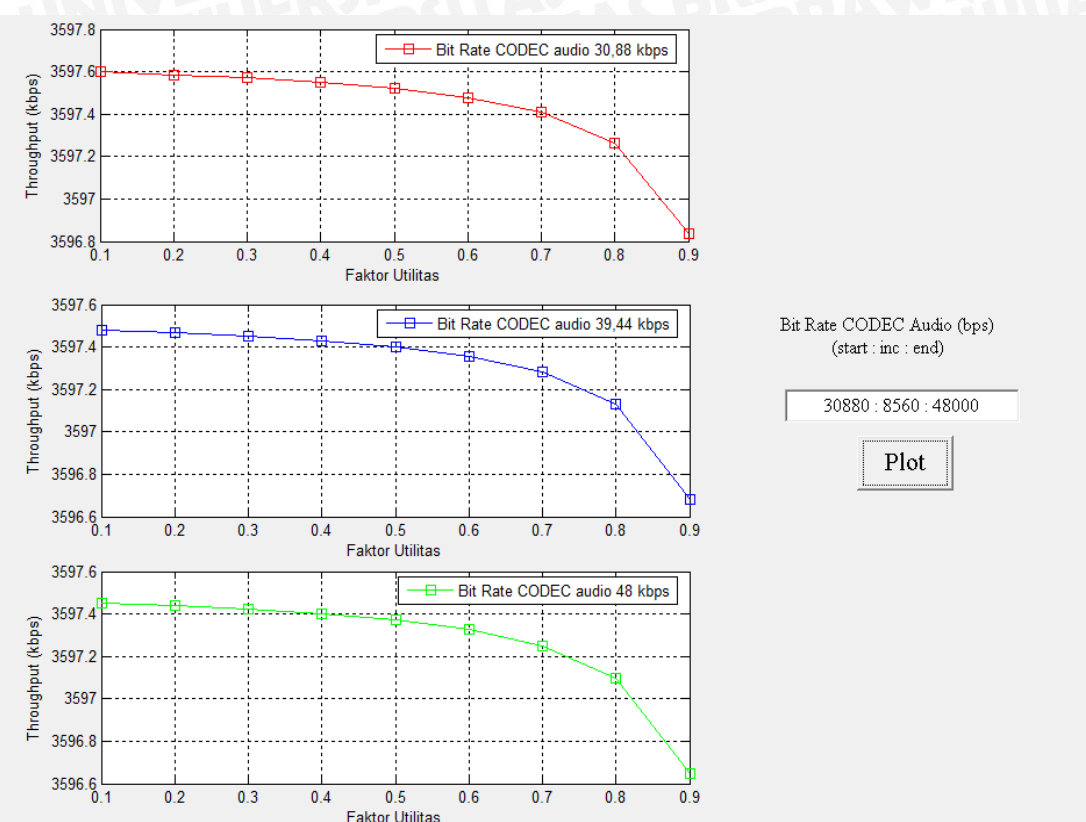
Gambar 4.20 Hubungan Throughput terhadap Probabilitas *Packet Loss* dengan Bit Rate CODEC Video yang berubah-ubah
(Sumber: Hasil Perhitungan)

Dengan menggunakan cara yang sama akan didapatkan besar *throughput* untuk *bit rate* CODEC audio berubah-ubah sebesar 30,88 kbps, 39,44 kbps, dan 48 kbps dengan *bit rate* CODEC video tetap sebesar 384 kbps serta faktor utilitas antara 0,1 sampai dengan 0,9 yang ditunjukkan pada tabel 4.21. Sedangkan hubungan throughput terhadap faktor utilitas dan probabilitas *packet loss* dengan *bit rate* CODEC video yang berubah-ubah dapat dilihat pada Gambar 4.21 dan Gambar 4.22.

Tabel 4.21 Hasil Analisis *Throughput* Aplikasi Video Streaming pada Jaringan HSDPA yang Menggunakan IPv6 dengan *bit rate* CODEC audio yang berubah-ubah

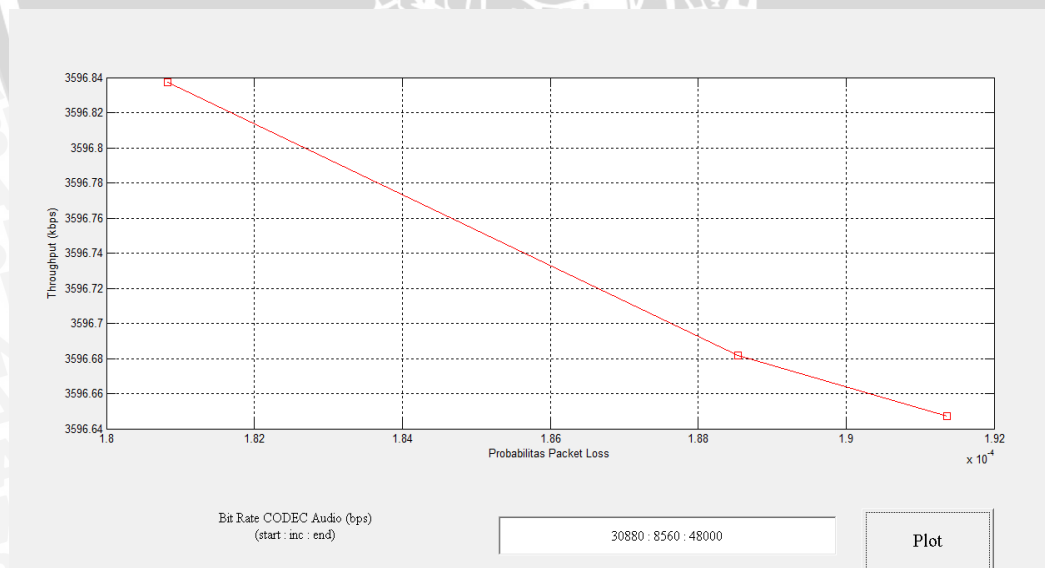
No.	Faktor Utilitas	<i>Throughput</i> (kbps)		
		<i>Bit Rate</i> CODEC audio 30,88 kbps	<i>Bit Rate</i> CODEC audio 39,44 kbps	<i>Bit Rate</i> CODEC audio 48 kbps
1	0,1	3597,5981	3597,4812	3597,4517
2	0,2	3597,5863	3597,4687	3597,4392
3	0,3	3597,5710	3597,4526	3597,4230
4	0,4	3597,5506	3597,4312	3597,7472
5	0,5	3597,5221	3597,4012	3597,7211
6	0,6	3597,4793	3597,3563	3597,3261
7	0,7	3597,4080	3597,2813	3597,2506
8	0,8	3597,2653	3597,1314	3597,0997
9	0,9	3596,8375	3596,6816	3596,6472

(Sumber: Hasil Perhitungan)



Gambar 4.21 Hubungan Throughput terhadap Faktor Utilitas dengan bit rate CODEC audio yang berubah-ubah

(Sumber: Hasil Perhitungan)



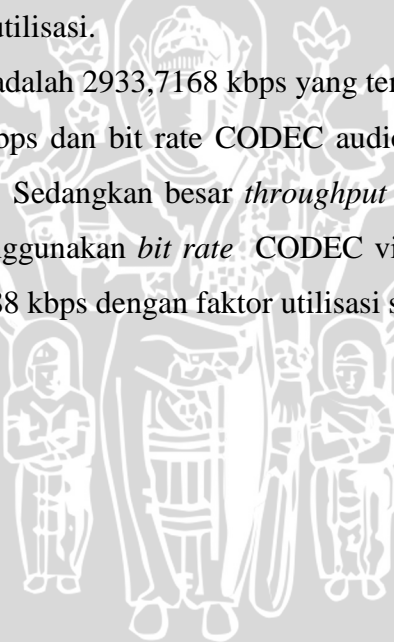
Gambar 4.22 Hubungan Throughput terhadap Probabilitas *Packet Loss*

dengan bit rate CODEC audio yang berubah-ubah

(Sumber: Hasil Perhitungan)

Dari analisis perhitungan dan grafik *throughput*, di atas dapat kita ketahui bahwa:

1. Besarnya *throughput* aplikasi video *streaming* pada jaringan HSDPA yang menggunakan IPv6 dipengaruhi oleh probabilitas packet loss, faktor utilitas, serta bit rate CODEC yang digunakan.
2. Probabilitas packet loss merupakan banyaknya kerusakan data yang terjadi saat sampai di penerima. Sehingga, throughput yang dihasilkan akan semakin kecil seiring dengan meningkatnya nilai probabilitas *packet loss* pada aplikasi video *streaming*.
3. Besar faktor utilisasi menunjukkan besar pemakaian jaringan oleh user. Besarnya faktor utilitas yang semakin besar akan mempengaruhi waktu pemrosesan paket data. Hal ini mengakibatkan besar *throughput* akan semakin kecil seiring dengan meningkatnya nilai faktor utilisasi.
4. Besar *throughput* terbesar adalah 2933,7168 kbps yang terjadi saat menggunakan *bit rate* CODEC video 128 kbps dan *bit rate* CODEC audio sebesar 48 kbps dengan faktor utilisasi sebesar 0,1. Sedangkan besar *throughput* terkecil adalah 2594,2236 kbps yang terjadi saat menggunakan *bit rate* CODEC video 384 kbps dan *bit rate* CODEC audio sebesar 30,88 kbps dengan faktor utilisasi sebesar 0,9.



BAB V

KESIMPULAN

5.1 Kesimpulan

Berdasarkan perhitungan dan analisis tentang performansi video *streaming* pada jaringan HSDPA yang menggunakan IPv6, maka dapat diperoleh kesimpulan sebagai berikut:

1. Penggunaan bit rate CODEC video berpengaruh terhadap konsumsi bandwidth, delay end-to-end, packet loss, serta throughput pada aplikasi video streaming.
2. Berdasarkan hasil analisis *bandwidth* aplikasi video *streaming* pada jaringan HSDPA yang menggunakan IPv6, dapat disimpulkan bahwa:
 - a. *Bandwidth* aplikasi video *streaming* paling besar adalah 566,2879 kbps dengan menggunakan *bit rate* CODEC video sebesar 384 kbps dan *bit rate* CODEC audio sebesar 48 kbps. Sedangkan *bandwidth* aplikasi video *streaming* paling kecil sebesar 185,9394 kbps saat *bit rate* CODEC video sebesar 64 kbps dan *bit rate* CODEC audio sebesar 48 kbps.
 - b. Besarnya *bandwidth* aplikasi video *streaming* dipengaruhi oleh *frame rate* dan *bit rate* CODEC audio maupun video.
3. Berdasarkan hasil analisis *delay end-to-end* aplikasi video *streaming* pada jaringan HSDPA yang menggunakan IPv6, dapat disimpulkan bahwa:
 - a. Besarnya *delay end-to-end* aplikasi video *streaming* pada jaringan HSDPA yang menggunakan IPv6 paling kecil adalah 344,4598 ms, saat menggunakan *bit rate* CODEC video 256 kbps dan *bit rate* CODEC audio 48 kbps dengan faktor utilitas sebesar 0,1. Sedangkan besarnya *delay end-to-end* terbesar adalah 352,8047 ms yang terjadi pada saat menggunakan *bit rate* CODEC video 384 kbps dan *bit rate* CODEC audio 48 kbps dengan faktor utilisasi sebesar 0,9.
 - b. Nilai *delay end-to-end* aplikasi video *streaming* pada jaringan HSDPA yang menggunakan IPv6 masih memenuhi standard ITU.T G.1010 untuk layanan video *streaming*, yaitu < 10 s.
 - c. Penggunaan *bit rate* CODEC video maupun audio serta faktor utilitas mempengaruhi besarnya *delay end-to-end* aplikasi video *streaming*. Pada

panjang paket data yang sama, semakin besar faktor utilisasi maka semakin besar pula nilai *delay end-to-end*.

4. Berdasarkan hasil analisis probabilitas *packet loss* aplikasi video *streaming* pada jaringan HSDPA yang menggunakan IPv6, dapat disimpulkan bahwa:
 - a. Besar probabilitas packet loss yang didapatkan masih dapat diterima karena tidak melebihi 1% (ITU.T G.1010)
 - b. Analisis probabilitas *packet loss* aplikasi video streaming meliputi probabilitas *packet loss* pada server yang terhubung melalui internet yang dipengaruhi oleh bit rate CODEC yang digunakan serta probabilitas *packet loss* pada jaringan HSDPA yang dipengaruhi oleh SNR, Eb/No, dan jenis modulasi yang digunakan.
5. Berdasarkan hasil analisis probabilitas *throughput* aplikasi video *streaming* pada jaringan HSDPA yang menggunakan IPv6, dapat disimpulkan bahwa:
 - a. Besar *throughput* terbesar adalah 3598,1258 kbps yang terjadi saat menggunakan *bit rate* CODEC video 256 kbps dan *bit rate* CODEC audio sebesar 48 kbps dengan faktor utilisasi sebesar 0,1. Sedangkan besar *throughput* terkecil adalah 3596,6472 kbps yang terjadi saat menggunakan *bit rate* CODEC video 384 kbps dan *bit rate* CODEC audio sebesar 48 kbps dengan faktor utilisasi sebesar 0,9.
 - b. Besarnya *throughput* aplikasi video *streaming* pada jaringan HSDPA yang menggunakan IPv6 dipengaruhi oleh probabilitas packet loss, faktor utilitas, serta bit rate CODEC yang digunakan.

5.2 Saran

Saran yang diberikan berdasarkan analisis yang telah dilakukan pada skripsi ini adalah:

1. Menganalisis performansi video streaming pada jaringan yang lain seperti LTE (*Long Term Evolution*), WiBro, dan lain-lain.
2. Skripsi ini dapat dikembangkan dengan membahas dan mempertimbangkan *frame rate*, *frame resolution*, dan *color depth* pada aplikasi video *streaming*.



DAFTAR PUSTAKA

- 3GPP TR 25.855 v2.0.0. 2001. *3rd Generation Partnership Project; Technical Specification Group Radio Access Network; High Speed Downlink Packet Access; Overall UTRAN Description (Release 5)*. 3GPP Organizational Partners.
- 3GPP TS 25.323 V5.10.0. 2007. *3rd Generation Partnership Project; Technical Specification Group Radio Access Network; Packet Data Convergence Protocol (PDCP) specification (Release 5)*. France: 3GPP Organizational Partners.
- Ahmad, Ashraf M. A and Ismail K. A. 2009. *Multimedia Transcoding in Mobile and Wireless Networks*. United Kingdom: IGI Global.
- Andreas Handojo, dkk. 2009. *Applikasi Video Conference dengan Kemampuan Beroperasi IPv4 dan IPv6*.
- Anonim, 1998. *Streaming White Paper*. Compaq Computer Corporation.
- Anonim. 2004. *HSDPA by Siemens White Paper*. Siemens
- Apostopolous, John G. 2001. *Video Communications and Video Streaming*. Hewlett-Packard Laboratories: Streaming Media Systems Group.
- Assad, Muhammad and Djamal Zeghlache. 2007. *TCP Performance over UMTS HSDPA System*. Taylor & Francis Group, LLC.
- Bertsekas, Dimitri and Robert Gallager. 1987. *Data Network*. New Jersey: Prentice Hall, Inc.
- Blokzijl, Rob. 2009. *IPv4 Header vs IPv6 Header*. Amstredam: RIPE NCC Roundtable Meeting. <http://www.ripe.net/meetings/roundtable/feb2009/presentations/Rob-Blokzijl-roundtable2009-Rob-2.pdf> (diakses tanggal 15 Februari 2010)
- Forouzan, Behrouz A. 2004. *Data Communication and Networking*. Singapore: McGraw Hill Inc.
- Goldsmith, Andrea. 2005. *Wireless Communication*. Cambridge University Press.
- Gough, Michael. 2006. *Video Conferencing over IP: Configure, Secure, and Troubleshoot*. Canada: Syngress Publishing, Inc
- Guo, Y. Jay. 2004. *Advances in mobile radio access networks*. Artech House, Inc.
- Hagen, Silvia. 2002. *IPv6 Essentials*. United States of America: O'Reilly Media, Inc.
- Holma, Harri and Antii Toskala. 2006. *HSDPA/HSUPA for UMTS: High Speed RadioAccess for Mobile Communication*. John Wiley and Sons, Ltd.
- Holma, Harri and Antii Toskala. 2004. *WCDMA for UMTS*. John Wiley and Sons, Ltd.



<http://www.scribd.com/doc/19864169/HSDPA-THESIS>

http://www.ittelkom.ac.id/library

Iain E. G. Richardson. 2002. *Video CODEC Design*. England: John Wiley & Sons Ltd.

ITU.T Recommendation G.1010. 2001. *End-user Multimedia QoS Categories*. ITU-T Study Group 12.

John, Ajai. 2007. *HSDPA Thesis*. BM II College of Engineering.

Laili Aidi, 2008. *Analisis dan Simulasi Channel Switching pada Mobile Live Multi-Channel TV Streaming*. Skripsi tidak diterbitkan. Bandung: Sekolah Tinggi Teknik Telkom.

Lo, Anthony. 2004. *Performance Issue of TCP and MPEG-4 over UMTS*.

Proakis, John. G. 2000. *Digital Communications*. McGraw Hill Higher Education.

Purbo, Onno W. 1998. Buku Pintar Internet: TCP/IP. Jakarta: Elex Media Komputindo.

Retnoningsih, Linda Ekowati. 2008. *Penerapan HSDPA (High Speed Downlink Packet Access) pada Jaringan WCDMA*. Skripsi tidak diterbitkan. Malang: Jurusan Teknik Elektro Fakultas Teknik Universitas Brawijaya.

Riza, Taufan. 2002. Teori dan Implementasi IPv6 Protokol internet Masa Depan. Jakarta: PT. Elex Media Komputindo.

Rohmat Arif C. B. 2006. *Rancang Bangun Perangkat Lunak Sistem Informasi Bioskop Berbasis Web dengan Teknologi OO4O*. Skripsi tidak diterbitkan. Surabaya: Politeknik Elektronika Negeri Surabaya-ITS.

RSYAVY Research. 2007. *EDGE, HSPA, LTE: The Mobile Broadband Advantage*. 3G Americas

S. Deering and R. Hinden. 1998. *RFC2460 - Internet Protocol, Version 6 (IPv6) Specification*. The Internet Society.

Schwartz, Mischa. 1987. *Telecommunication Network*. Addison-Wesley.

Simpson, Wes. 2008. *Video Over IP Second Edition*. Elsevier, Inc.

Sjoberg, J, et al. 2006. *RFC 4352: RTP Payload Format for the Extended Adaptive Multi-Rate Wideband (AMR-WB+) Audio Codec*.

Smith, Clinth and Daniel Collins. 2002. *3G Wireless Network*. United States of America: McGraw-Hill Companies, Inc.

Sukaridhoto, Sritrusta. 2008. *Buku Jaringan Komputer 2*.
<http://dphoto.wordpress.com/2008/07/23/buku-jaringan-komputer-2/> (diakses tanggal 11 Januari 2010)



Winch, Robert G. 1998. Telecommunication Transmission System. Unites Stated of America: McGraw-Hill Companies, Inc.

Wenger, S, et al. 2005. *RFC 3984: RTP Payload Format for H.264 Video.*



LAMPIRAN - LAMPIRAN



Lampiran 1. Listing Program Matlab Perhitungan Bandwidth Aplikasi Video Streaming

```

function varargout = bandwidth2(varargin)
gui_Singleton = 1;
gui_State = struct('gui_Name',      mfilename, ...
    'gui_Singleton',    gui_Singleton, ...
    'gui_OpeningFcn',  @bandwidth2_OpeningFcn, ...
    'gui_OutputFcn',   @bandwidth2_OutputFcn, ...
    'gui_LayoutFcn',   [], ...
    'gui_Callback',    []);
if nargin & isstr(varargin{1})
    gui_State.gui_Callback = str2func(varargin{1});
end
if nargout
    varargout{1:nargout} = gui_mainfcn(gui_State, varargin{:});
else
    gui_mainfcn(gui_State, varargin{:});
end
handles.output = hObject;
guidata(hObject, handles);
function varargout = bandwidth2_OutputFcn(hObject, eventdata, handles)
varargout{1} = handles.output;
function varargout = plot_button_Callback(hObject, eventdata, handles, varargin)
% Get user input from GUI
Bcodecv = eval(get(handles.Bcodecv,'String'));
% Calculate packet data
Bcodeca = 48000;
fr = 0.033;
H_NALU = 8;
H_RTP = 96;
headerUDP = 8;
headerIPv6 = 40;
max_PLv = 2032;
max_PLa = 640;
PLv = Bcodecv*fr;
PLa = Bcodeca*fr;
Pv = PLv/max_PLv;
fix_Pv = ceil(Pv);
Pa = PLa/max_PLa;
fix_Pa = ceil(Pa);
Pv_size = PLv + (fix_Pv*(H_NALU + H_RTP + headerUDP*8 + headerIPv6*8));
Pa_size = PLa + (fix_Pa*(H_NALU + H_RTP + headerUDP*8 + headerIPv6*8));
Pvs_size = Pv_size + Pa_size;
Pvs_size_byte = Pvs_size/8;
Pvs_size_KB = Pvs_size_byte/1024;
Pvs_size_meby = Pvs_size_KB/1024;
% Calculate Bandwidth

```



```
Ba = Pa_size.*Bcodeca./PLa;  
Bv = Pv_size.*Bcodecv./PLv  
Bvs = Ba + Bv  
Bvs_kbps = Bvs/1000  
% Create bvideo plot  
axes(handles.B_VS)  
plot(Bcodecv,Bvs_kbps,'-*blue')  
xlabel ('Bit Rate CODEC Video (bps)')  
ylabel ('Bandwidth Video Streaming (kbps)')  
set(handles.B_VS,'XMinorTick','on')  
grid on
```



Lampiran 2. Listing Program Matlab Perhitungan Delay End-toEnd Aplikasi Video Streaming

```
function varargout = delay_tot(varargin)
gui_Singleton = 1;
gui_State = struct('gui_Name',      mfilename, ...
                   'gui_Singleton',    gui_Singleton, ...
                   'gui_OpeningFcn',   @delay_tot_OpeningFcn, ...
                   'gui_OutputFcn',    @delay_tot_OutputFcn, ...
                   'gui_LayoutFcn',    [], ...
                   'gui_Callback',     []);
if nargin & isstr(varargin{1})
    gui_State.gui_Callback = str2func(varargin{1});
end
if nargout
    varargout{1:nargout} = gui_mainfcn(gui_State, varargin{:});
else
    gui_mainfcn(gui_State, varargin{:});
end
function delay_tot_OpeningFcn(hObject, eventdata, handles, varargin)
handles.output = hObject;
guidata(hObject, handles);
function varargout = delay_tot_OutputFcn(hObject, eventdata, handles)
varargout{1} = handles.output;
function varargout = plot_button_Callback(h, eventdata, handles, varargin)
% Get user input from GUI
Bcodecv = eval(get(handles.Bcodecv,'String'));
% Calculate data
p = [0.1:0.1:0.9];
% Calculate packet data video streaming
Bcodeca = 48000;
fr = 0.033;
H_NALU = 8;
H_RTP = 96;
headerUDP = 8;
headerIPv6 = 40;
max_PLv = 2032;
max_PLa = 640;
PLv = Bcodecv*fr;
PLa = Bcodeca*fr;
Pv = PLv/max_PLv;
fix_Pv = ceil(Pv);
Pa = PLa/max_PLa;
fix_Pa = ceil(Pa);
Pv_size = PLv + (fix_Pv*(H_NALU + H_RTP + headerUDP*8 + headerIPv6*8));
Pa_size = PLa + (fix_Pa*(H_NALU + H_RTP + headerUDP*8 + headerIPv6*8));
Pvs_size = Pv_size + Pa_size;
Pvs_size_byte = Pvs_size/8;
```

```
% Calculate delay CODEC
ta = 0.04;
tv = 0.3;
tCODEC = ta + tv;
% Calculate delay in server/internet
MTU_eth = 1500;
if Pvs_size_byte <= MTU_eth
    Nframe_Eth = 1;
else
    Nframe_Eth = Pvs_size_byte/MTU_eth;
end;
header_eth = 14;
FCS = 4;
C_int = 1000000000;
fix_Nframe_Eth = ceil(Nframe_Eth);
Wframe_int = (fix_Nframe_Eth*(header_eth + FCS)+ Pvs_size_byte);
Wframe_int_bit = Wframe_int*8;
tE1 = (Wframe_int - Pvs_size_byte)*8/C_int;
% Calculate delay in GGSN
Wvs_GGSN = Wframe_int - fix_Nframe_Eth*header_eth - fix_Nframe_Eth*FCS;
C_GGSN = 100000000;
tD1 = (Wframe_int-Wvs_GGSN)*8/C_GGSN;
header_GTP = 8;
MSS_GGSN = 1500 - header_GTP - headerUDP - headerIPv6;
if Wvs_GGSN <= MSS_GGSN
    Ndatagram_GGSN = 1;
else
    Ndatagram_GGSN = Wvs_GGSN./MSS_GGSN;
end;
fix_Ndatagram_GGSN = ceil(Ndatagram_GGSN);
Wdatagram_GGSN = Wvs_GGSN + fix_Ndatagram_GGSN.*(header_GTP +
headerUDP + headerIPv6);
if Wdatagram_GGSN <= MTU_eth
    Nframe_eth_GGSN = 1;
else
    Nframe_eth_GGSN = Wdatagram_GGSN/MTU_eth;
end;
fix_Nframe_eth_GGSN = ceil(Ndatagram_GGSN);
Wframe_GGSN = (fix_Nframe_eth_GGSN*(header_eth + FCS)) +
Wdatagram_GGSN;
C_GGSN = 100000000;
tE2 = (Wframe_GGSN - Wvs_GGSN)*8/C_GGSN;
tT2 = Wframe_GGSN*8/C_GGSN;
RGGSN_SGSN = 2000;
v = 300000000;
tP2 = fix_Nframe_eth_GGSN*RGGSN_SGSN/v;
L_GGSN = Wframe_GGSN*8;
u_GGSN = C_GGSN./L_GGSN;
lambda_GGSN = u_GGSN*p;
```



```

lambda_GGSN1 = lambda_GGSN(1,:);
lambda_GGSN2 = lambda_GGSN(2,:);
lambda_GGSN3 = lambda_GGSN(3,:);
x2_1 = u_GGSN(1,1) - lambda_GGSN1;
x2_2 = u_GGSN(1,2) - lambda_GGSN2;
x2_3 = u_GGSN(1,3) - lambda_GGSN3;
y2_1 = lambda_GGSN1 ./ [u_GGSN(1,1) * [x2_1]];
y2_2 = lambda_GGSN2 ./ [u_GGSN(1,2) * x2_2];
y2_3 = lambda_GGSN3 ./ [u_GGSN(1,3) * x2_3];
z2_1 = 1 / u_GGSN(1,1);
z2_2 = 1 / u_GGSN(1,2);
z2_3 = 1 / u_GGSN(1,3);
tw2_1 = y2_1 + z2_1;
tw2_2 = y2_2 + z2_2;
tw2_3 = y2_3 + z2_3;
% Calculate delay in SGSN
Wvs_SGSN = Wframe_GGSN - fix_Ndatagram_GGSN*header_GTP -
fix_Ndatagram_GGSN*headerUDP - fix_Ndatagram_GGSN*headerIPv6 -
fix_Nframe_eth_GGSN*header_eth - fix_Nframe_eth_GGSN*FCS;
C_SGSN = 100000000;
tD2 = (Wframe_GGSN - Wvs_SGSN)*8/C_SGSN;
MSS_SGSN = MTU_eth - header_GTP - headerUDP - headerIPv6;
if Wvs_GGSN <= MSS_SGSN
    Ndatagram_SGSN = 1;
else
    Ndatagram_SGSN = Wvs_SGSN./MSS_SGSN;
end;
fix_Ndatagram_SGSN = ceil(Ndatagram_SGSN);
Wdatagram_SGSN = Wvs_SGSN + fix_Ndatagram_SGSN.*(header_GTP +
headerUDP + headerIPv6);
header_AAL5 = 8;
NframeCSAAL5 = Wdatagram_SGSN./65535;
fix_NframeCSAAL5 = ceil(NframeCSAAL5);
WframeCSAAL5 = Wdatagram_SGSN + fix_NframeCSAAL5.*header_AAL5;
PDU_SAR = 48;
Nframe_ATM = WframeCSAAL5/PDU_SAR;
fix_frame = ceil(Nframe_ATM);
header_ATM = 5;
Wframe_ATM = PDU_SAR + header_ATM;
Wframe_SGSN = fix_frame*Wframe_ATM;
C_SGSN_RNC = 155520000;
tE3 = (Wframe_SGSN - Wvs_SGSN)*8/C_SGSN_RNC;
tT3 = Wframe_SGSN*8/C_SGSN_RNC;
RSGSN_RNC = 3000;
v = 300000000;
tP3 = fix_frame*RSGSN_RNC/v;
L_SGSN = Wframe_SGSN * 8;
u_SGSN = C_SGSN./L_SGSN;
lambda_SGSN= u_SGSN*p;

```



```

lambda_SGSN1 = lambda_SGSN(1,:);
lambda_SGSN2 = lambda_SGSN(2,:);
lambda_SGSN3 = lambda_SGSN(3,:);
x3_1 = u_SGSN(1,1) - lambda_SGSN1;
x3_2 = u_SGSN(1,2) - lambda_SGSN2;
x3_3 = u_SGSN(1,3) - lambda_SGSN3;
y3_1 = lambda_SGSN1 ./ [u_SGSN(1,1)*x3_1];
y3_2 = lambda_SGSN2 ./ [u_SGSN(1,2)*x3_2];
y3_3 = lambda_SGSN3 ./ [u_SGSN(1,3)*x3_3];
z3_1 = 1 /u_SGSN(1,1);
z3_2 = 1 /u_SGSN(1,2);
z3_3 = 1 /u_SGSN(1,3);
tw3_1 = y3_1 + z3_1;
tw3_2 = y3_2 + z3_2;
tw3_3 = y3_3 + z3_3;
% Calculate delay in RNC
header_ATM = 5;
Wvs_RNC = Wframe_SGSN - fix_Ndatagram_SGSN*header_GTP -
fix_Ndatagram_SGSN*headerUDP - fix_Ndatagram_SGSN*headerIPv6 -
fix_NframeCSAAL5*header_AAL5 - fix_frame*header_ATM;
C_RNC = 155520000;
tD3 = (Wframe_SGSN - Wvs_RNC)*8/C_RNC;
header_PDCP = 1;
N_datgramRNC = Wvs_RNC/1500;
fix_N_datgramRNC = ceil(N_datgramRNC);
Wframe_PDCP = Wvs_RNC + fix_N_datgramRNC*header_PDCP;
PDU_RLC = 40;
Nframe_RLC = Wframe_PDCP/PDU_RLC;
fix_frameRLC = ceil(Nframe_RLC);
header_RLC = 2;
Wframe_RLC = PDU_RLC + header_RLC;
Wframe_RLCTot = fix_frameRLC * Wframe_RLC;
MACd_SDU = 42;
Nframe_MACd = Wframe_RLCTot/MACd_SDU;
fix_Nframe_MACd = ceil(Nframe_MACd);
headerMACd = 0.5;
Wframe_MACd = MACd_SDU + headerMACd;
header_FP = 7;
CRC = 2;
Wframe_FP = Wframe_MACd + header_FP +CRC;
Wframe_FPtot = fix_Nframe_MACd*Wframe_FP;
CSPDU = 24;
H_CSPDU = 3;
N_CSPDU = Wframe_FPtot/CSPDU;
fix_NCSPDU = ceil(N_CSPDU);
Wframe_CSPDUTot = Wframe_FPtot + fix_NCSPDU*H_CSPDU;
SARPDU = 47;
H_SARPDU = 1;
N_SARPDU = Wframe_CSPDUTot/SARPDU;

```



```

fix_N_SARPDU = ceil(N_SARPDU);
Wframe_SARPDU = SARPDU + H_SARPDU;
Wframe_SARPDUtot = fix_N_SARPDU*Wframe_SARPDU;
Nframe_ATM_RNC = Wframe_SARPDUtot/PDU_SAR;
fix_frameATM_RNC = ceil(Nframe_ATM_RNC);
Wframe_RNC = fix_frameATM_RNC*Wframe_ATM;
tE4 = (Wframe_RNC - Wvs_RNC)*8/C_RNC;
tT4 = Wframe_RNC*8/C_RNC;
RRNC_NodeB = 400;
v = 300000000;
tP4 = fix_frameATM_RNC*RRNC_NodeB/v;
L_RNC = Wframe_RNC * 8;
u_RNC = C_RNC./L_RNC;
lambda_RNC = u_RNC'*p;
lambda_RNC1 = lambda_RNC(1,:);
lambda_RNC2 = lambda_RNC(2,:);
lambda_RNC3 = lambda_RNC(3,:);
x4_1 = u_RNC(1,1) - lambda_RNC1;
x4_2 = u_RNC(1,2) - lambda_RNC2;
x4_3 = u_RNC(1,3) - lambda_RNC3;
y4_1 = lambda_RNC1./[u_RNC(1,1)*x4_1];
y4_2 = lambda_RNC2./[u_RNC(1,2)*x4_2];
y4_3 = lambda_RNC3./[u_RNC(1,3)*x4_3];
z4_1 = 1./u_RNC(1,1);
z4_2 = 1./u_RNC(1,2);
z4_3 = 1./u_RNC(1,3);
tw4_1 = y4_1 + z4_1;
tw4_2 = y4_2 + z4_2;
tw4_3 = y4_3 + z4_3;
% Calculate delay in Node B
Wvs_NodeB = Wframe_RNC - fix_frameATM_RNC*header_ATM -
fix_NCSPDU*H_CSPDU - fix_N_SARPDU*H_SARPDU -
Nframe_MACd*header_FP - Nframe_MACd*CRC;
C_NodeB = 155520000;
tD4 = (Wframe_RNC - Wvs_NodeB)*8/C_NodeB;
TBS = 7298;
N_TBS = Wvs_NodeB*8/TBS;
fix_N_TBS = ceil(N_TBS);
header_MAChs = 21;
Wframe_NodeB = Wvs_NodeB + fix_N_TBS*CRC;
C_UE = 3600000;
tE5 = (Wframe_NodeB - Wvs_NodeB)*8/C_NodeB;
tT5 = Wframe_NodeB*8/(3*C_UE);
RNodeB_UE = 1500;
v = 300000000;
tP5 = fix_N_TBS*RNodeB_UE/v;
L_NodeB = Wframe_NodeB.* 8;
u_NodeB= C_NodeB ./ L_NodeB;
lambda_NodeB = u_NodeB'*p;

```



```
lambda_NodeB1 = lambda_NodeB(1,:);
lambda_NodeB2 = lambda_NodeB(2,:);
lambda_NodeB3 = lambda_NodeB(3,:);
x5_1 = u_NodeB(1,1) - lambda_NodeB1;
x5_2 = u_NodeB(1,2) - lambda_NodeB2;
x5_3 = u_NodeB(1,3) - lambda_NodeB3;
y5_1 = lambda_NodeB1./[u_NodeB(1,1)*x5_1];
y5_2 = lambda_NodeB2./[u_NodeB(1,2)*x5_2];
y5_3 = lambda_NodeB3./[u_NodeB(1,3)*x5_3];
z5_1 = 1./u_NodeB(1,1);
z5_2 = 1./u_NodeB(1,2);
z5_3 = 1./u_NodeB(1,3);
tw5_1 = y5_1 + z5_1;
tw5_2 = y5_2 + z5_2;
tw5_3 = y5_3 + z5_3;
% Calculate delay in UE
Wvs_UE = Wframe_NodeB - (fix_Pv + fix_Pa)*H_RTP/8 - (fix_Pv +
fix_Pa)*headerIPv6 - (fix_Pv + fix_Pa)*headerUDP -
fix_N_datgramRNC*header_PDCP - fix_frameRLC*header_RLC -
fix_Nframe_MACd*headerMACd - fix_N_TBS*header_MACHs/8 - fix_N_TBS*CRC;
C_UE = 3600000;
tD5= (Wframe_NodeB- Wvs_UE)*8/C_UE;
% Calculate delay of HSDPA Network
tEtot = tE1 + tE2 + tE3 + tE4 + tE5;
tDtot = tD1 + tD2 + tD3 + tD4 + tD5;
tproc = tEtot + tDtot;
tTtot = tT2 + tT3 + tT4 + tT5;
tPtot = tP2 + tP3 + tP4 + tP5;
twtot_1 = tw2_1 + tw3_1 + tw4_1 + tw5_1
twtot_2 = tw2_2 + tw3_2 + tw4_2 + tw5_2
twtot_3 = tw2_3 + tw3_3 + tw4_3 + tw5_3
tnet_1 = tproc(1,1) + tTtot(1,1) + tPtot(1,1) + twtot_1;
tnet_2 = tproc(1,2) + tTtot(1,2) + tPtot(1,2) + twtot_2;
tnet_3 = tproc(1,3) + tTtot(1,3) + tPtot(1,3) + twtot_3
% Calculate end to end delay
ttot1 = tCODEC + tnet_1
ttot2 = tCODEC + tnet_2
ttot3 = tCODEC + tnet_3
% Create end to end delay plot
axes(handles.delay_tot)
set(handles.delay_tot,'XMinorTick','on')
plot(p,ttot1,'^r',p,ttot2,'*b', p,ttot3,'*g')
grid on
xlabel ('Faktor Utilitas')
ylabel ('Delay End-to-End (s)')
legend('Bit Rate CODEC video 256 kbps','Bit Rate CODEC video 320 kbps','Bit Rate CODEC video 384 kbps')
```

Lampiran 3. Listing Program Matlab Menghitung Probabilitas Packet Loss Aplikasi Video Streaming

```

function varargout = packet_loss(varargin)
gui_Singleton = 1;
gui_State = struct('gui_Name',      mfilename, ...
    'gui_Singleton',    gui_Singleton, ...
    'gui_OpeningFcn',  @packet_loss_OpeningFcn, ...
    'gui_OutputFcn',   @packet_loss_OutputFcn, ...
    'gui_LayoutFcn',   [], ...
    'gui_Callback',    []);
if nargin & isstr(varargin{1})
    gui_State.gui_Callback = str2func(varargin{1});
end
if nargout
    varargout{1:nargout} = gui_mainfcn(gui_State, varargin{:});
else
    gui_mainfcn(gui_State, varargin{:});
end
function packet_loss_OpeningFcn(hObject, eventdata, handles, varargin)
handles.output = hObject;
guidata(hObject, handles);
function varargout = packet_loss_OutputFcn(hObject, eventdata, handles)
varargout{1} = handles.output;
function varargout = plot_button_Callback(hObject, eventdata, handles, varargin)
% Get user input from GUI
Bcodecv = eval(get(handles.Bcodecv,'String'));
pb = 0.00000001;
% Calculate packet loss of video streaming
Bcodeca = 48000;
fr = 0.033;
H_NALU = 8;
H_RTP = 96;
headerUDP = 8;
headerIPv6 = 40;
max_PLv = 2032;
max_PLa = 640;
PLv = Bcodecv*fr;
PLa = Bcodeca*fr;
Pv = PLv/max_PLv;
fix_Pv = ceil(Pv);
Pa = PLa/max_PLa;
fix_Pa = ceil(Pa);
Pv_size = PLv + (fix_Pv*(H_NALU + H_RTP + headerUDP*8 + headerIPv6*8));
Pa_size = PLa + (fix_Pa*(H_NALU + H_RTP + headerUDP*8 + headerIPv6*8));
Pvs_size = Pv_size + Pa_size
p_VS = Pvs_size* pb
% Calculate packet loss on HSDPA Network

```



PG = 12;
NF = 8;
Pt = 43;
Lt = 2;
Lr = 0;
Gt = 18;
Gr = 2;
 $K = 1.381 * 10^{-23}$;
T = 300;
 $B = 5 * 10^6$;
 $R = 3.6 * 10^6$;
 $c = 3 * 10^8$;
 $f = 2.14 * 10^9$;
 $d = 1500$;
 $N = 10 * \log_{10}(K * T) + 10 * \log_{10}(B) + NF$;
 $\text{lmbda} = c/f$;
 $FSL = 20 * \log_{10}((4 * \pi * d) / \text{lmbda})$;
 $Pr = Pt - FSL - Lt - Lr + Gt + Gr$;
 $SNR = Pr - N$;
 $Eb_per_No_dB = SNR - 10 * \log_{10}(B/R)$;
 $M = 16$;
 $x = \sqrt{(3 * Eb_per_No_dB * \log_2(M)) / (M - 1)}$;
 $BER = ((4 * (\sqrt{M} - 1)) / (\sqrt{M} * \log_2(M))) * 0.5 * \text{erfc}(x / \sqrt{2})$
% Calculate total packet loss
 $p_tot1 = 1 - ((1 - BER) * (1 - p_VS(1,1)))$;
 $p_tot2 = 1 - ((1 - BER) * (1 - p_VS(1,2)))$;
 $p_tot3 = 1 - ((1 - BER) * (1 - p_VS(1,3)))$;
 $p_tot = [p_tot1 p_tot2 p_tot3]$
% Create packet loss plot
`axes(handles.packet_loss)
set(handles.packet_loss,'XMinorTick','on')
plot(Bcodecv,p_tot)
grid on
xlabel ('Bit Rate CODEC Video (bps)')
ylabel ('Probabilitas Packet Loss')`

Lampiran 4. Listing Program Matlab Menghitung Throughput Aplikasi Video Streaming

```
function varargout = throughput(varargin)
gui_Singleton = 1;
gui_State = struct('gui_Name',      mfilename, ...
                    'gui_Singleton',    gui_Singleton, ...
                    'gui_OpeningFcn',   @throughput_OpeningFcn, ...
                    'gui_OutputFcn',    @throughput_OutputFcn, ...
                    'gui_LayoutFcn',    [], ...
                    'gui_Callback',     []);
if nargin & isstr(varargin{1})
    gui_State.gui_Callback = str2func(varargin{1});
end
if nargout
    varargout{1:nargout} = gui_mainfcn(gui_State, varargin{:});
else
    gui_mainfcn(gui_State, varargin{:});
end
function throughput_OpeningFcn(hObject, eventdata, handles, varargin)
handles.output = hObject;
guidata(hObject, handles);
function varargout = throughput_OutputFcn(hObject, eventdata, handles)
varargout{1} = handles.output;
function varargout = plot_button_Callback(hObject, eventdata, handles, varargin)
% Get user input from GUI
Bcodecv = eval(get(handles.Bcodecv,'String'));
% Calculate data
p = [0.1:0.1:0.9];
% Calculate bandwidth of video streaming
Bcodeca = 48000;
fr = 0.033;
H_NALU = 8;
H_RTP = 96;
headerUDP = 8;
headerIPv6 = 40;
max_PLv = 2032;
max_PLa = 640;
PLv = Bcodecv*fr;
PLa = Bcodeca*fr;
Pv = PLv/max_PLv;
fix_Pv = ceil(Pv);
Pa = PLa/max_PLa;
fix_Pa = ceil(Pa);
Pv_size = PLv + (fix_Pv*(H_NALU + H_RTP + headerUDP*8 + headerIPv6*8));
Pa_size = PLa + (fix_Pa*(H_NALU + H_RTP + headerUDP*8 + headerIPv6*8));
Pvs_size = Pv_size + Pa_size;
Pvs_size_byte = Pvs_size/8;
```

```

% Calculate data in server/internet
MTU_eth = 1500;
if Pvs_size_byte <= MTU_eth
    Nframe_Eth = 1;
else
    Nframe_Eth = Pvs_size_byte/MTU_eth;
end;
header_eth = 14;
FCS = 4;
C_int = 1000000000;
fix_Nframe_Eth = ceil(Nframe_Eth);
Wframe_int = (fix_Nframe_Eth*(header_eth + FCS)+ Pvs_size_byte);
Wframe_int_bit = Wframe_int*8;
tE1 = (Wframe_int - Pvs_size_byte)*8/C_int;
% Calculate delay in GGSN
Wvs_GGSN = Wframe_int - fix_Nframe_Eth*header_eth - fix_Nframe_Eth*FCS;
C_GGSN = 100000000;
tD1 = (Wframe_int-Wvs_GGSN)*8/C_GGSN;
header_GTP = 8;
MSS_GGSN = 1500 - header_GTP - headerUDP - headerIPv6;
if Wvs_GGSN <= MSS_GGSN
    Ndatagram_GGSN = 1;
else
    Ndatagram_GGSN = Wvs_GGSN./MSS_GGSN;
end;
fix_Ndatagram_GGSN = ceil(Ndatagram_GGSN);
Wdatagram_GGSN = Wvs_GGSN + fix_Ndatagram_GGSN.*(header_GTP +
headerUDP + headerIPv6);
if Wdatagram_GGSN <= MTU_eth
    Nframe_eth_GGSN = 1;
else
    Nframe_eth_GGSN = Wdatagram_GGSN/MTU_eth;
end;
fix_Nframe_eth_GGSN = ceil(Ndatagram_GGSN);
Wframe_GGSN = (fix_Nframe_eth_GGSN*(header_eth + FCS)) +
Wdatagram_GGSN;
C_GGSN = 100000000;
tE2 = (Wframe_GGSN - Wvs_GGSN)*8/C_GGSN;
RGGSN_SGSN = 2000;
v = 300000000;
tP2 = fix_Nframe_eth_GGSN*RGGSN_SGSN/v;
L_GGSN = Wframe_GGSN*8;
u_GGSN = C_GGSN./L_GGSN;
lambda_GGSN = u_GGSN*p;
lambda_GGSN1 = lambda_GGSN(1,:);
lambda_GGSN2 = lambda_GGSN(2,:);
lambda_GGSN3 = lambda_GGSN(3,:);
x2_1 = u_GGSN(1,1) - lambda_GGSN1;
x2_2 = u_GGSN(1,2) - lambda_GGSN2;

```



```

x2_3 = u_GGSN(1,3) - lambda_GGSN3;
y2_1 = lambda_GGSN1 ./ [u_GGSN(1,1) * [x2_1]];
y2_2 = lambda_GGSN2 ./ [u_GGSN(1,2) * x2_2];
y2_3 = lambda_GGSN3 ./ [u_GGSN(1,3) * x2_3];
z2_1 = 1 / u_GGSN(1,1);
z2_2 = 1 / u_GGSN(1,2);
z2_3 = 1 / u_GGSN(1,3);
tw2_1 = y2_1 + z2_1;
tw2_2 = y2_2 + z2_2;
tw2_3 = y2_3 + z2_3;
% Calculate delay in SGSN
Wvs_SGSN = Wframe_GGSN - fix_Ndatagram_GGSN*header_GTP -
fix_Ndatagram_GGSN*headerUDP - fix_Ndatagram_GGSN*headerIPv6 -
fix_Nframe_eth_GGSN*header_eth - fix_Nframe_eth_GGSN*FCS;
C_SGSN = 100000000;
tD2 = (Wframe_GGSN - Wvs_SGSN)*8/C_SGSN;
MSS_SGSN = MTU_eth - header_GTP - headerUDP - headerIPv6;
if Wvs_GGSN <= MSS_SGSN
    Ndatagram_SGSN = 1;
else
    Ndatagram_SGSN = Wvs_SGSN./MSS_SGSN;
end;
fix_Ndatagram_SGSN = ceil(Ndatagram_SGSN);
Wdatagram_SGSN = Wvs_SGSN + fix_Ndatagram_SGSN.*(header_GTP +
headerUDP + headerIPv6);
header_AAL5 = 8;
NframeCSAAL5 = Wdatagram_SGSN./65535;
fix_NframeCSAAL5 = ceil(NframeCSAAL5);
WframeCSAAL5 = Wdatagram_SGSN + fix_NframeCSAAL5.*header_AAL5;
PDU_SAR = 48;
Nframe_ATM = WframeCSAAL5/PDU_SAR;
fix_frame = ceil(Nframe_ATM);
header_ATM = 5;
Wframe_ATM = PDU_SAR + header_ATM;
Wframe_SGSN = fix_frame*Wframe_ATM;
C_SGSN_RNC = 155520000;
tE3 = (Wframe_SGSN - Wvs_SGSN)*8/C_SGSN_RNC;
RSGSN_RNC = 3000;
v = 300000000;
tP3 = fix_frame*RSGSN_RNC/v;
L_SGSN = Wframe_SGSN * 8;
u_SGSN = C_SGSN./L_SGSN;
lambda_SGSN= u_SGSN*p;
lambda_SGSN1 = lambda_SGSN(1,:);
lambda_SGSN2 = lambda_SGSN(2,:);
lambda_SGSN3 = lambda_SGSN(3,:);
x3_1 = u_SGSN(1,1) - lambda_SGSN1;
x3_2 = u_SGSN(1,2) - lambda_SGSN2;
x3_3 = u_SGSN(1,3) - lambda_SGSN3;

```



```

y3_1 = lambda_SGSN1 ./ [u_SGSN(1,1)*x3_1];
y3_2 = lambda_SGSN2 ./ [u_SGSN(1,2)*x3_2];
y3_3 = lambda_SGSN3 ./ [u_SGSN(1,3)*x3_3];
z3_1 = 1 /u_SGSN(1,1);
z3_2 = 1 /u_SGSN(1,2);
z3_3 = 1 /u_SGSN(1,3);
tw3_1 = y3_1 + z3_1;
tw3_2 = y3_2 + z3_2;
tw3_3 = y3_3 + z3_3;
% Calculate delay in RNC
header_ATM = 5;
Wvs_RNC = Wframe_SGSN - fix_Ndatagram_SGSN*header_GTP -
fix_Ndatagram_SGSN*headerUDP - fix_Ndatagram_SGSN*headerIPv6 -
fix_NframeCSAAL5*header_AAL5 - fix_frame*header_ATM;
C_RNC = 155520000;
tD3 = (Wframe_SGSN - Wvs_RNC)*8/C_RNC;
header_PDCP = 1;
N_datgramRNC = Wvs_RNC/1500;
fix_N_datgramRNC = ceil(N_datgramRNC);
Wframe_PDCP = Wvs_RNC + fix_N_datgramRNC*header_PDCP;
PDU_RLC = 40;
Nframe_RLC = Wframe_PDCP/PDU_RLC;
fix_frameRLC = ceil(Nframe_RLC);
header_RLC = 2;
Wframe_RLC = PDU_RLC + header_RLC;
Wframe_RLCtot = fix_frameRLC * Wframe_RLC;
MACd_SDU = 42;
Nframe_MACd = Wframe_RLCtot/MACd_SDU;
fix_Nframe_MACd = ceil(Nframe_MACd);
headerMACd = 0.5;
Wframe_MACd = MACd_SDU + headerMACd;
header_FP = 7;
CRC = 2;
Wframe_FP = Wframe_MACd + header_FP +CRC;
Wframe_FPtot = fix_Nframe_MACd*Wframe_FP;
CSPDU = 24;
H_CSPDU = 3;
N_CSPDU = Wframe_FPtot/CSPDU;
fix_NCSPDU = ceil(N_CSPDU);
Wframe_CSPDUTot = Wframe_FPtot + fix_NCSPDU*H_CSPDU;
SARPDU = 47;
H_SARPDU = 1;
N_SARPDU = Wframe_CSPDUTot/SARPDU;
fix_N_SARPDU = ceil(N_SARPDU);
Wframe_SARPDU = SARPDU + H_SARPDU;
Wframe_SARPDUTot = fix_N_SARPDU*Wframe_SARPDU;
Nframe_ATM_RNC = Wframe_SARPDUTot/PDU_SAR;
fix_frameATM_RNC = ceil(Nframe_ATM_RNC);
Wframe_RNC = fix_frameATM_RNC*Wframe_ATM;

```



```

tE4 = (Wframe_RNC - Wvs_RNC)*8/C_RNC;
RRNC_NodeB = 400;
v = 3000000000;
tP4 = fix_frameATM_RNC*RRNC_NodeB/v;
L_RNC = Wframe_RNC * 8;
u_RNC = C_RNC./L_RNC;
lambda_RNC = u_RNC*p;
lambda_RNC1 = lambda_RNC(1,:);
lambda_RNC2 = lambda_RNC(2,:);
lambda_RNC3 = lambda_RNC(3,:);
x4_1 = u_RNC(1,1) - lambda_RNC1;
x4_2 = u_RNC(1,2) - lambda_RNC2;
x4_3 = u_RNC(1,3) - lambda_RNC3;
y4_1 = lambda_RNC1./[u_RNC(1,1)*x4_1];
y4_2 = lambda_RNC2./[u_RNC(1,2)*x4_2];
y4_3 = lambda_RNC3./[u_RNC(1,3)*x4_3];
z4_1 = 1./u_RNC(1,1);
z4_2 = 1./u_RNC(1,2);
z4_3 = 1./u_RNC(1,3);
tw4_1 = y4_1 + z4_1;
tw4_2 = y4_2 + z4_2;
tw4_3 = y4_3 + z4_3;
% Calculate delay in Node B
Wvs_NodeB = Wframe_RNC - fix_frameATM_RNC*header_ATM -
fix_NCS pdu*H_CSPDU - fix_N_SARPDU*H_SARPDU -
Nframe_MACd*header_FP - Nframe_MACd*CRC;
C_NodeB = 155520000;
tD4 = (Wframe_RNC - Wvs_NodeB)*8/C_NodeB;
TBS = 7298;
N_TBS = Wvs_NodeB*8/TBS;
fix_N_TBS = ceil(N_TBS);
header_MAChs = 21;
Wframe_NodeB = Wvs_NodeB + fix_N_TBS*CRC;
C_UE = 3600000;
tE5 = (Wframe_NodeB - Wvs_NodeB)*8/C_NodeB;
RNodeB_UE = 1500;
v = 300000000;
tP5 = fix_N_TBS*RNodeB_UE/v;
L_NodeB = Wframe_NodeB.* 8;
u_NodeB= C_NodeB ./ L_NodeB;
lambda_NodeB = u_NodeB'*p;
lambda_NodeB1 = lambda_NodeB(1,:);
lambda_NodeB2 = lambda_NodeB(2,:);
lambda_NodeB3 = lambda_NodeB(3,:);
x5_1 = u_NodeB(1,1) - lambda_NodeB1;
x5_2 = u_NodeB(1,2) - lambda_NodeB2;
x5_3 = u_NodeB(1,3) - lambda_NodeB3;
y5_1 = lambda_NodeB1./[u_NodeB(1,1)*x5_1];
y5_2 = lambda_NodeB2./[u_NodeB(1,2)*x5_2];

```



```
y5_3 = lambda_NodeB3./[u_NodeB(1,3)*x5_3];
z5_1 = 1./u_NodeB(1,1);
z5_2 = 1./u_NodeB(1,2);
z5_3 = 1./u_NodeB(1,3);
tw5_1 = y5_1 + z5_1;
tw5_2 = y5_2 + z5_2;
tw5_3 = y5_3 + z5_3;
% Calculate delay in UE
Wvs_UE = Wframe_NodeB - (fix_Pv + fix_Pa)*H_RTP/8 - (fix_Pv +
fix_Pa)*headerIPv6 - (fix_Pv + fix_Pa)*headerUDP -
fix_N_datgramRNC*header_PDCP - fix_frameRLC*header_RLC -
fix_Nframe_MACd*headerMACd - fix_N_TBS*header_MACHs/8 - fix_N_TBS*CRC;
C_UE = 3600000;
tD5= (Wframe_NodeB- Wvs_UE)*8/C_UE;
% Calculate delay
tEtot = tE1 + tE2 + tE3 + tE4 + tE5;
tDtots = tD1 + tD2 + tD3 + tD4 + tD5;
tproc = tEtot + tDtots;
tPtot = tP2 + tP3 + tP4 + tP5;
twtot_1 = tw2_1 + tw3_1 + tw4_1 + tw5_1;
twtot_2 = tw2_2 + tw3_2 + tw4_2 + tw5_2;
twtot_3 = tw2_3 + tw3_3 + tw4_3 + tw5_3;
tpro1 = (tproc(1,1)/1) + (twtot_1./1);
tpro2 = (tproc(1,2)/1) + (twtot_2./1);
tpro3 = (tproc(1,3)/1) + (twtot_3./1);
tl = (Wframe_NodeB*8)/C_UE;
tp = tPtot./1;
tout1 = (2*tp(1,1)) + (2*tl(1,1)) + tpro1;
tout2 = (2*tp(1,2)) + (2*tl(1,2)) + tpro2;
tout3 = (2*tp(1,3)) + (2*tl(1,3)) + tpro3;
% Calculate konstanta
a1 = 1 + tout1/tl(1,1);
a2 = 1 + tout2/tl(1,2);
a3 = 1 + tout3/tl(1,3);
% Calculate packet loss total
pb = 0.00000001;
p_VS = Pvs_size * pb;
PG = 12;
NF = 8;
Pt = 43;
Lt = 2;
Lr = 0;
Gt = 18;
Gr = 2;
K = 1.381 * 10^-23;
T = 300;
B = 5*10^6;
R = 3.6*10^6;
c = 3*10^8;
```

```
f = 2.14*10^9;
d = 1500;
N = 10*log10(K*T) + 10*log10(B) + NF;
lmbda = c/f;
FSL = 20*log10((4*pi*d)/lmbda);
Pr = Pt - FSL - Lt - Lr + Gt + Gr;
SNR = Pr - N;
Eb_per_No_dB = SNR - 10*log10(B/R);
M = 16;
x = sqrt((3*Eb_per_No_dB*log2(M))/(M-1));
BER = ((4*(sqrt(M)-1))/(sqrt(M)*log2(M)))*0.5*erfc(x/sqrt(2));
p_tot1 = 1 - ((1 - BER) *(1 - p_VS(1,1)));
p_tot2 = 1 - ((1 - BER) *(1 - p_VS(1,2)));
p_tot3 = 1 - ((1 - BER) *(1 - p_VS(1,3)));
p_tot = [p_tot1 p_tot2 p_tot3];
% Calculate T1
T1 = ( 1 - p_tot1) ./ (tl(1,1) * (1 + (a1 -1).*p_tot1));
T2 = ( 1 - p_tot2) ./ (tl(1,2) * (1 + (a2 -1).*p_tot2));
T3 = ( 1 - p_tot3) ./ (tl(1,3) * (1 + (a3 -1).*p_tot3))
T1_kbps = T1 * Wframe_NodeB(1,1) * 8 / 1000
T2_kbps = T2 * Wframe_NodeB(1,2) * 8 / 1000
T3_kbps = T3 * Wframe_NodeB(1,3) * 8 / 1000
T_kbps = [T1_kbps T2_kbps T3_kbps];
% Create T1 bit rate CODEC video 128 kbps plot
axes(handles.T1)
set(handles.T1,'XMinorTick','on')
plot(p,T1_kbps,'-sr')
grid on
legend('Bit Rate CODEC video 256 kbps')
xlabel ('Faktor Utilitas')
ylabel ('Throughput (kbps)')
% Create T1 bit rate CODEC video 192 kbps plot
axes(handles.T2)
set(handles.T2,'XMinorTick','on')
plot(p,T2_kbps,'-sb')
grid on
legend('Bit Rate CODEC video 320 kbps')
xlabel ('Faktor Utilitas')
ylabel ('Throughput (kbps)')
% Create T1 bit rate CODEC video 256 kbps plot
axes(handles.T3)
set(handles.T3,'XMinorTick','on')
plot(p,T3_kbps,'-sg')
grid on
legend('Bit Rate CODEC video 384 kbps')
xlabel ('Faktor Utilitas')
ylabel ('Throughput (kbps)')
```

UNIVERSITAS BRAWIJAYA

